

بِسْمِ اللّٰهِ الرَّحْمٰنِ الرَّحِيْمِ  
سُرْرَمَدْ



دانشکده برق و رباتیک

گروه کنترل

## پیش‌بینی سری‌های زمانی آشوبناک در فضای فاز بازسازی شده به روش‌های غیرخطی

دانشجو : محمد رضا شفیعی چافی

استاد راهنما : دکتر حسین قلی زاده نرم

پایان نامه جهت اخذ درجه کارشناسی ارشد  
دی ۱۳۹۱

تقدیم به

پدر و مادر عزیزم

## سخن اول

خداآوند را بخاطر همه نعمتهايی که به اين بندء ناچيز خود عطا فرموده سپاس می گويم و از کوتاهی خود در بندگی او پوزش می طلبم....

از پدر و مادر عزيزم بخاطر همه فداکاري ها و زحماتي که تا کنون برای اين حقيير متحمل شده اند قدردانی می نمایم و اميدوارم که بتوانم قدر شناس زحمات ايشان باشم.....

از جناب آقای دکتر قلی زاده، که مرا در طی مراحل مختلف اين پایان نامه هدایت و راهنمایي نمودند بسيار سپاسگزارم .اگر چه بموجب فضail اخلاقی بي شمار ايشان توشه خود را از شاگردی شان بسيار فراتر از اين پایان نامه می دانم....

از همکاري استاتيد برجسته پروفسور هنری آباريانل از دانشگاه كاليفرنيا، پروفسور هنری چونگ از دانشگاه هونگکونگ و پروفسور جون ژنگ از دانشگاه سان یوت سن و دکتر غلامرضا داودی از دانشگاه علوم پزشكى تهران که با ارائه نظرات و پيشنهادات و ارسال مجموعه مقالات ما را در پيشبرد اين پایان نامه ياري نمودند، بسيار سپاسگزارم....

همچنين از خواهر عزيزم مهندس زهرا شفيعي چافی که در تهيه و تنظيم و ويراستاري اين پایان نامه مرا ياري نمودند کمال تشکر و قدردانی را دارم.....

از دوستان ارجمند، آقایان محمد هاشم زاده، ايمان خسرويان، منصور شريفى، سعيد خراشاديزاده، حميد بهزاد، محمد برادران، امير نگهداري و رضا ميقاني که در اين مدت سعادت همنشيني با ايشان را در خوابگاه دانشجوبي داشته ام، صميمانه سپاسگزارم....

همچنين از کمکها و راهنمایيهای همه معلمان، استايد و ساير بزرگوارانی که در طول زندگی خود چگونه زیستن را از ايشان آموخته ام، بسيار سپاسگزارم....

## چکیده

---

سری زمانی دنباله‌ای از اعداد است که با نمونه برداری منظم از خروجی مشاهده شده‌ی یک سیستم بدست می‌آید. از میان انواع گوناگون سری‌های زمانی، سری‌های زمانی آشوبی اغلب در پدیده‌های طبیعی یافت می‌شوند. حساسیت بیش از حد سیستم‌های آشوبی به شرایط اولیه سبب بروز مشکل افق پیش‌بینی در پیش‌بینی بلند مدت و دقت پیش‌بینی در پیش‌بینی کوتاه مدت برای روش‌های مذکور شده است. بنابراین محور فعالیت‌های انجام شده در این پایان نامه بر اصلاح دقت در پیش‌بینی کوتاه مدت و افزایش افق پیش‌بینی در عین دقت مناسب، در پیش‌بینی بلند مدت قرار گرفته است. تلاش‌های انجام شده در این راستا منجر به ارائه‌ی دو روش در پیش‌بینی کوتاه مدت و چهار روش در پیش‌بینی بلند مدت شده است. بمنظور حصول اطمینان و بررسی بیشتر از روش‌های مطرح شده برای پیش‌بینی سری‌های زمانی فوق آشوبی قلب و HRV نیز استفاده شد.

سرانجام به منظور نشان دادن یکی دیگر از کاربردهای عملی روش‌های پیشنهادی در زمینه‌های پزشکی از آن برای طبقه‌بندی ۵ دسته از آریتمی‌های قلبی استفاده شد که نتایج حاصله بیانگر توانمندی روش پیشنهادی در تفکیک ضربانات قلبی بر اساس ویژگی‌های نوظهور فازی است.

**کلمات کلیدی:** آشوب – سری زمانی – پیش‌بینی – بازسازی فضای فاز

## فهرست مطالب

### صفحه

### عنوان

ج	فهرست جداول ها
د	فهرست شکل ها
۱	فصل ۱ - مقدمه
۱	۱-۱ سری زمانی
۱	۲-۱ سری زمانی آشوبی
۲	۱-۲-۱ بررسی اثر حساسیت :
۳	۲-۲-۱ بررسی اثر حضور نمای لیاپانوف مثبت:
۳	۱-۲-۱ تحلیل طیفی :
۵	۳-۱ پیش بینی سری های زمانی:
۵	۴-۱ بازسازی فضای فاز
۸	۱-۴-۱ تأخیر زمانی
۹	۲-۴-۱ بعد جاسازی
۱۱	۵-۱ روش همانندی یا نزدیکترین همسایه:
۱۲	۶- روش تقریب خطی
۱۴	۷-۱ اهداف کلی پایان نامه
۱۴	۸-۱ ساختار پایان نامه
۱۵	پیشینه تحقیق
۱۶	فصل ۲ - پیشینه تحقیق
۲۰	فصل ۳ - روشهای پیشنهادی در پیش بینی سری های زمانی
۲۰	۱-۳ مقدمه
۲۰	۲-۳ پیش بینی کوتاه مدت :
۲۰	۱-۲-۳ روش فازی برخط :
۲۵	۲-۲-۳ روش فازی حافظه دار :
۲۸	۳-۳ پیش بینی بلند مدت :
۲۸	۱-۳-۳ روش نزدیکترین همسایه اصلاح شده :
۳۳	۲-۳-۳ روش نزدیکترین همسایه اصلاح شده با کمک روش عصبی:
۳۷	۳-۳-۳ روش تقریب غیرخطی
۴۰	۴-۳-۳ روش نزدیکترین همسایه اصلاح شده با کمک تبدیل موجک
۴۶	فصل ۴ - تفکیک آریتمی و پیش بینی سری زمانی قلب

۴۶	- قلب.....	۱-۴
۴۶	- مرواری بر الکتروفیزیولوژی قلب.....	۲-۴
۴۶	- جریانات الکتریکی قلب.....	۱-۲-۴
۴۷	- انتشار جریان های الکتریکی در اطراف قلب.....	۲-۲-۴
۴۷	- سیستم تولید و انتقال ایمپالیس در داخل قلب.....	۳-۲-۴
۴۹	- اختلال در تولید ایمپالس در قلب.....	۴-۲-۴
۴۹	- الکتروکاردیوگرافی.....	۳-۴
۴۹	- معرفی.....	۱-۳-۴
۵۰	- شکل ECG و نامگذاری اجزای آن.....	۲-۳-۴
۵۱	- آریتمی.....	۴-۴
۵۱	- چند نمونه از آریتمی ها.....	۱-۴-۴
۵۳	- پیش بینی سری های زمانی زیستی.....	۵-۴
۵۴	- پیش بینی کوتاه مدت سری زمانی ECG.....	۱-۵-۴
۵۶	- پیش بینی کوتاه مدت سری زمانی HRV.....	۲-۵-۴
۵۸	- پیش بینی بلند مدت سری زمانی ECG.....	۳-۵-۴
۵۹	- پیش بینی بلند مدت سری زمانی HRV.....	۴-۵-۴
۶۱	- روش پیش بینی تک گام در تفکیک آریتمی های قلبی .....	۶-۴
۶۱	- روش پیشنهادی .....	۱-۶-۴
۶۲	- نتایج حاصل از شبیه سازی ها .....	۲-۶-۴
۶۵	<b>فصل ۵ - نتیجه گیری و ارایه پیشنهادات .....</b>	
۶۵	- نتیجه گیری:.....	۱-۵
۶۶	- پیشنهادات.....	۲-۵
۶۹	<b>مراجع.....</b>	
۷۲	<b>واژه نامه فارسی به انگلیسی .....</b>	
۷۴	<b>واژه نامه انگلیسی به فارسی .....</b>	

## فهرست جدول‌ها

### صفحه

### عنوان

جدول ۱-۳ مقایسه میان نتایج پیش‌بینی تک گام سری زمانی لورنر توسط روش فازی برخط و دو روش مبتنی بر شبکه عصبی ..... ۲۵
جدول ۲-۳ مقایسه خطای حاصل از پیش‌بینی سری زمانی لورنر میان روش فازی حافظه دار و سه روش مبتنی بر شبکه عصبی ..... ۲۷
جدول ۳-۳ مقایسه میان خطای پیش‌بینی بلند مدت (۷۰۰ نقطه) سری زمانی روسler توسط دو روش تقریب خطی و نزدیکترین همسایه اصلاح شده به کمک شبکه عصبی ..... ۳۷
جدول ۴-۳ مقایسه میان خطای پیش‌بینی بلند مدت (۷۰۰ نقطه) سری زمانی روسler توسط دو روش تقریب خطی و تقریب غیرخطی ..... ۳۹
جدول ۵-۳: مقدار بعد جاسازی و تاخیر زمانی محاسبه شده برای سری زمانی ناشی از ضرایب موجک. ۴۳
جدول ۶-۳ مقایسه میان خطای پیش‌بینی بلند مدت سری زمانی روسler توسط دو روش تقریب خطی ونزدیکترین همسایه اصلاح شده به کمک تبدیل موجک ..... ۴۴
جدول ۱-۴ سرعت تولید ضربان در بخش‌های مختلف بر حسب ضربان بر دقیقه ..... ۴۹
جدول ۲-۴ بررسی عوامل تاثیر گذار در دقت پیش‌بینی سری زمانی لورنر توسط روش فازی حافظه دار ۵۶
جدول ۳-۴ صحت روش پیشنهادی برای هر پنج نوع آریتمی‌ها با ویژگی‌های فازی ..... ۶۲
جدول ۴-۴ میزان اختصاصی بودن روش پیشنهادی برای هر پنج نوع آریتمی‌ها با ویژگی‌های فازی ..... ۶۲
جدول ۵-۴ میزان حساسیت روش پیشنهادی برای هر پنج نوع آریتمی‌ها با ویژگی‌های فازی ..... ۶۲
جدول ۶-۴ مقایسه روش انجام شده در این تحقیق با سایر مقالات ..... ۶۳

## فهرست شکل‌ها

عنوان	صفحه
شکل ۱-۱: سری زمانی لورنز به ازای دو شرایط اولیه‌ی بسیار نزدیک به هم	۲
شکل ۱-۲: کلیه‌ی نماهای لیاپانوف مربوط به سیستم لورنز	۳
شکل ۱-۳: طیف شدت متناظر با سری زمانی لورنز	۴
شکل ۱-۴: طیف شدت مربوط تابع $y_t = \sin 50\pi t + \sin(120\pi t)$	۴
شکل ۱-۵: جاذب آشوبی لورنز و مولفه‌های آن بر حسب زمان	۶
شکل ۱-۶: بازسازی جاذب آشوبی لورنز توسط مختصات تاخیری	۷
شکل ۱-۷: بازسازی جاذب آشوبی لورنز توسط مختصات مشتقی	۷
شکل ۱-۸: روش نزدیکترین همسایه	۱۲
شکل ۱-۹: ساختار کلی سیستم مورد بررسی	۲۱
شکل ۲-۱: نحوی آرایش ورودی که توسط بخش آفلاین انجام می‌شود.	۲۲
شکل ۳-۱: الگوریتم بخش فازی برخط که شامل دو بخش بهنگام‌ساز و پیشگو می‌باشد.	۲۳
شکل ۴-۱: پیش‌بینی تک گام سری زمانی لورنز توسط روش فازی برخط	۲۴
شکل ۵-۱: پیش‌بینی تک گام سری زمانی روسler توسط روش فازی برخط	۲۴
شکل ۶-۱: پیش‌بینی تک گام سری زمانی لورنز توسط روش فازی حافظه دار	۲۷
شکل ۷-۱: پیش‌بینی تک گام سری زمانی روسler توسط روش فازی حافظه دار	۲۷
شکل ۸-۱: الگوریتم روش نزدیگترین همسایه‌ی اصلاح شده	۳۰
شکل ۹-۱: پیش‌بینی بلند مدت سری زمانی لورنز در شرایطی که تعداد نقاط جاذب بسیار کم انتخاب شده باشد. الف - پیش‌بینی سری به روش نزدیکترین همسایه اصلاح شده. ب - پیش‌بینی توسط روش استاندارد.	۳۱
شکل ۱۰-۱: پیش‌بینی بلند مدت سری زمانی روسler در شرایطی که تعداد نقاط جاذب بسیار کم انتخاب شده باشد. الف - پیش‌بینی سری به روش نزدیکترین همسایه اصلاح شده. ب - پیش‌بینی توسط روش استاندارد.	۳۱
شکل ۱۱-۱: پیش‌بینی بلند مدت سری زمانی آشوبی لورنز در شرایط بازسازی غلط فضای فاز. الف - روش نزدیکترین همسایه اصلاح شده. ب - روش استاندارد.	۳۲
شکل ۱۲-۱: پیش‌بینی بلند مدت سری زمانی آشوبی روسler در شرایط بازسازی غلط فضای فاز. الف - روش نزدیکترین همسایه اصلاح شده. ب - روش استاندارد.	۳۲
شکل ۱۳-۱: الگوریتم روش نزدیکترین همسایه و روش عصبی	۳۵
شکل ۱۴-۱: پیش‌بینی بلند مدت سری زمانی آشوبی لورنز که توسط روش نزدیکترین همسایه‌ی اصلاح شده به همراه شبکه‌ی عصبی	۳۶

شکل ۱۵-۳: پیش بینی بلند مدت سری زمانی آشوبی روسler که توسط روش نزدیکترین همسایه‌ی اصلاح شده به همراه روش شبکه‌ی عصبی	۳۶
شکل ۱۶-۳: پیش بینی بلند مدت سری زمانی آشوبی روسler به روش تقریب غیرخطی	۳۸
شکل ۱۷-۳: پیش بینی بلند مدت سری زمانی آشوبی روسler به روش تقریب غیرخطی	۳۹
شکل ۱۸-۳: الگوریتم روش نزدیکترین همسایه اصلاح شده به کمک تبدیل موجک	۴۱
شکل ۱۹-۳: محاسبه‌ی بعد ناشی از ضرایب موجک سری زمانی لورنز توسط الگوریتم گرسبرگر و پروکاسیا	۴۲
شکل ۲۰-۳: نمودار تغییرات شبکه شکل ۱۹-۳ نسبت به تغییرات بعد جاسازی	۴۲
شکل ۲۱-۳: پیش بینی بلند مدت سری زمانی آشوبی لورنز که توسط روش نزدیکترین همسایه اصلاح شده به کمک تبدیل موجک	۴۳
شکل ۲۲-۳: پیش بینی بلند مدت سری زمانی آشوبی روسler که توسط روش نزدیکترین همسایه‌ی روش نزدیکترین همسایه اصلاح شده به کمک تبدیل موجک	۴۴
شکل ۱-۴: ساختار قلب	۴۶
شکل ۲-۴: انتشار جریان الکتریکی در قلب و قفسه سینه	۴۷
شکل ۳-۴: سیستم انتقال پالس الکتریکی در عضله‌ی قلب	۴۸
شکل ۴-۴: تاخیر زمانی انتقالی ایمپالس در عضله‌ی قلب بر حسب صدم ثانیه	۴۸
شکل ۵-۴: شکل ECG نرمال	۵۰
شکل ۶-۴: شکل ECG به همراه نامگذاری اجزای آن	۵۰
شکل ۷-۴: یک نمونه از الکترکاردیوگرافی آریتمی‌های بررسی شده در این تحقیق. الف - بلوک شاخه‌ای راست. ب - بلوک شاخه‌ای چپ. ج - ضربان زودرس بطئی. د - پس ریتم. ۵ - ضربان سینوسی نرمال	۵۲
شکل ۸-۴: سری زمانی ناشی از قلب یک انسان که در آن فاصله‌ی R-R نشان داده شده است	۵۳
شکل ۹-۴: پیش بینی تک گام سری زمانی قلب توسط روش فازی حافظه دار	۵۴
شکل ۱۰-۴: پیش بینی تک گام سری زمانی قلب توسط روش فازی برخط	۵۴
شکل ۱۱-۴: خطای حاصل از پیش بینی تک گام سری زمانی قلب توسط روش فازی برخط	۵۵
شکل ۱۲-۴: پیش بینی تک گام سری زمانی HRV توسط روش فازی حافظه دار	۵۶
شکل ۱۳-۴: پیش بینی تک گام سری زمانی HRV توسط روش فازی برخط	۵۷
شکل ۱۴-۴: خطای حاصل از پیش بینی تک گام سری زمانی HRV توسط روش فازی برخط	۵۷
شکل ۱۵-۴: پیش بینی بلند مدت سری زمانی ECG توسط روش نزدیکترین همسایه اصلاح شده	۵۸
شکل ۱۶-۴: پیش بینی بلند مدت سری زمانی ECG توسط روش نزدیکترین همسایه اصلاح شده به کمک تبدیل موجک	۵۸
شکل ۱۷-۴: پیش بینی بلند مدت سری زمانی HRV توسط روش نزدیکترین همسایه توسعه یافته	۵۹
شکل ۱۸-۴: پیش بینی بلند مدت سری زمانی HRV توسط روش نزدیکترین همسایه توسعه یافته به کمک تبدیل موجک	۶۰

# فصل ۱ - مقدمه

## فصل ۱ - مقدمه

### ۱-۱- سری زمانی

سری زمانی یک سلسله از اعداد است که به وسیله‌ی نمونه برداری منظم از خروجی مشاهده شده‌ی یک سیستم بدست می‌آید و به عنوان یک منبع مفید برای کشف و مطالعه‌ی رفتار یک سیستم، اعم از تصادفی، آشوبی<sup>۱</sup> و قطعی<sup>۲</sup> محسوب می‌شود [۱]. از میان انواع گوناگون سری‌های زمانی، سری‌های آشوبی به سری‌هایی اطلاق می‌شود که اغلب در پدیده‌های طبیعی یافت می‌شوند [۲].

### ۱-۲- سری زمانی آشوبی

تحول زمانی نامنظم و غیرقابل پیش‌بینی برخی از سیستم‌های غیرخطی آشوب نامیده می‌شود. ویژگی اصلی آشوب این است که چنین سیستم‌هایی رفتار قبلی خود را حتی به صورت تقریبی نیز تکرار نمی‌کنند<sup>۳</sup>. از دیگر ویژگی‌های چنین سیستم‌هایی می‌توان وابستگی شدید به شرایط اولیه و محدود بودن<sup>۴</sup> (به این معنی که هیچ کدام از متغیرهای حالت در یک سیستم آشوبی به سمت بی‌نهایت میل نخواهد کرد) را نام برد. روش‌های گوناگونی برای اثبات آشوبی بودن یک سری زمانی وجود دارد که عبارتند از: الف- بزرگترین نمای لیاپانوف<sup>۵</sup> مثبت: به عنوان معیاری برای نشان دادن حساسیت شدید سیستم‌های آشوبی به شرایط اولیه یا اثر پروانه‌ای<sup>۶</sup> بکار می‌رود. [۳].

ب- طیف فرکانسی گسترده و شبیه به نویز: البته از آنجا که طیف فرکانسی سیگنال‌های آشوبی و نویزی در مقایسه با سیگنال‌های دوره‌ای گسترده بوده لذا نمی‌توان تنها از طریق مشاهده‌ی طیف فرکانسی در مورد آشوبی بودن و یا نویزی بودن سیگنال مولد طیف قضاوت نمود. [۴]

ج- ابعاد غیر صحیح(فراكتالی): داشتن بعد غیر صحیح نشان‌دهنده‌ی حضور آشوب در سیستم مورد بررسی و شگفت بودن رباينده‌ی<sup>۷</sup> آن است. [۵]

یک نمونه از سیستم‌های آشوبی سیستمی است که توسط لورنزو<sup>۸</sup> برای بیان رابطه میان تغییرات دما و حرکت همرفتی توسط دستگاه معادلات (۱-۱) بیان شده است.

$$\begin{aligned} \frac{dx}{dt} &= -\sigma x + \sigma y \\ \frac{dy}{dt} &= -xy + rx - y \end{aligned} \tag{1-1}$$

<sup>1</sup> Chaotic

<sup>2</sup> Deterministic

<sup>3</sup> Aperiodic

<sup>4</sup> Bounded

<sup>5</sup> Largest Lyapunov Exponent

<sup>6</sup> Butterfly Effect

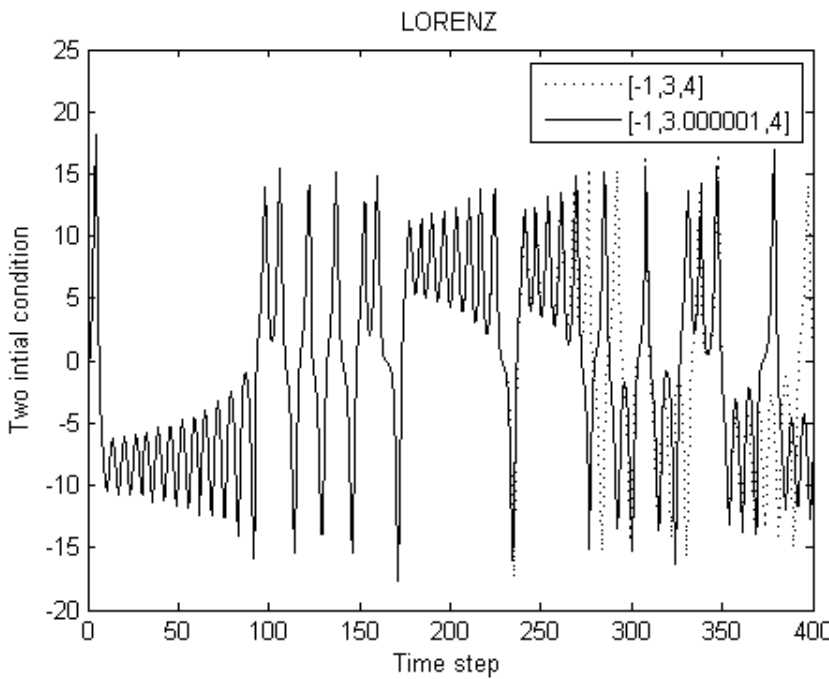
<sup>7</sup> Strange Attractor

<sup>8</sup> Lorenz

$$\frac{dz}{dt} = xy - bz$$

### -۱-۲-۱ برسی اثر حساسیت :

دستگاه معادلات (۱-۱) را دو بار با دو شرایط اولیه‌ی بسیار نزدیک به هم [۴ و ۳] و [۱۰۰۰۰۰/۳ و ۱] حل شده که نتایج آن در شکل (۱-۱) نشان داده شده است.



شکل ۱-۱ سری زمانی لورنز به ازای دو شرایط اولیه‌ی بسیار نزدیک به هم

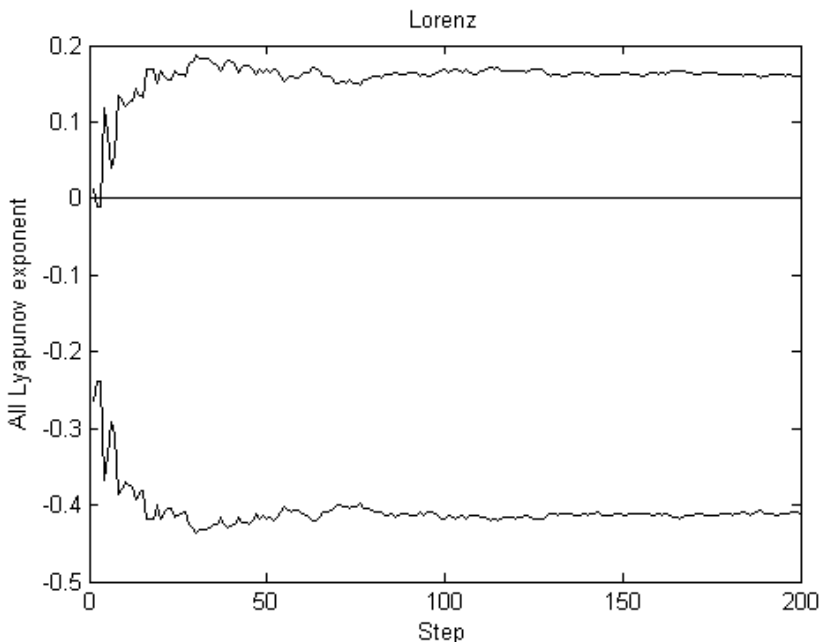
همان‌طور که در شکل (۱-۱) مشاهد شد با وجود شرایط اولیه‌ی بسیار نزدیک به هم که می‌توان آن را در اثر خطای اندازه‌گیری دانست، دو سری زمانی بعد از گذشت زمان اندکی به طور کلی از یکدیگر جدا شده و مسیرهای متفاوتی را پیموده‌اند.

بنابراین واپستگی شدید به شرایط اولیه را می‌توان یکی از ویژگی‌های سری زمانی آشوبی دانست. واپستگی به شرایط اولیه مشکلات قابل توجهی را برای محققان در این زمینه فراهم کرده است. اوّلین کسی که متوجه چنین ویژگی در سیستم‌های آشوبی شد ریاضیدان و منجم برجسته، هنری پوانکاره<sup>۱</sup> بود که در حال مطالعه‌ی سیستم‌های دینامیکی بود. او این پدیده را چنین توصیف می‌کند "ممکن است اختلاف اندکی در شرایط اولیه باعث تفاوت بسیار بزرگی در پدیده‌های نهایی شود. همچنین یک خطای کوچک در حالت قبلی، خطای بزرگی در حالت بعدی را بوجود می‌آورد". [۴]

<sup>۱</sup> Henri Poincare

## -۲-۲-۱ برسی اثر حضور نمای لیاپانوف مثبت:

وابستگی بسیار شدید سیستم‌های آشوبی به شرایط اولیه را در نظریه‌ی آشوب توسط معیاری به نام نمای لیاپانوف مثبت معین می‌شود [۶]. نماهای لیاپانوف سیستم آشوبی لورنز در شکل (۲-۱) نشان داده شده است.

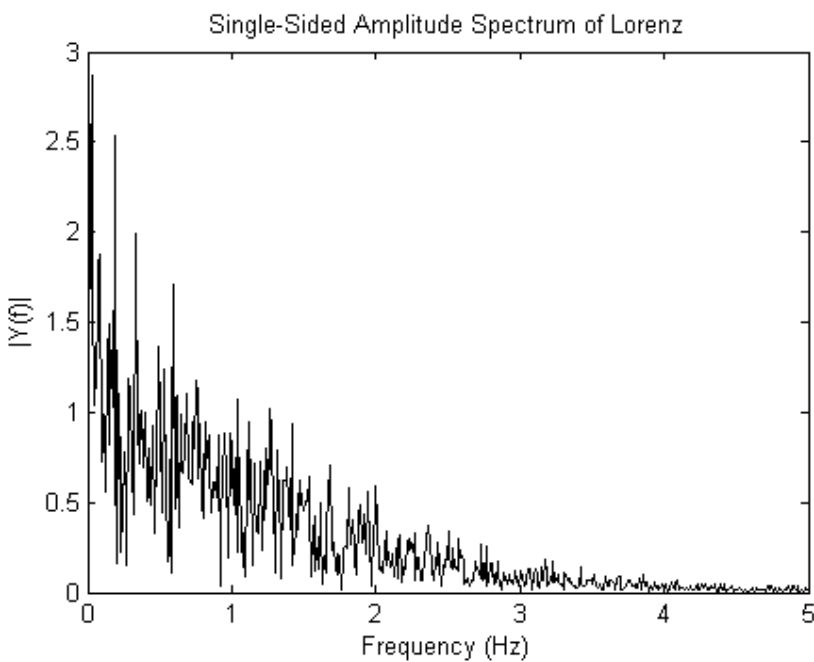


شکل ۲-۱: کلیه‌ی نماهای لیاپانوف مربوط به سیستم لورنز

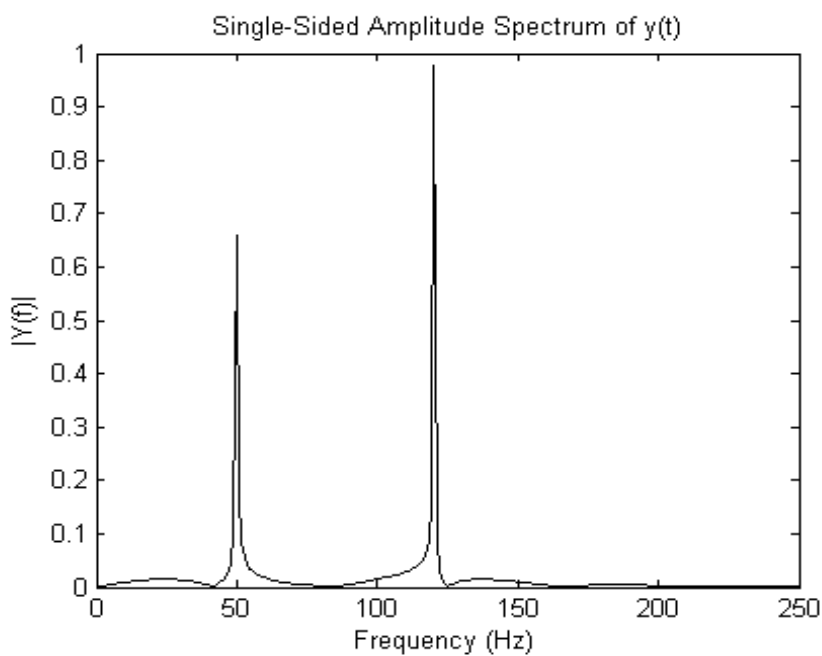
همانطور که در شکل (۲-۱) مشاهده شد از سه نمای لیاپانوف مربوط به سیستم آشوبی لورنز، یکی از نماهای لیاپانوف در تمام گام‌ها مثبت بوده که حاکی از آشوبی بودن سیستم مورد بررسی است. روش‌های گوناگونی برای محاسبه‌ی تمام نماهای لیاپانوف وجود دارند که برای رعایت اختصار و خلاصه‌گویی از پرداختن به آن‌ها صرفنظر شده است [۷].

## -۱-۲-۱ تحلیل طیفی :

طیف شدت دوسری زمانی آشوبی و پریودیک در اشکال زیر نشان داده شده است.



شکل ۱-۳: طیف شدت متناظر با سری زمانی لورنز



شکل ۱-۴: طیف شدت مربوط تابع  $y(t) = \sin(50\pi t) + \sin(120\pi t)$

طیف شدت سری زمانی لورنز در شکل (۱-۳) و تابع  $y(t) = \sin(50\pi t) + \sin(120\pi t)$  در شکل (۱-۴) نشان داده شده است. با توجه به ماهیت آشوبی سری زمانی لورنز همانطور که انتظار می رفت، طیف آن گستردۀ و شبیه نویز بوده و فرکانس غالبی در آن مشاهده نمی شود اما در مورد تابع سینوسی، طیف فرکانسی بصورت سوزنی بوده و فرکانس‌های غالب در آن براحتی قابل تشخیص است.

### ۳-۱ پیش‌بینی سری‌های زمانی:

سقوط بازار سهام آمریکا در اکتبر سال ۱۹۸۷ و عوامل دیگر باعث شد که تحقیقات در مباحث مالی سمت و سوی تازه‌ای بیابد. نتایج حاصل از این تحقیقات در قالب سمینارها و سمپوزیوم‌های متعدد در کشورهای دارای سرمایه‌ی پیشرفته منتشر و اعتبار تئوری‌های دهه‌های ۱۹۶۰ تا ۱۹۸۰ را که مبتنی بر سیستم‌های خطی و توزیع نرمال بودند، مورد تردید قرار داد.

از آنجا که بازارهای سرمایه دارای نظام مشخصی نمی‌باشند، لذا استفاده از ریاضیات پیچیده در سیستم‌های غیرخطی و دینامیکی می‌تواند مدل‌هایی را ایجاد کند که نظریه‌های گذشته را منسخ سازد. نتایجی که تاکنون از این رهگذر بدست آمده است به امکان پیش‌بینی قیمت تحت شرایطی اذعان دارد [۸].

پیش‌بینی سری‌های زمانی عبارتند از پیش‌بینی رفتار سیستم در آینده، بر اساس اطلاعات حاصل از زمان حال و گذشته سیستم که کاربردهای فراوانی در اغلب زمینه‌های علمی از جمله علوم مهندسی، پزشکی، اقتصادی و ... دارد [۹ و ۱۰]. پیش‌بینی قیمت فولاد [۹] و همچنین پیش‌بینی قیمت سهام در بازار بورس [۱۰] را می‌توان به عنوان مثالهایی از کاربرد پیش‌بینی سری‌های زمانی نام برد. ماهیت آشوبی نوسانات قیمت‌ها در بازارهای سهام و عوامل دیگر سبب شد که از سال ۱۹۸۰ پیش‌بینی سری‌های زمانی آشوبی به یکی از موضوعات مورد علاقه‌ی محققان مبدل گردد [۱۱].

### ۴-۱ بازسازی فضای فاز

در پیش‌بینی سری‌های زمانی حالتی اتفاق می‌افتد که در آن‌ها معادلات سیستم در دسترس نبوده و یا این‌که به دست آوردن معادلات سیستم بسیار دشوار و یا غیر ممکن است. در چنین حالتی اطلاعات ما از سیستم مورد بررسی تنها محدود به یک سری زمانی تجربی است که از خروجی مشاهده شده‌ی سیستم به دست می‌آید. سری زمانی ناشی از لکه‌های خورشیدی را می‌توان به عنوان نمونه‌ای از چنین سری‌هایی برشمرد. یک سری زمانی تجربی از تمام متغیرهای دینامیکی موجود تأثیر پذیرفته و بنابراین تاریخچه‌ی نسبتاً کاملی از اطلاعات را دربر دارد [۴]. در سال ۱۹۸۰ پاکارد<sup>۱</sup> و همکاران [۱۲] روشی ارائه کردند که در آن بدون مراجعه به سایر متغیرهای فیزیکی و تنها با استفاده از یک سری زمانی امکان حصول به دینامیک مسئله را فراهم می‌ساخت. این روش در سال ۱۹۸۱ با مطرح شدن مبانی ریاضی دقیقی برای آن به توسط تیکن<sup>۲</sup> و مانه<sup>۳</sup> به تکامل رسید [۱۳ و ۱۴]. بر اساس این روش در بازسازی رباينده از یک سری زمانی فقط نیاز به تولید متغیرهای اضافی است. برای بعضی از سیستم‌های تجربی با درجه‌ی کم آزادی مؤثر می‌توان با تعریف یک فضای فاز با بعد کم دینامیک را در یک ساختار هندسی درون آن فضا توصیف کرد. این مجموعه‌ی هندسی جاسازی شده جاذب بازسازی شده نام دارد و معمولاً از لحاظ هندسی، جاذب بازسازی شده با جاذب اصلی هم‌ارز است. همچنین ویژگی‌های آشوبی رباينده اصلی و بازسازی شده همانند نمای لیاپانوف، در صورت استفاده از پارامترهای صحیح بازسازی تقریباً

<sup>1</sup> Pakard

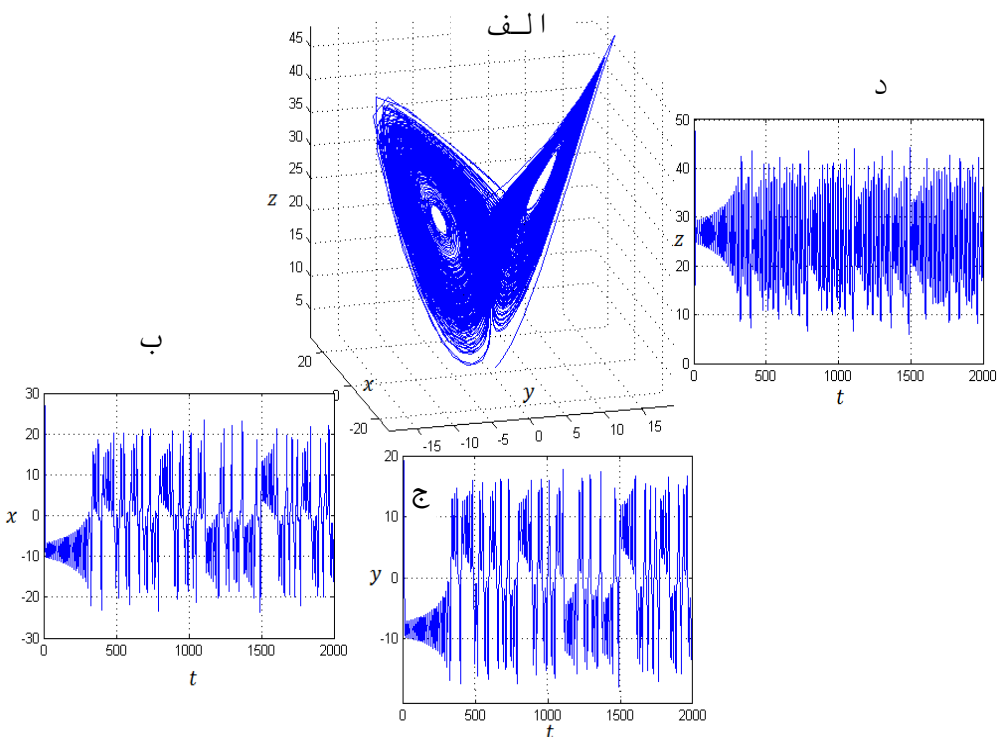
<sup>2</sup> Taken

<sup>3</sup> Mane

یکسان هستند. هنگام مواجهه با یک سری زمانی یا دینامیک ناشناخته، بعد فضای فاز معمولاً از پیش معلوم نیست. برای این که رابینده قابل بازسازی باشد، بعد باید نسبتاً بزرگ بوده و برای انتخاب محورهای مختصات نیز باید دنبال اطلاعات نسبتاً مستقل بود. استفاده از مشتق و همچنین تأخیر زمانی می‌تواند به عنوان دو گزینه‌ی مناسب برای انتخاب محورهای مختصات در فضای بازسازی شده محسوب شوند. اما به دلیل حضور نویز در سری‌های زمانی تجربی تأخیر زمانی مناسب‌تر به نظر می‌رسد. برای مثال در سری زمانی  $X(t)$  بردار داده در فضای فاز بازسازی شده به صورت زیر نشان داده می‌شود که در آن  $m$  بعد جاسازی و  $T$  تأخیر زمانی هستند.

$$\{x(t), x(t-T), x(t-2T), \dots x(t-mT)\} \quad (2-1)$$

بمنظور روشن‌تر شدن موضوع، بازسازی فضای فاز، در غالب یک مثال توضیح داده می‌شود. در شکل زیر جاذب لورنزا در فضای فاز سه بعدی نشان داده شده است. همانطور که می‌دانیم می‌توان مولفه‌ی هریک از محورهای مختصات را نیز بر حسب مولفه‌ی زمانی نشان داد که این مولفه در آرایش فضای فاز سه بعدی مذکوف می‌باشد.



شکل ۱-۵: جاذب آشوبی لورنزا و مولفه‌های آن بر حسب زمان-الف: جاذب لورنزا، ب: مولفه  $x$  بر حسب زمان، مولفه  $y$  بر حسب زمان، د: مولفه  $z$  بر حسب زمان

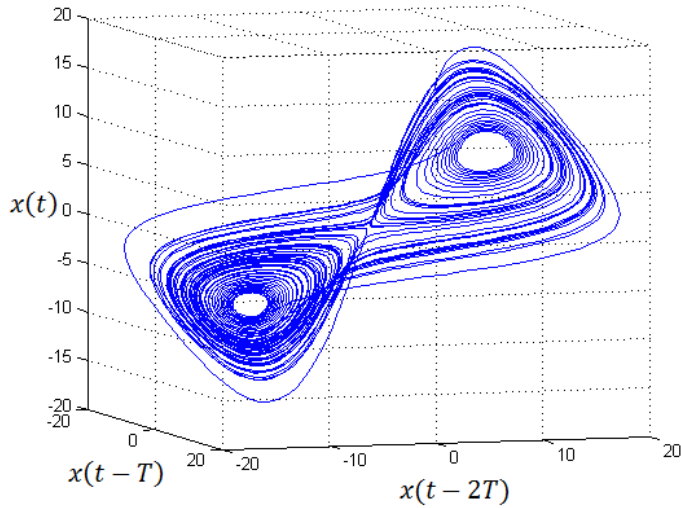
اکنون شرایطی را در نظر بگیرید که در آن تنها یکی از مولفه‌های زمانی در دسترس باشند و بخواهیم جاذب سه بعدی را تنها با استفاده از آن بازسازی نماییم. بدیهی است که در چنین شرایطی تنها نیاز به تولید متغیرهای اضافی داریم. اما مسائلی بعد از احساس نیاز به تولید متغیرهای اضافی مطرح می‌شود عبارتند از:

- ۱- چگونگی تولید متغیرهای اضافی

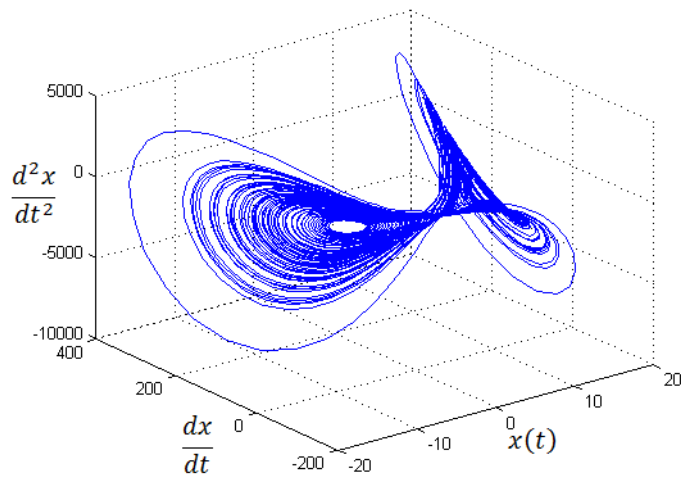
## ۲- تعداد متغیر های اضافی

## ۳- استقلال متغیر ها نسبت به هم

دو رهیافت موثر در زمینه تولید متغیرهای اضافی که دارای استقلال خطی نسبت به هم نیز باشند عبارتند از : استفاده از مشتق و استفاده از تاخیر. البته با توجه به عامل نویز که در سری های زمانی تجربی ، استفاده از روش های مبتنی بر تاخیر مناسب تر به نظر می رسد.



شکل ۱-۶: بازسازی جاذب آشوبی لورنر توسط مختصات تاخیری



شکل ۱-۷: بازسازی جاذب آشوبی لورنر توسط مختصات مشتقی

با توجه به کرانها در جاذب اصلی و دو نمونه جاذب بازسازی شده، که در شکل های ۱-۶ و ۱-۷ نشان داده شده است، مشاهده می شود که استفاده از مختصات تاخیر گزینه بهتری محسوب می شود. همانطور که عنوان شد، نظریه بازسازی فضای فاز ، تنها وجود بعد و تاخیر مناسب را به منظور بازسازی فضای فاز تضمین می کند و از ارائه روشنی مدون که برای تمام سری های زمانی بعد و تاخیر مناسب

بیابد، ناتوان است. لذا از سال ۱۹۸۱ روش‌های گوناگونی برای تعیین بعد جاسازی و تأخیر زمانی پیش-نهاد شده‌اند که در بخش‌های بعد به تفضیل به آن پرداخته می‌شود.

#### ۱-۴-۱ تأخیر زمانی

انتخاب تأخیر زمانی مناسب در بازسازی رباينده از اهمیت بسزایی برخوردار است. اگر  $T$  بسیار کوچک باشد مختصات مربوط به نقاط در فضای فاز بازسازی شده تقریباً در امتداد قطر قرار می‌گیرند و در این-صورت بازسازی بی‌فایده است. به عبارت دیگر در چنین حالتی فاصله‌ی نقاط نمونه‌برداری شده از سری زمانی ( $t$ )<sup>۱</sup>  $w$  ، به اندازه‌ای کم است که نمی‌توانند اطلاعاتی راجع به دینامیک مسئله تولید نمایند. از طرف دیگر انتخاب مقدار بزرگ  $T$  نیز به نوبه‌ی خود مشکلات فراوانی را تولید می‌کند. می‌دانیم که همبستگی میان حالت‌های دینامیکی در یک سیستم آشوبناک برای مدت کوتاهی دوام می‌آورد که عمر آن به نمای لیاپانوف مثبت بستگی دارد. لذا با انتخاب مقدار بزرگ برای  $T$  ، کشیدگی‌ها<sup>۲</sup> و تاخورگی‌ها<sup>۳</sup>ی فراوانی در سیستم اتفاق می‌افتد که منجر به هیچ رابطه‌ی منطقی میان داده‌های مورد استفاده (برای تشکیل فضای فاز) نمی‌شود. عبارت دیگر انتخاب بزرگ  $T$  سبب ایجاد ناهمبستگی میان نقاط در فضای فازبازسازی شده خواهد شد.

روش‌های گوناگونی برای انتخاب تأخیر زمانی در مراجع ذکر شده است که در ادامه به چند نمونه از آن‌ها اشاره خواهیم کرد.

۱ - در بررسی سیستم‌های آشوبی شرایطی اتفاق می‌افتد که در آن سری‌های زمانی حاصل، تقریباً دوره‌ای به نظر می‌رسند. مشاهده‌ی چنین حالتی خود مبتنی بر حضور یک دوره‌ی تناوب غالب در سری زمانی مورد بررسی است. در چنین حالتی مقدار قابل مقایسه اماً تا اندازه‌ای کوچکتر از دوره‌ی تناوب تقریبی مشاهده شده را به عنوان مقدار تأخیر زمانی انتخاب می‌کنند [۱۵].

۲ - اگر همانند روش اوّل فرکانس غالی وجود نداشته باشد، از روش پیچیده‌تری برای انتخاب مقدار تأخیر زمانی استفاده می‌شود. یک روش مفید در این حال استفاده از همبستگی میان داده‌های متوالی بر حسب فاصله‌ی زمانی بین آن‌ها است. اگر تابع همبستگی بصورت زیر تعریف شود:

$$f(T) = \frac{\langle w(t) \cdot w(t+T) \rangle_t}{\langle w(t)^2 \rangle_t} \quad (3-1)$$

که در آن  $t > T$  میانگین تمام نقطه‌های یک سری زمانی را نشان می‌دهد. اگر نمودار تغییرات ( $f(T)$ ) بر حسب  $T$  رسم شود،  $T_0$  که در آن اوّلین عبور ( $f(T)$  از صفر رخ می‌دهد، به عنوان معیاری برای انتخاب تأخیر استفاده می‌شود [۱۶].

<sup>1</sup> Stretching

<sup>2</sup> Folding

۳- روش دیگری برای انتخاب مقدار تأخیر در سال ۱۹۸۶ توسط فریز<sup>۱</sup> و سوینی<sup>۲</sup> مطرح شده که در آن از اطلاعات دوجانبه<sup>۳</sup> مطابق رابطه‌ی زیر استفاده شده است.

$$I(T) = \sum_t p(w(t), w(t+T)). \log \frac{p(w(t).w(t+T))}{p(w(t)).p(w(t+T))} \quad (4-1)$$

که در رابطه‌ی قبل  $p(w(t+T))$  توزیع احتمال جداگانه‌ی نقطه‌های داده‌ی مجاور و  $p(w(t).w(t+T))$  توزیع احتمال مشترک نقاط داده‌ی مجاور است. لازم به ذکر است که اطلاعات دوجانبه معیاری از این احتمال است که نقطه‌های داده‌ی مجاور  $w(t)$  و  $w(t+T)$  به لحاظ آماری مستقل نباشند [۱۷].

۴- از آنجا که قاعده‌ی کلی برای انتخاب  $T$  در تمام موارد وجود ندارد گاهی  $T$  را طوری انتخاب می‌کنند که به نتیجه‌ی رضایت‌بخشی، بسته به کاربرد مورد نظر، برسند [۱۸].

#### -۴-۱- بعد جاسازی

در بازسازی یک رایانه‌ی از یک سری زمانی تجربی با دینامیک ناشناخته، بعد رایانه‌ی نامشخص است. برای نمایش کامل دینامیک، بازسازی باید در فضایی که بعد آن به اندازه‌ی کافی بزرگ است صورت پذیرد. بنا بر قضیه‌ی تیکن، هرگاه بعد فراکتالی جاذب اصلی مولّد سری زمانی  $d$  و بعد جاسازی  $m$  باشد آن گاه برقراری شرایط  $1 < m < 2d + 1$  وضوح کامل جاذب را با تمام ویژگی‌ها در فضای فاز بازسازی شده تضمین می‌کند. البته اشکالاتی نیز به قضیه‌ی مورد نظر وارد است که عبارتند از:

الف- در شرایطی که با سری‌های زمانی تجربی مواجه هستیم بعد جاذب اصلی در دسترس نیست.

ب- در سال ۱۹۹۳ دینگ و همکاران نشان دادند که در محاسبه‌ی بعد جاسازی برای یک سری زمانی بلند با نویز کم کافی است که بعد فضای فاز بزرگتر از بعد رایانه‌ی باشد و لذا نیازی برقراری شرایط سخت تیکن نیست [۱۹].

روش‌های گوناگونی برای تعیین مقدار بعد جاسازی در منابع گوناگون معرفی شده‌اند که در زیر به بعضی از آن‌ها اشاره می‌کنیم.

۱- در این روش ابتدا سری زمانی مورد بررسی با  $N$  دایره به شعاع  $r$  کاملاً پوشانده می‌شود آن گاه بعد فراکتالی توسط رابطه‌ی زیر محاسبه می‌شود.

$$d = \lim_{r \rightarrow 0} \frac{\log(N(L))}{\log(\frac{1}{2r})} \quad (5-1)$$

که در رابطه‌ی قبل  $N(L)$  تعداد دایره‌های لازم به شعاع  $r$  برای پوشاندن سری زمانی مورد بررسی است. بنا بر مطالب عنوان شده در قبل کافی است بعد جاسازی از  $d$  بزرگتر باشد [۱۹].

---

<sup>1</sup> Fraser

<sup>2</sup> Swinney

<sup>3</sup> Mutual Information

۲- این روش بنا بر این سؤال بنا نهاده شده است که اگر دو نقطه در فضای فاز بازسازی شده در همسایگی یکدیگر قرار گرفتند، آیا این مجاورت به دلایل دینامیکی صورت گرفته است (به عبارت دیگر نزدیکی این دو نقطه یا دو مسیر به دلیل ویژگی‌های ذاتی سیستم است) و یا اینکه نزدیکی این دو به دلیل محاط شدن در فضایی با بعد نامناسب و بازسازی فضای فاز دینامیک مورد بررسی در فضایی با بعد پایین است؟ در این روش ابتدا بعد جاسازی را مقدار دلخواه  $m$  را در نظر گرفته و جاذب ساخته می‌شود. در جاذب بازسازی شده دو نقطه‌ی نزدیک به هم  $X(t), X(\bar{t})$  را انتخاب می‌کنیم. سپس بعد جاسازی را یک واحد افزایش داده و در فضای فاز جدید بازسازی شده، موقعیت دو نقطه را نسبت به یکدیگر بررسی می‌کنیم. اگر با افزایش بعد موقعیت دو نقطه نسبت به یکدیگر چهار تغییر و تحول شود آن‌گاه دونقطه به دلایل دینامیکی در مجاورت یکدیگر قرار نداشتند بلکه به علت محاط شدن در فضایی با بعد نامناسب در همسایگی یکدیگر قرار گرفته‌اند. افزایش بعد تا بدان‌جا ادامه پیدا می‌کند که فاصله‌ی نسبی نقاط  $X(t), X(\bar{t})$  در دو فضای فاز  $m+1$  و  $m$  بعدی به سمت صفر میل کند. [۱۹۱۸].

۳- این روش برای اولین بار توسط گراسبرگر و پروکاسیا مطرح شده و به شرح زیر است. ابتدا راینده در فضایی با بعد کم بازسازی و بعد ظاهری آن مطابق رابطه‌ی زیر محاسبه می‌شود.

$$C_m(r) = \lim_{N \rightarrow \infty} \frac{2}{N(N-1)} \sum_{1 \leq i \leq j \leq N} \theta(r - |y(i) - y(j)|) \quad (6-1)$$

که در رابطه‌ی فوق  $\theta(-)$  معروف تابع هویسايد است و به صورت زیر تعریف می‌شود.

$$\theta(x) = \begin{cases} 1 & \text{when } x > 0 \\ 0 & \text{when } x < 0 \end{cases} \quad (7-1)$$

پس بعد جاسازی را یک واحد افزایش داده، راینده در فضای جدید بازسازی می‌شود و مجدداً بعد ظاهری آن توسط رابطه‌ی بالا محاسبه شده و این فرایند تا رسیدن به یک مقدار حدّی برای بعد ظاهری ادامه پیدا می‌کند. کراسبرگر و پروکاسیا نشان دادند که بعدهمبستگی به صورت شیب نمودار  $\ln(C_m(r))$  به  $\ln(r)$  می‌باشد [۲۰].

۴- تجزیه‌ی مقدار SVD برای تخمین بعد محاطی: برای بررسی ارتباط میان بعد محاطی و تجزیه‌ی مقدار ویژه‌ی (SVD) ماتریس مسیر، یعنی ماتریس  $A$  متشکّل از بردارهای حالت، را به صورت زیر تشکیل می‌دهیم.

$$A = \frac{1}{\sqrt{n-m}} \begin{bmatrix} y(1) \\ y(2) \\ \vdots \\ y(n-m) \end{bmatrix} \quad (8-1)$$

که در رابطه‌ی فوق  $y(k)$  برابر است با :

$$y(k) = [x_k \quad x_{k-T} \quad \dots \quad x_{k-(m-1)T}] \quad (9-1)$$

در این حالت واضح است که یک بعد دلخواه  $m$  برای بازسازی مسیرها انتخاب شده است. با تشکیل ماتریس کوواریانس، عناصر غیر قطری، میزان وابستگی مؤلفه‌های بردارهای پیشامد( $y(k)$ ) را نسبت به یکدیگر نشان می‌دهد. همچنین در تجزیه‌ی مقدار منفرد ماتریس  $A$ ، تعداد  $S_i^2$  برابر با مقدار ویژه  $A^T A$  و ستون‌های ماتریس متعامد  $V$  بردارهای ویژه متناظر با این مقدار ویژه هستند لذا اگر تبدیل  $A' = A'$  را از روی ماتریس مسیر  $A$  انجام دهیم، از آن جا که  $U$  یک ماتریس متعامد یکه می‌باشد چنین تبدیلی به صورت دوران ماتریس اولیه تعبیر خواهد شد در نتیجه فاصله‌ی سطرهای ماتریس  $(y(i) \text{ و } y(j))$  در نتیجه‌ی آن بعد همبستگی که تابعی از این فاصله‌هاست، به ازای  $i, j = 1, 2, \dots, n - m$  تغییر نخواهد کرد.

لذا با توجه به مطالب عنوان شده بعد همبستگی ماتریس  $A^T$  به جای  $A$  در تعیین بعد همبستگی مؤثر خواهد بود.

$$A^T A U = V^T \begin{bmatrix} S_1^2 & 0 & 0 \\ 0 & \ddots & 0 \\ 0 & 0 & S_n^2 \end{bmatrix} U \quad (10-1)$$

با به دست آوردن مقادیر ویژه  $S_i^2$ ، به ازای  $n$  ای که در آن  $0 = S_i^2$  است، مسیر ساخته شده محور اصلی آن را قطع نکرده، مؤلفه‌ی  $1$  ام قابل حذف می‌باشد. لذا در غیاب نویز رتبه‌ی ماتریسی کوواریانسی که برابر تعداد مقادیر ویژه ناصرف است که بیان گر کوچکترین بعد محاطی مؤثر است. اما در شرایطی که با سری‌های زمانی تجربی سروکار داریم حضور نویز مسئله‌ای اجتناب ناپذیر است لذا در چنین شرایطی یا باید از روش‌های حذف نویز بهره جست که ممکن است سبب از بین رفتن بخشی از اطلاعات بشود. از آن جا که حضور نویز مانع از صفر شدن مقادیر ویژه می‌شود، بنابراین در چنین شرایطی مقادیر ویژه بزرگتر از یک مقدار آستانه (به نظر طراح بستگی دارد) را به عنوان بعد محاطی انتخاب می‌کنیم.

اما با توجه به مطالب عنوان شده یکی از مشکلات این روش اعمال نظرات شخصی در تعیین مقدار آستانه می‌باشد [21].

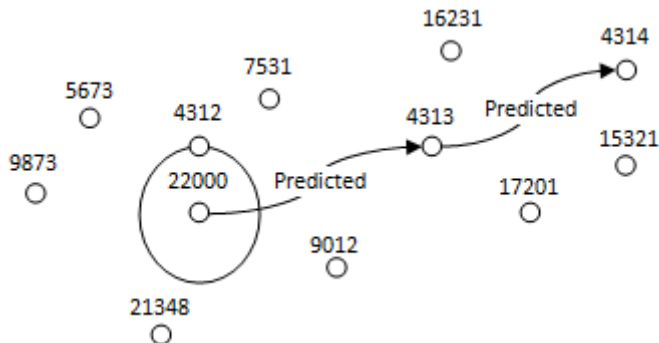
۵ - ترکیب روش SVD و الگوریتم گراسبرگر و پروکاسیا : با مطالعه‌ی روش‌های گذشته که در تحقیق پیش‌رو به بخشی از آن‌ها اشاره شد مشاهده خواهیم کرد تمامی روش‌های ارایه شده برای تخمین بعد محاطی در مرحله‌ای نیاز به در نظر گرفتن یک مقدار آستانه دارند که این مقدار نیز توسط اعمال نظر شخصی تعیین می‌شود. لذا الگوریتم‌هایی برای حصول به این مقصود طرحی شده‌اند که عبارتند از FDL و FD [21 و 22].

#### ۱-۵- روش همانندی یا نزدیک‌ترین همسایه:

احتمالاً ساده‌ترین روش پیش‌بینی سری‌های زمانی روش همانندی است که توسط لونز در سال ۱۹۶۳ پیشنهاد شد [4]. دنباله‌ی کوتاه نقاط در یک سری زمانی آشوبناک، در طول سری زمانی تکرار می‌شوند و بخش‌های کوتاه و نهایی یک سری زمانی آشوبی خویشاوند قبلی نزدیکی در سری

دارد. لذا می‌توان به وسیله‌ی ادامه‌دادن این بخش‌های قبلی مقدار قابل توجهی از نقاط را پیش‌بینی نمود.

این روش از هندسه مدارات روی رابینده بهره می‌برد. از آن‌جا که مسیرها روی یک رابینده‌ی آشوبی معمولاً به صورت تقریباً تکراری ظاهر می‌شوند، در این روش ابتدا فضای فاز از روی سری زمانی بازسازی شده و آخرین نقطه‌ی موجود در فضای فاز بازسازی شده تعیین می‌گردد (در شکل زیر نقطه ۲۲۰۰۰).



شکل ۱-۸: روش نزدیکترین همسایه

سپس در فضای فاز جدید نزدیکترین نقطه به نقطه مذکور پیدا می‌شود. با توجه به مطالب عنوان شده در بخش‌های فوق از آن‌جا که مدارات روی رابینده دارای ماهیت تقریباً تکراری هستند، لذا حداقل برای تعداد محدودی از نقاط، دنباله‌ی نقاطهای پس از این همسایه به عنوان معیاری برای پیش‌بینی استفاده می‌شود (در شکل قبل از نقطه ۴۳۱۲ به بعد).

## ۶-۱- روش تقریب خطی

یکی دیگر از روش‌های پیش‌بینی سری‌های زمانی آشوبی بدست آوردن تقریبی برای نگاشت زیر است

$$Y_j + 1 = M(Y_j) \quad (11-1)$$

صورت‌های ریاضی متفاوتی می‌تواند به جای تابع  $M$  قرار گیرند. به عنوان مثال از آن‌جا که سیستم‌های آشوبی غیرخطی هستند می‌توان از توابع غیرخطی برای تابع  $M$  استفاده شود اما به نظر می‌رسد که استفاده از این روش به دلیل وجود پیچیدگی‌های سیستم‌های غیرخطی چندان آسان نباشد. یک راه حل ساده‌تر استفاده از روش‌های خطی بجای استفاده از توابع غیرخطی می‌باشد. از آن‌جا که تحول مسیرها روی رابینده در سطحی کوچک‌تر ناشی از تحول نقاط روی رابینده است و همچنین این نقاط در فاصله‌ی نزدیکی از یکدیگر قرار دارند، لذا شاید بتوان رفتار سیستم در نزدیکی هر نقطه از رابینده را با یک نگاشت خطی تقریب زد یعنی :

$$Y_{j+1} = aY_j + b \quad (12-1)$$

که در رابطه‌ی فوق ماتریس  $b$  و  $a$  مختص هر نقطه هستند [۱۸].

مجموع تمام این نگاشت‌های خطی یک نگاشت غیرخطی را به وجود می‌آورد. به عنوان مثال در یک فضای فاز سه‌بعدی خواهیم داشت:

$$\begin{bmatrix} x(t_j + 1) \\ x(t_j + 1 + T) \\ x(t_j + 1 + 2T) \end{bmatrix} = \begin{bmatrix} a_{11} & a_{12} & a_{13} \\ a_{21} & a_{22} & a_{23} \\ a_{31} & a_{32} & a_{33} \end{bmatrix} \begin{bmatrix} x(t_j) \\ x(t_j + T) \\ x(t_j + 2T) \end{bmatrix} + \begin{bmatrix} b_1 \\ b_2 \\ b_3 \end{bmatrix} \quad (13-1)$$

که در رابطه‌ی بالامتغیرهای  $a_{ij}$  و همچنین  $b_j$  به گونه‌ای تعیین می‌شود که مقدار کمینه‌ی تابع زیر حاصل شود.

$$f(a, b) = \sum_j \|y_{j+1} - (a \cdot y_j + b)\| \quad (14-1)$$

که در آن  $\sum n$  همسایه‌ی نزدیک آخرین نقطه‌ای است که از آن پیش‌بینی بعدی صورت می‌گیرد. از آن جا که رفتار سیستم در نزدیکی هر نقطه به صورت خطی در نظر گرفته شده، بنابراین هر مجموعه‌ی مشخص از ضرایب  $b$  و  $a$  در ناحیه‌ی کوچکی از فضا معتبر می‌باشند. با توجه به رابطه-۱۳-۱ که در آن بعد فضای فاز سه در نظر گرفته شده‌است در صورتی که برای هر آخرین نقطه،  $n$  همسایه را انتخاب کنیم، پس از طی مرحل ریاضی روابط زیر برای تعیین عناصر ماتریس‌های  $a$  و  $b$  دست حاصل می‌شود.

$$\begin{aligned} a_{i1} \sum w_1 w_2 + a_{i2} \sum w_1 w_2 + a_{i3} \sum w_1 w_3 + b_i \sum w_1 \\ = \sum \acute{w}_i w_1 \\ a_{i1} \sum w_1 w_2 + a_{i2} \sum w_2 w_2 + a_{i3} \sum w_2 w_3 + b_i \sum w_2 \\ = \sum \acute{w}_i w_2 \\ a_{i1} \sum w_3 w_2 + a_{i2} \sum w_3 w_2 + a_{i3} \sum w_3 w_3 + b_i \sum w_3 \\ = \sum \acute{w}_i w_3 \\ a_{i1} \sum w_1 + a_{i2} \sum w_2 + a_{i3} \sum w_3 + b_i n = \sum \acute{w}_i \end{aligned} \quad (15-1)$$

که در آن  $i = \{1, 2, 3\}$  و  $\sum_{j=1}^n$  جمع روی  $n$  همسایگی نزدیک است. در روابط فوق  $w_m = w(t_j + (m-1)T)$  نقاط موجود در شاع همسایگی آخرین نقطه در دسترس در فضای فاز و  $\acute{w}_m = w(t_j + 1 + (m-1)T)$  نقاط متوالی بعدی نقاط موجود در شاع همسایگی می‌باشند.

لازم به ذکر است که جهت بهبود این روش می‌توان از تعیین ضرایب وزنی برای همسایه‌ها نیز استفاده نمود. در صورت استفاده از این روش، از فاصله‌ای به بعد، وزن‌ها شرکت چندانی در تعیین نقطه‌ی پیش‌بینی شده نخواهند کرد [۲۳].

## ۷-۱- اهداف کلی پایان نامه

چنان که از عنوان پایان نامه پیداست در این پایان نامه هدف پیش‌بینی سری‌های زمانی آشوبگون در فضای فاز بازسازی<sup>۱</sup> شده و با استفاده از تکنیک‌های خطی و غیرخطی می‌باشد. محور اصلی مباحث مطرح شده در این پایان نامه، استفاده و ترکیب روش‌های گذشته و در برخی از موارد معرفی روش‌های جدید در پیش‌بینی سری‌های زمانی بهمنظور حصول بهدقت مناسب در عین افق پیش‌بینی مطلوب است. زیرا مقوله‌ی افق پیش‌بینی و دقّت پیش‌بینی مهم‌ترین مسائلی هستند که در پیش‌بینی سری‌های زمانی با آن‌ها مواجه هستیم. البته این دو مقوله بسته به کاربرد، معانی مختلفی نیز پیدا می‌کنند به عنوان مثال در پیش‌بینی کوتاه مدت سری‌های زمانی توجه به مقوله‌ی دقّت پیش‌بینی از اهمیّت بیشتری برخوردار است. لذا در این پایان نامه در پیش‌بینی کوتاه مدت نگاه خود را به مقوله‌ی دقّت و در پیش‌بینی بلند مدت، تعامل میان دقّت و افق پیش‌بینی معطوف داشته‌ایم. همچنین مباحث مطرح شده نیز با توجه به این دو رویکرد تدوین شده‌اند.

## ۸-۱- ساختار پایان نامه

در فصل دوم به مرور کارهایی که تا کنون زمینه پیش‌بینی سری‌های زمانی آشوبی شده است خواهیم پرداخت. روش‌های پیشنهادی در فصل سوم معرفی خواهند شد. استفاده از یکی از روش‌های پیشنهادی در پیش‌بینی سری‌های زمانی زیستی قلب و HRV موضوع فصل چهارم را تشکیل می‌دهد. در فصل پنجم نیز جمع‌بندی و مقایسه‌ی روش‌های پیشنهادی پرداخته و ارائه‌ی پیشنهاداتی ارائه خواهد شد.

---

<sup>۱</sup> Reconstructed Phase Space

## **فصل ۲ - پیشینه‌ی تحقیق**

## فصل ۲ - پیشینه تحقیق

بعد از گذشت چندین دهه، پیش‌بینی سری‌های زمانی آشوبی به یک مسئله‌ی عمومی که ذهن بسیاری از محققان را به خود درگیر کرده است، تبدیل شده است. همچنین نظریه‌ی آشوب به عنوان یک حوزه‌ی جدید در ریاضیات برای تحلیل سیستم‌های آشوبی و بیرون کشیدن اطلاعات پنهان در داده‌هایی که در ظاهر تصادفی به نظر می‌رسند، استفاده می‌گردد [۲۴]. از سال ۱۹۷۰ روش‌های گوناگون پیش‌بینی در حوزه‌ی زمان و فرکانس معرفی گردیدند [۲۵]. در ادامه به معرفی برخی از تلاش‌های انجام شده خواهیم پرداخت. به دلیل تنوع کارهای انجام‌شده در این زمینه اقدام به دسته‌بندی آن‌ها نموده و در ذکر تحقیقات نیز تنها به بیان کلیات پرداخته شده است.

روش‌های سنتی پیش‌بینی سری زمانی همانند روش‌های اتورگرسیو<sup>۱</sup> و انتقال میانگین<sup>۲</sup> و غیره که با تکیه بر روش‌های خطی و با دیدگاه تک مقیاس اقدام به پیش‌بینی سری‌های زمانی آشوبی نموده و بیشتر با خاطر سادگی شان مورد توجه قرار گرفته‌اند [۲۶]. اما به دلیل نگاه تک مقیاس (اسکالر) به سری‌های زمانی (سری‌های زمانی آشوبی در حوزه زمان رفتار تصادفی از خود نشان می‌دهند اما در حوزه‌ی فضای فاز دارای رفتار قطعی می‌باشند) علاوه بر سوی دانشمندان و محققان کنار گذاشته شدند. زیرا بسیاری از سیستم‌های طبیعی و آشوبی در عمل رفتاری بشدت غیرخطی را از خود نشان می‌دهند. رویت چنین ویژگی در سیگنال‌های آشوبی سبب ترغیب دانشمندان به توسعه‌ی استفاده از روش‌های غیرخطی گردید. استفاده از شبکه‌های فازی بیانگر نمونه‌ای از تلاش‌های انجام شده در این زمینه است [۲۷]. اما انتخاب چنین ساختاری نیز مشکلاتی همچون روش‌های پیچیده انتخاب پارامترها را در پی دارد.

با توجه به پیچیدگی‌های خاص سیستم‌های فازی شبکه‌های عصبی مصنوعی نیز به عنوان یک تقریب‌گر عام که نیازمند پارامترهای کمتری برای آموخته هستند مورد توجه قرار گرفتند. با توجه مزیت‌های شبکه‌ی عصبی مصنوعی همانند پردازش موازی، نگاشت پذیری غیرخطی و الگوریتم‌های متعدد یادگیری سبب کاربرد گسترده شبکه‌های مزبور در حوزه‌ی پیش‌بینی سری‌های زمانی آشوبناک شده است. شبکه عصبی یک تقریب‌گر عام برای توابع پیوسته است که قابلیت دست یابی به دقت مطلوب را در صورتی که دارای تعداد کافی نرون در لایه مخفی باشد، دارد. در حال حاضر از شبکه‌های عصبی پرسپترون چند لایه<sup>۳</sup> بطور معمول برای پیش‌بینی سری‌های زمانی استفاده می‌شود [۲۸]. اما روش مذکور نیز دارای مشکلاتی همچون پایین بودن نرخ همگرایی و افتادن در نقاط مینیمم محلی می‌باشد. شبکه‌ی توابع بنیادی شعاعی<sup>۴</sup> نیز یکی دیگر از انواع شبکه‌های عصبی مصنوعی پیشرو است که کاربرد گسترده‌ای در پیش‌بینی سری‌های زمانی آشوبی پیدا کرده است [۲۹]. این نوع از شبکه‌های عصبی مصنوعی دارای ویژگی‌هایی همانند نرخ همگرایی بالاتر، شبکه ساده‌تر و افتادن کمتر در مینیمم‌های محلی بوده که این ویژگی‌های خود را مدیون رابطه‌ی خطی میان لایه‌ی خروجی و لایه‌ی مخفی خود هستند. اما علی‌رغم

<sup>1</sup> Auto regressive

<sup>2</sup> Moving Average

<sup>3</sup> Multi-Layer Perceptron

<sup>4</sup> RBF

مزایای ذکر شده در مورد شبکه توابع بنیادی شعاعی، مشکل انتخاب تعداد نرون‌های لایه مخفی که رابطه مستقیم با قدرت تقریبگری عمومی این نوع شبکه‌ها دارد، کماکان باقی است. شبکه‌های بازگشتی<sup>۱</sup> یکی دیگر از انواع شبکه‌های عصبی مصنوعی است که بعلت معماری خاص شبکه، کاربرد گسترده در پیش-بینی سری‌های زمانی آشوبی یافته است [۳۰]. وجود حافظه‌ی داخلی و فیدبک سبب ایجاد قدرت پیش-بینی بالاتر و توانایی بیشتر در مهار دینامیک غیرخطی حاکم بر سیستم‌های آشوبی و یافتن روابط دینامیکی میان داده‌های ورودی و خروجی، نسبت به شبکه‌های عصبی سنتی شده است. از میان انواع گوناگون شبکه‌های مذکور، شبکه‌های المان<sup>۲</sup> کاربرد گسترده‌تری در این حوزه یافته‌اند. عدم نیاز به شناخت دقیق جزئیات سیستم یکی دیگر از مزایای شبکه‌های بازگشتی می‌باشد. بدیهی است که با فراهم آوردن اطلاعات دقیق‌تر از جزئیات سیستم مورد بررسی، شناخت ما از سیستم کاملتر شده که نتیجه‌ی آن انجام پیش‌بینی بهتر و دقیق‌تر است.

وجود ویژگی‌های برجسته تبدیل موجک در رویارویی با سیگنال‌های نایستا و همچنین ویژگی شبکه‌های عصبی مصنوعی در مدل‌سازی غیرخطی توابع، سبب ایجاد نوع دیگری از شبکه‌های عصبی مصنوعی تحت عنوان شبکه موجک گردید که در آنها از موجک‌ها به عنوان توابع فعال‌ساز استفاده می‌شود. بدیهی است که ترکیب دو روش مذکور در غالب شبکه موجک سبب ایجاد مدل کاملتری گردیده که در آن نقایص هریک از روش‌های موجک و شبکه‌ی عصبی بطور موثر جبران شده است. شبکه‌ی موجک بعلت فراهم نمودن توانایی تقریبگری عام و همچنین آموزش سریعتر نسبت به شبکه‌های عصبی پیشروی معمولی، کاربرد گسترده‌ای در پیش‌بینی سری‌های زمانی آشوبی یافته‌اند [۳۱].

ماشین بردار پشتیبان<sup>۳</sup> به عنوان یک ابزار جدید رگرسیون و طبقه‌بندی است که بر پایه‌ی تئوری یادگیری استاتیکی<sup>۴</sup> که توسط وپنیک<sup>۵</sup> در سال ۱۹۹۵ مطرح شد، بنا نهاده شده است. کاربرد های گزارش شده در مقالات ماشین بردار پشتیبان را به عنوان یک ابزار قدرتمند تقریب تابع و طبقه‌بندی معرفی نموده‌اند که در زمینه پیش‌بینی سری‌های زمانی نیز کاربردهای بسیار وسیعی یافته‌اند. در سال ۱۹۹۹ نسخه اصلاح شده SVM تحت عنوان LS-SVM مطرح گردید. روش مذکور قابلیت‌های بالاتری نسبت روش متداول SVM در کشف روابط پیچیده و انجام بهتر پیش‌بینی را دارد [۳۲ و ۳۳]. حجم پایین محاسبات در عین حفظ ویژگی‌های اساسی SVM یکی دیگر از مزایای روش اصلاح شده است.

علاوه بر روش‌های عنوان شده استفاده از روش‌های مبتنی بر الگوریتم‌های تکاملی نیز کاربردهای فراوانی در این حوزه یافته‌اند. بعنوان مثال تعیین بهینه ضرایب شبکه بمنظور انجام بهتر پیش‌بینی توسط الگوریتم‌های بهینه سازی همانند پرنده‌گان<sup>۶</sup> که امروزه به یک روش متداول تبدیل شده است [۳۴]. الگوریتم پرنده‌گان یک روش بهینه سازی است که توسط کندی<sup>۷</sup> و ابرهارت<sup>۸</sup> با الهام گرفتن از حرکت

<sup>1</sup> Recurrent

<sup>2</sup> Elman

<sup>3</sup> Support Vector Machine

<sup>4</sup> Statistical Learning Theory

<sup>5</sup> Vapnik

<sup>6</sup> PSO

<sup>7</sup> Kennedy

<sup>8</sup> Eberhart

پرندگان و ماهی‌ها، پیشنهاد شده است. قابلیت جستجو در تمام فضای مورد بررسی و پیاده سازی آسان دو ویژگی اساسی روش مذکور می‌باشد.

علاوه بر روش‌های عنوان شده که مبتنی بر روش‌های هوشمند و الگوریتم‌های بهینه سازی می‌باشند، روش‌های مبتنی بر نظریه‌ی آشوب نیز کاربرد های فراوانی در این حوزه یافته‌اند. از سال ۱۹۸۰ که نظریه بازسازی فضای فاز توسط پاکارد<sup>۱</sup> مطرح شد تا به امروز بیشتر کارهای انجام شده بر اساس نظریه مذکور مطرح شده‌اند. پاکارد نشان داد که حرکت تکاملی و تدریجی تمام متغیرهای سیستم، در سری زمانی حاصل از آن به ظهر می‌رسند. در نتیجه یک سری زمانی شامل اطلاعات همچون تغییرات تدریجی و طولانی مدت متغیرها است. لذا با داشتن یک سری زمانی از عملکرد سیستم می‌توان درباره رفتار سیستم تصمیم گیری نمود. سپس تیکن<sup>۲</sup> نشان داده که بعد و تاخیر مناسب برای ساختن دینامیک غیرخطی در فضای فاز وجود دارد. بعد از ارائه نظریات مذکور، بازسازی فضای فاز به عنوان جز جدایی ناپذیر در پیش‌بینی سری‌های زمانی مطرح گردید که هم بصورت تنها و هم بصورت ترکیبی با روش‌های دیگر توسعه‌ی فراوانی در حوزه پیش‌بینی سری‌های زمانی آشوبی یافته‌اند [۳۵]. علیرغم کاربرهای گسترده روش مذکور در پیش‌بینی سری‌های زمانی آشوبی مشکل نبود روش عمومی بمنظور یافتن بهترین بعد و تاخیر جهت بازسازی فضای فاز، کماکان باقی بوده و یکی از بزرگترین نقاطی روش مذکور محسوب می‌شود. روش‌های گوناگونی برای تعیین بعد جاسازی و تاخیر زمانی در مراجع پیش‌نهاد شده است که در فصل اول بطور کامل بدان پرداخته شده. اما با وجود تعدد روش‌های ذکر شده در تعیین پارامترهای بازسازی، هیچکدام از روش‌های مذکور قادر به ارائه مدل کامل و جامعی که در تمام موارد توانایی یافتن بهترین بعد و تاخیر را داشته باشد، نشده‌اند.

<sup>1</sup> Pakard

<sup>2</sup> Taken

## فصل ۳- روش‌های پیشنهادی در پیش‌بینی سری‌های زمانی

## فصل ۳ - روش‌های پیشنهادی در پیش‌بینی سری‌های زمانی

### ۱-۳ - مقدمه

همانطور که قبلاً عنوان گردید هدف از این پایان نامه ارائه‌ی روش‌های جدیدی در پیش‌بینی سری‌های زمانی آشوبی می‌باشد. لذا در ادامه با استفاده از دو دیدگاه کلی پیش‌بینی، کوتاه مدت و بلند مدت، روش‌های جدیدی معرفی می‌شوند. در پیش‌بینی کوتاه مدت، توسط روش فازی برخط و ترکیب آن با روش بازسازی فضای فاز اصلاح شده دو روش جدید در پیش‌بینی سری زمانی معرفی می‌شود. در دیدگاه دوم نیز ابتدا به اصلاح روش نزدیک ترین همسایه که توسط لورنز در سال ۱۹۶۳ پیشنهاد شد، پرداخته و سپس با استفاده از ترکیب روش مذکور با روش‌های شبکه‌های عصبی مصنوعی و تبدیل موجک، سه روش جدید در پیش‌بینی بلند مدت سری زمانی معرفی می‌شود. بنابراین روش‌های معرفی شده در ۶ بخش بصورت جداگانه معرفی خواهند شد. روال کار بدین شرح است که در هر بخش ابتدا روش پیشنهادی شرح داده شده و الگوریتم‌های مربوطه معرفی می‌شود. سپس نتایج حاصل از پیاده‌سازی الگوریتم‌های مذکور در پیش‌بینی سری‌های زمانی ارائه خواهند شد. جهت بررسی و اعتبار سنجی روش‌های معرفی شده، از سری‌های زمانی آشوبی روسler و لورنز به عنوان نمونه استفاده شده است.

### ۲-۳ - پیش‌بینی کوتاه مدت :

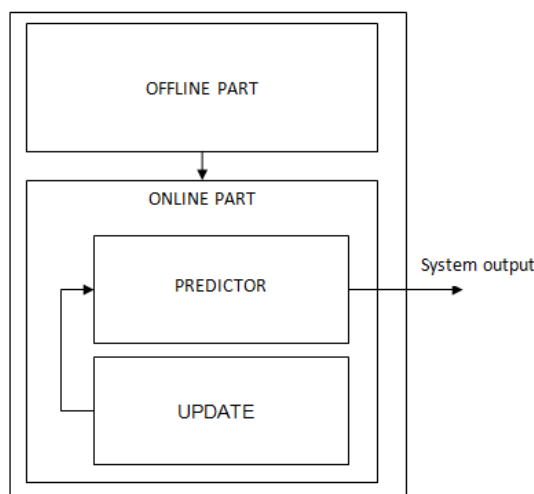
در این بخش دو روش در پیش‌بینی کوتاه مدت ارائه می‌شود. روش فازی برخط و روش فازی حافظه دار.

### ۱-۲-۳ - روش فازی برخط :

بر اساس کارهای انجام شده در گذشته یکی از روش‌های متداول در پیش‌بینی سری‌های زمانی استفاده از روش‌های عصبی و فازی می‌باشد [۳۶]. در چنین روش‌هایی در ابتدا شبکه‌ی عصبی یا فازی به صورت غیر برخط برای یادگیری بخشی از سری زمانی یا بخشی از فضای فاز آموزش می‌بینند. پس از قطعی شدن ضرایب شبکه و انجام مرحله آموزش، از شبکه‌ی مذکور برای پیش‌بینی کوتاه مدت (غلب تک گام) استفاده خواهد شد. از آن‌جا که پارامترهای شبکه به صورت غیر برخط تنظیم شده‌اند، لذا در هنگام انجام پیش‌بینی ضرایب شبکه دچار تغییر و تحول نشده و ثابت می‌مانند.

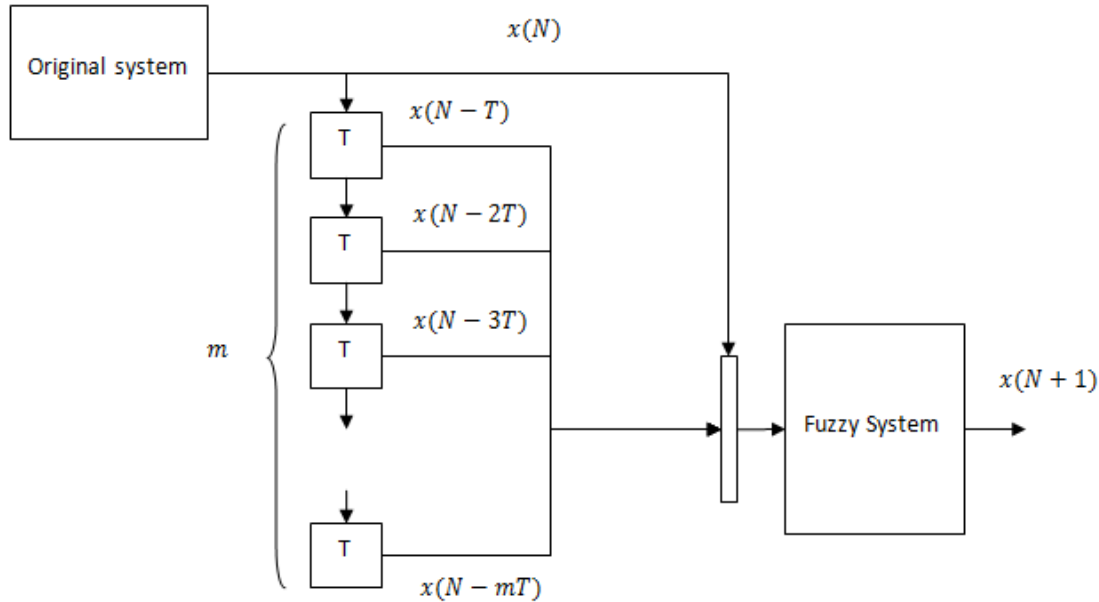
همان‌طور که می‌دانیم یکی از ویژگی‌های مهم سیستم‌های آشوبی نایستا بودن آن است. به این معنا که سیستم‌های آشوبی رفتار خود را حتی به صورت تقریبی نیز تکرار نمی‌کنند. وجود چنین ویژگی در سیگنال‌های آشوبی سبب ایجاد خطأ در پیش‌بینی خواهد شد (اما از آن‌جا که پیش-

بینی به صورت تک گام انجام می‌شود خطا محدود مانده و رشد نمی‌کند). اهمیت این قضیه هنگامی آشکارتر خواهد شد که دامنه‌ی سیگنال آشوبی در مرحله‌ی تست از حدّاً کثر دامنه‌ی به‌کار رفته برای آموزش شبکه، فراتر رود. بدیهی است از آن‌جا که شبکه برای مواجه با چنین سیگنالی آموزش ندیده‌است، خطای نسبتاً بزرگی در پیش‌بینی رخ می‌دهد. بنابراین روش بهتر در پیش‌بینی سری‌های زمانی (مخصوصاً هنگامی که نیازی به انجام پیش‌بینی بلند مدت احساس نمی‌شود) استفاده از روش‌های برخط به جای روش‌های غیر برخط در شناسایی دینامیک غیرخطی حاکم بر سیستم مولّد سری زمانی است که نتیجه‌ی آن نیز انجام پیش‌بینی بهتر و دقیق‌تر است.



شکل ۱-۳ : ساختار کلی سیستم مورد بررسی

ساختار کلی روش پیش‌نهادی در شکل ۱-۳ مشاهده می‌شود. همانطور که در شکل نشان داده شده است، سیستم به دو بخش کلی برخط و غیر برخط تفسیم می‌شود. یک نمونه از چنین روش‌هایی روش فازی برخط با الگوریتم آموزش گرادیان می‌باشد [۳۷]. در این روش ابتدا توسط تاریخچه‌ای از سری زمانی که در دسترس است پارامترهای بازسازی که عبارتند از بعد جاسازی و تاخیر زمانی محاسبه می‌شوند. سپس ورودی‌ها، توسط بخش غیربرخط، به نحوی آرایش داده می‌شوند که به ازای هر خروجی تولید شده توسط سیستم اصلی بتوانند بردار متناظر با آن را در فضای فاز بازسازی شده تولید نموده و به عنوان ورودی به بخش فازی اعمال کنند. تعداد ورودی‌های سیستم فازی برابر بعد جاسازی در نظر گرفته شده و ضریبی از تاخیر زمانی در مسیر هر ورودی قرار داده شده است که عملیات مذکور توسط بخش آفلاین انجام می‌شود. نحوی آرایش ورودی‌ها توسط بخش آفلاین در شکل زیر نشان داده شده است.

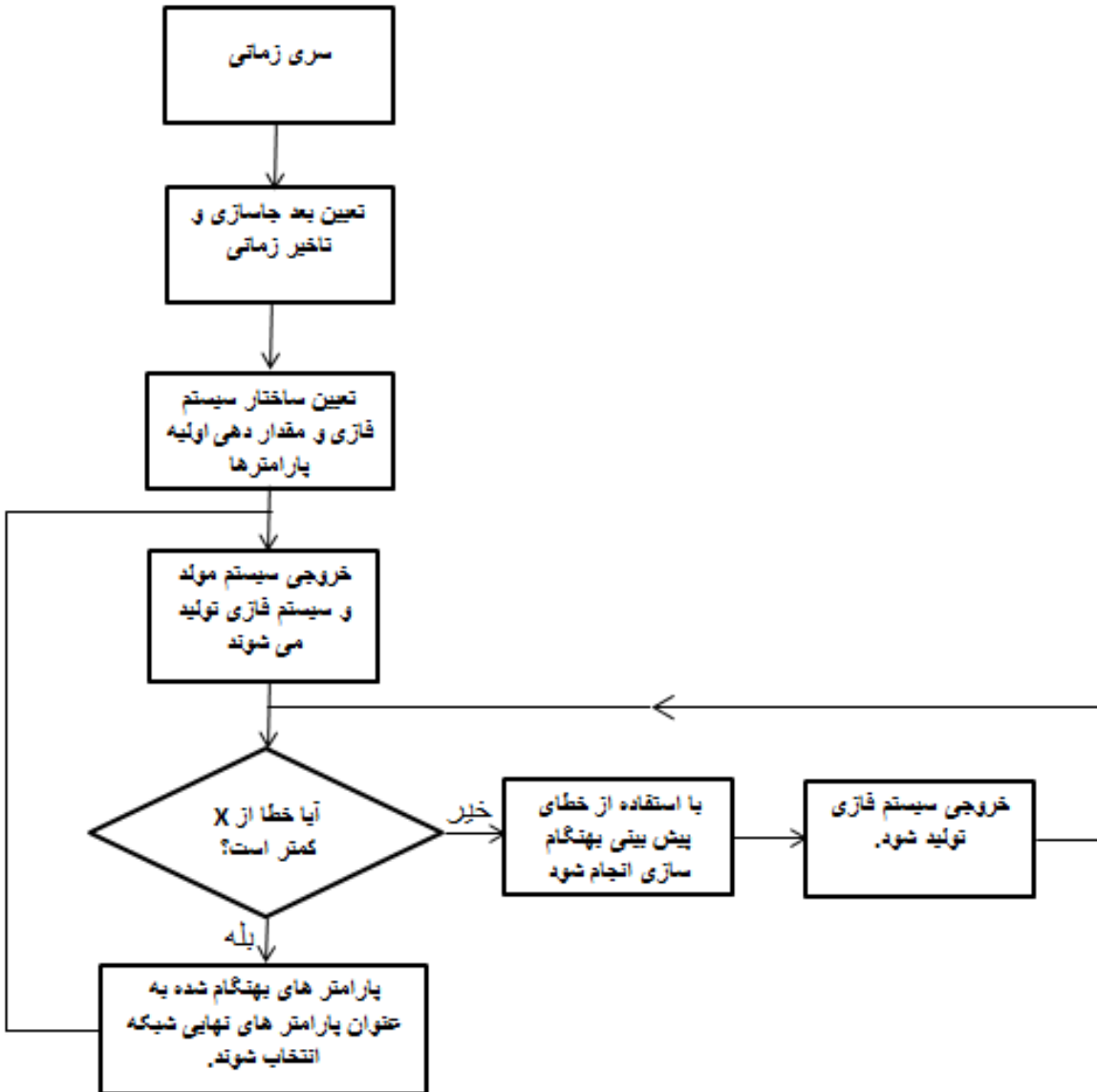


شکل ۲-۳ : نحوی آرایش ورودی که که توسط بخش آفلاین انجام می شود.

سپس بخش آفلاین تا انتهای پیش بینی از چرخه فرایند کنار گذاشته شده و ادامه فرایند پیش بینی توسط بخش های فازی بهنگام ساز<sup>۱</sup> و پیشگو<sup>۲</sup> انجام می شود. در هر مرحله از پیش-بینی ابتدا توسط بخش پیشگو پیش بینی انجام می شود. سپس تا تولید خروجی سیستم اصلی سیستم در حالت انتظار قرار می گیرد. بعد از تولید خروجی اصلی (خروجی سیستم مولد سری زمانی) با استفاده از خطای پیش بینی تولید شده که به عنوان خطای اولیه به سیتم بهنگام ساز منتقل می شود، مسئله ای پیش بینی که با تولید خروجی سیستم اصلی به یک مسئله رديابی تبدیل شده است، توسط سیستم بهنگام ساز حل می شود. سیستم بهنگام ساز با تکرار مرحله ای گذشته سعی در ارائه پاسخ به این سوال می نماید "که آیا موقعیت بهتری برای مراکز گروههای عضویت به منظور انجام پیش بینی بهتر وجود داشته است؟". عملیات تکرار تا انجا ادامه پیدا می کند که خطای رديابی از حد معینی کمتر شده و یا اینکه تعداد تکرار های حلقه داخلی به یک مقدار از پیش تعیین شده برسد. سپس مراکز بهینه شده به منظور انجام پیش بینی از بخش بهنگام ساز به بخش پیشگو منتقل می شوند. آنگاه توسط مراکز گروههای عضویت جدید و موقعیت جدید خروجی ها، پیش بینی توسط بخش پیشگو انجام می شود. فلوچارت بخش فازی در شکل زیر آمده است.

<sup>1</sup> Update

<sup>2</sup> Predictor



شکل ۳-۳ : الگوریتم بخش فازی برخط که شامل دو بخش بهنگام‌ساز و پیشگو می باشد.

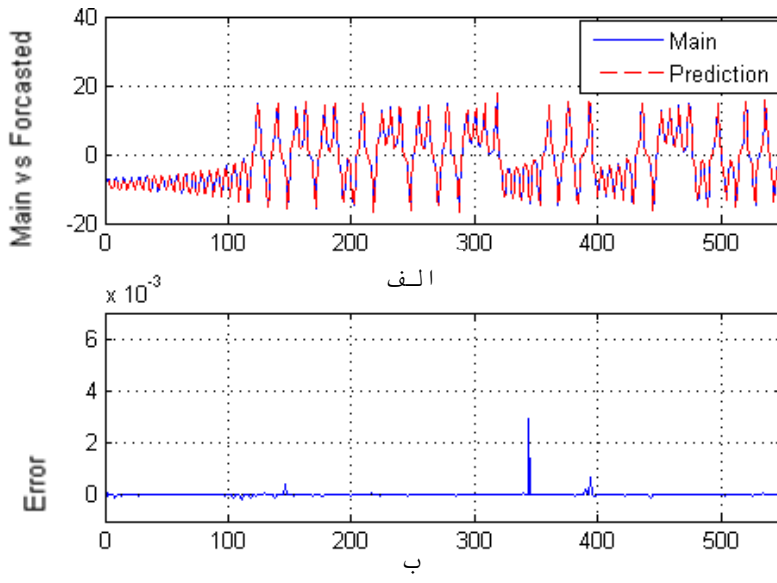
بعد از تکرار های مکرر آزمون مذکور به ازای شرایط اولیه گوناگون و سری های زمانی مختلف، مشاهده شده است که با حذف حلقه‌ی داخلی قدرت پیش‌بینی بشدت کاهش پیدا می کند، از سوی دیگر حضور آن نیز موجب کندی سیستم می گردد. لذا حصول به تعامل میان سرعت و دقت امری ضروری و انکار ناپذیر است. در این تحقیق مقدار بعد جاسازی و تاخیر زمانی برای سری زمانی لورنز برابر ۳ و ۸ و برای سری زمانی روسler برابر ۳ و ۷ تعیین شده است. لازم به ذکر است که مقدار فرکانس نمونه برداری نیز برای هر دوسری زمانی برابر ۱۰٪ در نظر گرفته شده است.

سیستم فازی دارای موتور استنتاج ضرب، گروههای عضویت گوسی، غیرفازی ساز میانگین مراکز و فازی ساز منفرد است. همچنین به ازای هر ورودی ۴ گروه عضویت در نظر گرفته شده است که در مجموع تولید ۶۴ قانون فازی را می نمایند. همچنین تعداد تکرارهای حلقه داخلی نیز برابر ۳۰ در نظر گرفته شده است که این عدد با استفاده از آزمون و خطای بدست آمده است. ساختار کلی سیستم فازی و رابطه بهنگام سازی مراکز گروههای عضویت خروجی بصورت زیر است:

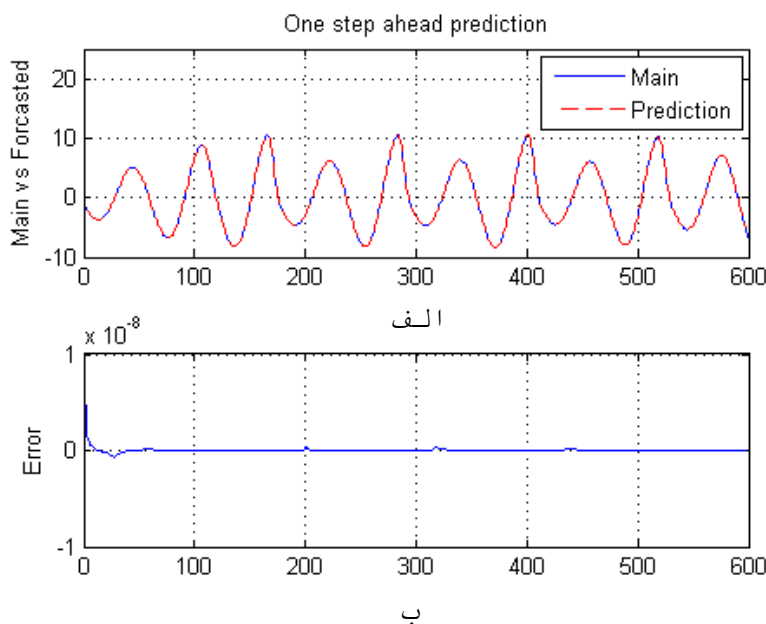
$$f(x) = \frac{\sum_{l=1}^M y^{-l} (\prod_{i=1}^D \exp(-(\frac{x_i - x_i^l}{\sigma_i^{-1}})^2))}{\sum_{l=1}^M (\prod_{i=1}^D \exp(-(\frac{x_i - x_i^l}{\sigma_i^{-1}})^2))} \quad (1-3)$$

$$y^{-l}(q+1) = y^{-l}(q) - \alpha \frac{\partial e}{\partial y^{-l}} \Big|_q \quad (2-3)$$

نتایج حاصل از شبیه‌سازی‌ها:



شکل ۴-۳ : پیش بینی تک گام سری زمانی لورنر توسط روش فازی برخط-الف: سری زمانی اصلی و پیش بینی شده ب خط



شکل ۵-۳ : پیش بینی تک گام سری زمانی روسلر توسط روش فازی برخط-الف: سری زمانی اصلی و پیش بینی شده ب خط

همانطور که مشاهده می شود نتایج حاصل از پیش‌بینی بیانگر توانایی روش فازی برخط در پیش‌بینی کوتاه مدت سری زمانی می باشد.

خطای پیش‌بینی سیستم رولسلر همانطور که از قبل هم انتظار می رفت از خطای پیش‌بینی سیستم لورنر کمتر است. با توجه به دو عامل غیرخطی در معادله سری زمانی لورنر، آشوبی تر بودن سری زمانی لورنر نسبت به سری زمانی رولسلر را می توان از مهمترین دلیل این امر برشمرد. بمنظور مقایسه‌ی بهتر، پیش‌بینی سری زمانی رولسلر را می توسط روش پرسپترون چندلایه نیز انجام شد که نتایج آن براساس سه معیار خطای محاسبه و در جدول ۱-۳ نشان داده شده است.

جدول ۱-۳ مقایسه میان نتایج پیش‌بینی تک‌گام سری زمانی لورنر توسط روش فازی برخط و دو روش مبتنی بر شبکه عصبی

Method	MSE	RMSE	NMSE
Online Fuzzy Method	1.65E-9	4.06E-5	2.72E-11
MLP-LM	2.28E-5	4.8E-3	1.07E-4
Elman-NARX [38]	1.17E-8	1.08E-4	1.98E-10

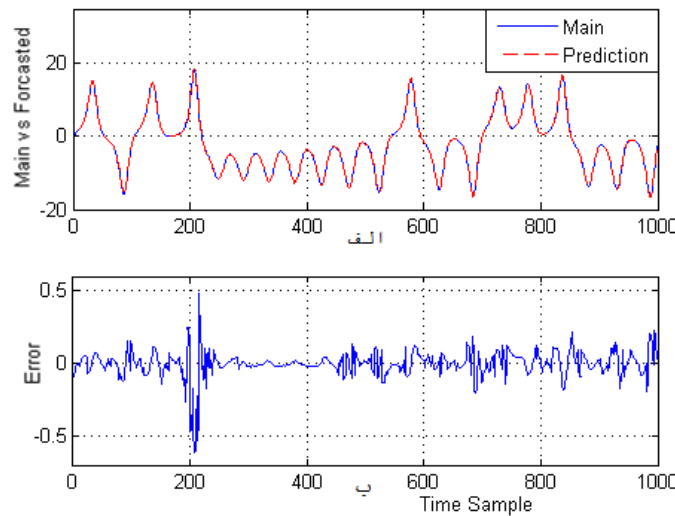
بمنظور مقایسه‌ی بهتر، روش پیشنهادی، با یکی دیگر از روش‌های ارائه شده در مقالات مقایسه گردید که نتایج آن نیز در جدول فوق آمده است. نتایج ارائه شده در جدول ۱-۳ بیانگر برتری روش فازی حافظه برخط نسبت به دو روش دیگر است.

### -۲-۲-۳ روش فازی حافظه‌دار :

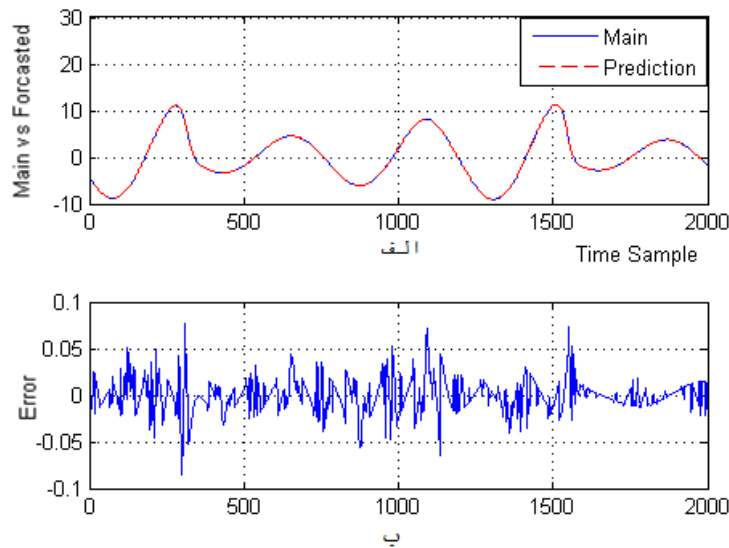
همان‌طور که در بخش قبل به آن اشاره شد روش‌های فازی از جمله روش‌های موفق در پیش‌بینی تک‌گام می باشند. سیستم‌های فازی به عنوان ابزاری قدرتمند در شناسایی و کشف روابط پیچیده‌ی حاکم بر سیستم‌های دینامیکی غیرخطی، کاربرد فراوانی در این حوزه یافته‌اند. لذا در روش دوم پیشنهادی با توجه به قابلیت مذکور سیستم فازی در مهار دینامیک غیرخطی، از ترکیب آن با روش نزدیکترین همسایه اصلاح شده به منظور انجام سریعتر پیش‌بینی استفاده شده است. در این روش ابتدا فضای فاز سری زمانی توسط پارامترهای بازسازی ساخته خواهد شد. در مرحله‌ی بعد ساختار سیستم فازی که عبارتند از مراکز گروههای عضویت و شکل گروههای عضویت و ... تعیین می‌شود. آموزش سیستم فازی در این مرحله شبیه روش‌های استاندارد گرادیان است. بدین ترتیب که بردار آموزش شامل نقاط جاذب به عنوان ورودی و نقاط بعدی (پیش‌بینی) به عنوان خروجی است. به ازای هر بردار ورودی- خروجی شبکه‌ی فازی به منظور یادگیری الگوی مورد نظر آموزش می‌بیند. یعنی مراکز گروههای عضویت به منظور یادگیری الگوی مورد نظر آنقدر تغییر داده می‌شوند تا خطای شناسایی از حد معینی که از پیش تعیین شده است، کمتر شود. سپس مراکز مذکور پس از تعیین نهایی در هر مرحله (به ازای هر الگو) در یک حافظه ذخیره خواهند شد. بدین ترتیب شبکه به ازای کل فضای بازسازی شده، آموزش دیده و وزن‌ها نیز در یک حافظه‌ی جانبی ذخیره می‌گردند. در فاز پیش‌بینی با ورود هر نقطه جدید، نقطه‌ای که نزدیکترین فاصله‌ی اقلیدسی به آن را دارد از فضای فاز بازسازی شده تعیین و ضرایب متناظر با آن نیز از

حافظه‌ی جانبی استخراج می‌شود. سپس با استفاده از ضرایب استخراجی و نقطه‌ی جدید ورودی، پیش‌بینی لحظه‌ی بعد توسط سیستم فازی انجام می‌شود. الگوریتم فوق به طور خلاصه به صورت زیر بیان می‌گردد. مرحله‌ی ۵ و ۶ ای ۹ به ترتیب فاز آموزش و آزمون می‌باشند.

- ۱- تعیین پارامترهای بازسازی و ساختن فضای فاز از روی سری زمانی
- ۲- تعیین ساختار سیستم فازی- عبارتند از مراکز گروههای عضویت و تعداد آن‌ها و همچنین تعداد ورودی‌ها و خروجی‌ها
- ۳- تعیین ماتریس آموزشی که متشکل از نقاط در فضای فاز بازسازی شده به عنوان ورودی و مقدار سری زمانی در گام بعدی در فضای اصلی به عنوان خروجی
- ۴- آموزش سیستم فازی به ازای تمام الگوهای مرحله‌ی چهارم به این ترتیب به هر الگو به- صورت مستقل از سایر الگوها نگریسته شود. به عبارت دیگر در شروع هر مرحله از آموزش وزن‌ها در ابتدا به صورت تصادفی توزیع و در نهایت طوری تنظیم شوند که تنها آن الگوی خاص را به خوبی یاد بگیرند.
- ۵- ذخیره‌سازی وزن‌ها به ازای هر مرحله از آموزش و تشکیل ماتریس وزن‌ها یا همان حافظه‌ی جانبی در فاز آزمون با ورود هر نقطه جدید
- ۶- نزدیکترین نقطه به آن نقطه از فضای آموزش (بخش ورودی ماتریس مرحله‌ی ۳) تعیین شود.
- ۷- وزن‌های متناظر همسایه‌ی یافته شده در مرحله‌ی ۶ پیدا شوند(وزن‌های متناظر از حافظه‌ی جانبی مرحله‌ی ۵ پیدا شوند).
- ۸- توسط وزن‌های استخراج شده در مرحله‌ی ۷ و ورودی جدید، پیش‌بینی توسط سیستم فازی انجام شود.
- ۹- اتمام عملیات و انتظار تا ورود نقطه‌ی جدید بعدی.  
سیستم فازی بکار رفته در شبیه سازی‌ها دارای موتور استنتاج ضرب، گروههای عضویت گوسی، غیرفازی ساز میانگین مراکز و فازی ساز منفرد است. همچنین به ازای هر ورودی ۴ گروه عضویت در نظر گرفته شده است که در مجموع تولید ۶۴ قانون فازی را می‌نمایند. ساختار کلی سیستم فازی و روابط بهنگام سازی مطابق با روابط ۱-۳ و ۲-۳ می‌باشد که بمنظور رعایت اختصار و خلاصه گویی از ذکر رابطه آن پرهیز شده است.  
روش پیشنهادی در پیش‌بینی سری‌های زمانی روسler و لورنز به کار گرفته شد. نتایج حاصل از شبیه سازی‌ها در شکل‌های ۳-۶ و ۳-۷ آمده است.



شکل ۶-۳ : پیش بینی تک گام سری زمانی لورنر توسط روش فازی حافظه دار- الف: سری زمانی اصلی و پیش بینی شده  
ب: خطای



شکل ۷-۳ : پیش بینی تک گام سری زمانی روسلر توسط روش فازی حافظه دار- الف: سری زمانی اصلی و پیش بینی شده ب: خطای

با توجه به اینکه آموزش سیستم در این حالت در حالت غیر برخط انجام شده و وزن های ذخیره شده در حافظه همراه نیز بعد از اتمام فاز آموزش، دیگر تغییر داده نمی شوند، لذا همانطور که انتظار می رفت روش فازی برخط نسبت به روش فازی حافظه دار نتایج بهتری را ارائه نموده است.

جدول ۲-۳ مقایسه خطای حاصل از پیش بینی سری زمانی لورنر میان روش فازی حافظه دار و سه روش مبتنی بر شبکه عصبی

Method	MSE	RMSE	NMSE
Memorized Fuzzy Method	2.87E-4	1.6E-2	1.10E-5
MLP-Gradient	1.3E-2	1.17E-1	4.91E-4
RBF[39]	1.13E-3	---	---
RBF-GA[40]	---	2.5E-2	---

شبیه سازی مشابهی روی داده های مشابه توسط روش پرسپترون چندلایه انجام شد که نتایج آن در جدول ۲-۳ ارائه شده است. همچنین بمنظور مقایسه بیشتر، روش پیشنهادی، با دو نمونه از روش-های ارائه شده در مقالات مقایسه گردید که نتایج آن نیز در جدول فوق آمده است. نتایج ارائه شده در جدول ۲-۳ بیانگر برتری روش فازی حافظه دار نسبت به دو روش دیگر است.

همانطور که از قبل انتظار می رفت نتایج ارائه شده در دو بخش گذشته گویایی برتری روش فازی برخط نسبت به روش فازی حافظه دار است. دلیل این امر را نیز می توان در انعطاف پذیری روش برخط نسبت به تغییرات ناگهانی و نایستایی سیگنال آشوبی دانست.

### ۳-۳-۱- پیش‌بینی بلند مدت :

پیش‌بینی بلند مدت و دقیق سری های زمانی آشوبی همواره به عنوان یک رویای دست نیافتانی از سوی دانشمندان و محققان مورد توجه قرار داشته است. تا کنون روش های گوناگونی برای پیش-بینی بلند مدت ارائه شده است که متسافانه تمامی روش‌های مذکور به دلایلی همچون: عدم همبستگی میان حالات آشوبناک(در صورت بازسازی غلط فضای فاز)، وابستگی شدید به نقطه‌ای که پیش‌بینی از آن نقطه انجام می شود، نبود روش‌های قطعی در تعیین دقیق بعد جاسازی و تاخیر زمانی و همچنین خاصیت نایستایی سیگنال‌های آشوبی با مشکل محدودیت افق پیش‌بینی مواجه بوده و نتوانسته‌اند به افق های پیش‌بینی بسیار بلندی دست پیدا کنند. در این میان روش-هایی نظیر نزدیکترین همسایه (همانندی)، تقریب خطی و روش‌های مبتنی بر شبکه‌های چند ورودی و چند خروجی به عنوان موفق ترین روش‌ها در این حوزه مطرح شده‌اند. از میان روش-های مذکور نیز روش تقریب خطی بیش از دو روش دیگر مورد توجه محققان قرار گرفته است. روش‌های نزدیکترین همسایه و شبکه‌های چند ورودی و چند خروجی نیز به دلیل وابستگی به تعداد نقط موجود در فضای فاز و نقطه‌ای پیش‌بینی از آن شروع می شود و حجم محاسبات در صورت افزایش افق پیش‌بینی با اقبال کمتری مواجه شده‌اند.

### ۳-۳-۲- روش نزدیکترین همسایه اصلاح شده :

همان‌طور که در فصل ۱ عنوان شد، ساده‌ترین روش در پیش‌بینی بلندمدت سری‌های زمانی در سال ۱۹۶۳ توسط لورنز پیشنهاد شد. روش مذکور بر مبنای خاصیت خودهمانندی یک رایانده‌ی آشوبی در فضای فاز پیشنهاد شده است. در سال ۱۹۹۳ کوستلیچ و لاتروب [۴۱] نشان دادند که روش مذکور در صورتی که بعد رایانده کوچک باشد و همچنین رایانده شامل تعداد زیادی نقطه باشد به خوبی عمل می‌کند. علاوه بر محدودیت‌های عنوان شده توسط کوستلیچ و لاتروب، وابستگی بسیار شدید به تعیین دقیق پارامترهای بازسازی و همچنین حساسیت شدید به نقطه‌ای که از آن پیش‌بینی آغاز می‌شود، را نیز می‌توان از دیگر محدودیت‌های روش همانندی (نزدیکترین

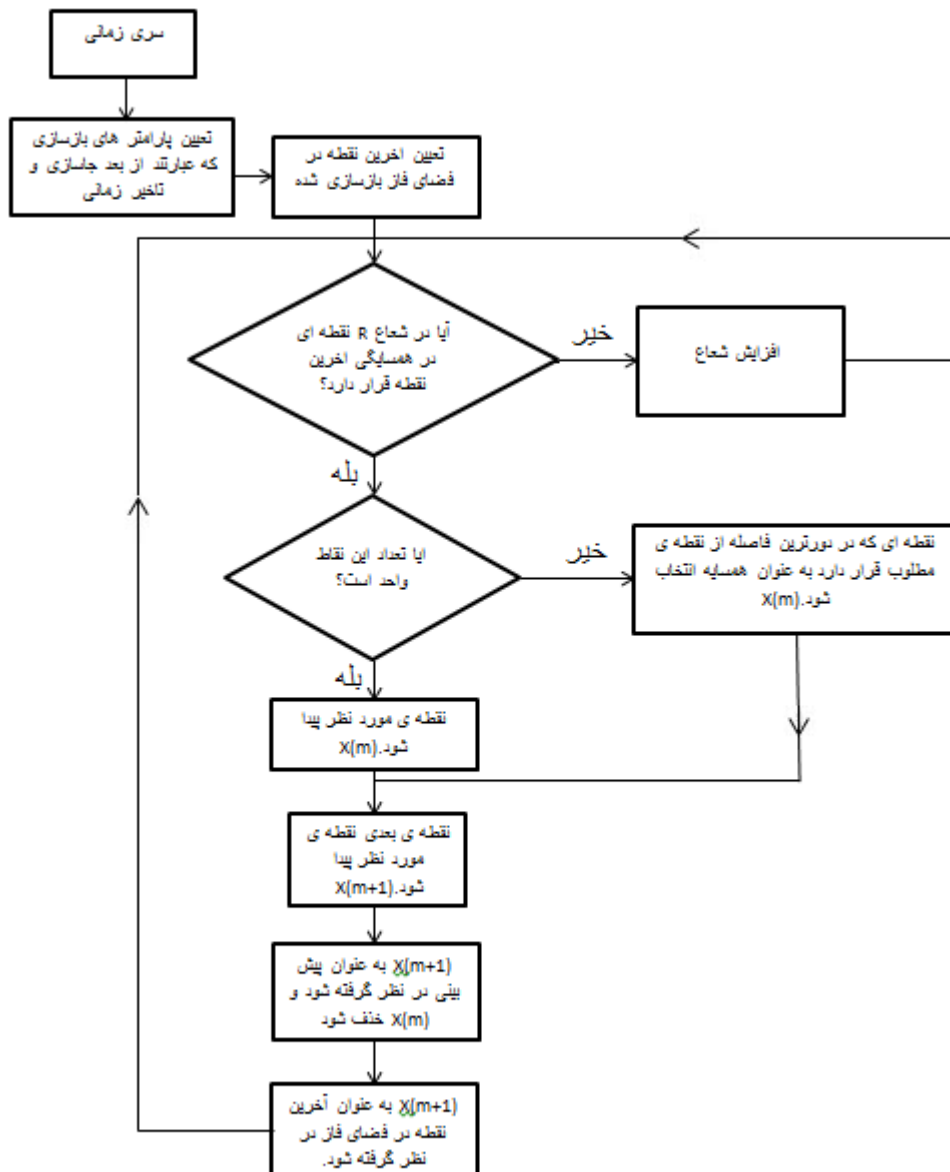
همسایه) دانست. با اندکی تغییرات در الگوریتم مذکور مشاهده می‌شود که نتایج حاصل از پیش-بینی‌ها به طور قابل ملاحظه‌ای بهبود پیدا می‌کند. لذا در این مرحله به اصلاح روش نزدیکترین همسایه تحت عنوان روش نزدیکترین همسایه‌ی اصلاح شده می‌پردازیم.

در این روش پس از تعیین آخرین نقطه در فضای فاز  $(N)x$ ، نزدیکترین همسایه به آن پیدا می‌شود  $(M+1)x$ . سپس نقطه‌ی بعد نزدیکترین همسایه،  $(M+2)x$ ، به عنوان نقطه‌ی جدید پیش‌بینی انتخاب می‌شود.

در مرحله‌ی بعد نقطه‌ی حاصل از پیش‌بینی مرحله‌ی قبل،  $(M+1)x$ ، به عنوان آخرین نقطه در فضای فاز در نظر گرفته شده و نزدیکترین نقطه به آن پیدا می‌شود،  $(k)x$ . سپس نقطه‌ی  $(K+1)x$  به عنوان پیش‌بینی در گام بعدی منظور می‌گردد و این روال به همین صورت ادامه می‌یابد.

جستجوی مرحله به مرحله برای یافتن نزدیکترین همسایه و انتخاب دورترین همسایه به عنوان برنده (نقطه‌ی بعدی پیش‌بینی)، در شرایط حضور چندین همسایه در شعاع همسایگی، عمدتاً تفاوت میان روش اصلاح شده و روش اصلی می‌باشد (در روش معمولی جستجو برای یافتن نزدیکترین همسایه تنها در گام اول انجام شده و دنباله‌ی نقاط بعد از آن به عنوان پیش‌بینی‌های بعدی در نظر گرفته می‌شود).

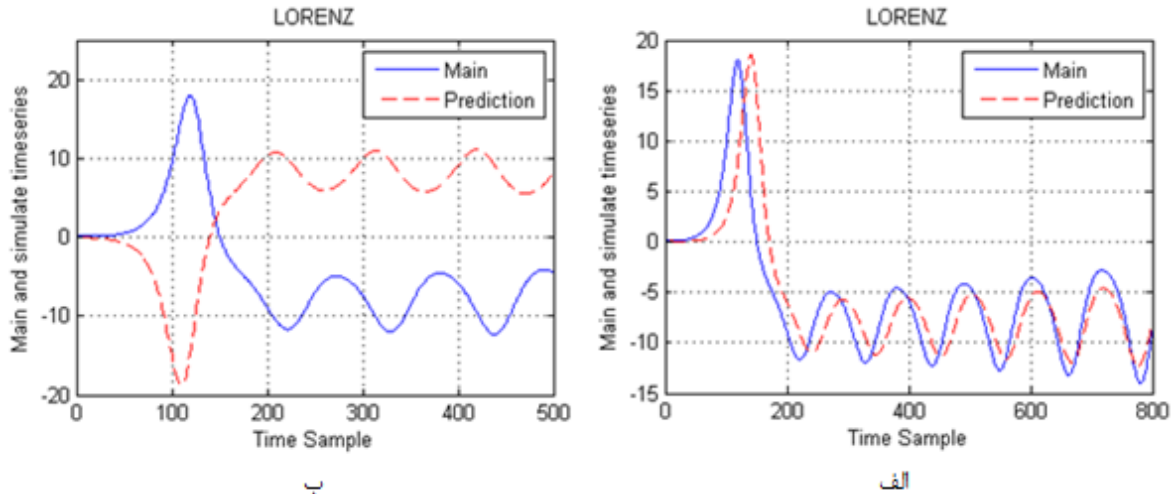
الگوریتم روش مذکور عبارت است از:



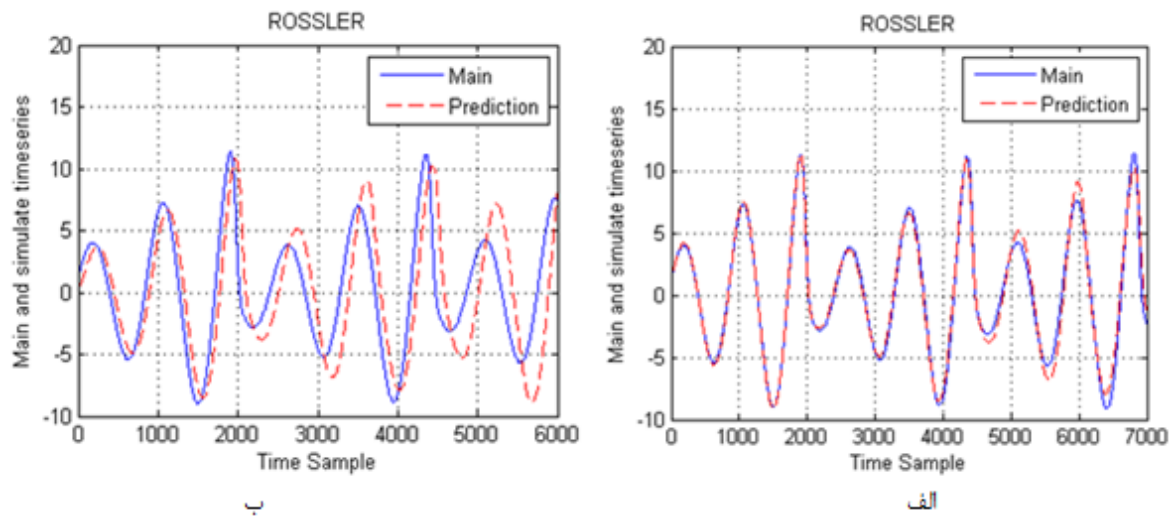
شکل ۸-۳ : الگوریتم روش نزدیکترین همسایه‌ی اصلاح شده

البته روش همانندی به علت وابستگی شدید به نقطه‌ای که پیش‌بینی از آن آغاز می‌شود چندان مؤثر نمی‌باشد. این عیب در روش اصلاح شده با افزودن قید جستجوی نزدیکترین نقطه در هر مرحله از پیش‌بینی، به طور مؤثر جبران شده است. همچنین نتایج حاصل از شبیه‌سازی‌ها حاکی از وابستگی کمتر روش اصلاح شده به تعیین دقیق پارامترهای بازسازی در مقایسه با روش تقریب خطی که در فصل دوم به آن اشاره شد و همچنین روش نزدیکترین همسایه‌ی متداول است.

لازم به ذکر است که در روش تقریب خطی، دینامیک غیرخطی، با نگاشت خطی تقریب زده می‌شود در حالی که در روش نزدیکترین همسایه‌ی اصلاح شده غیرخطی بودن سیستم به طور طیفی لحاظ می‌شود. نتایج پیش‌بینی توسط روش مذکور در ادامه آمده است.

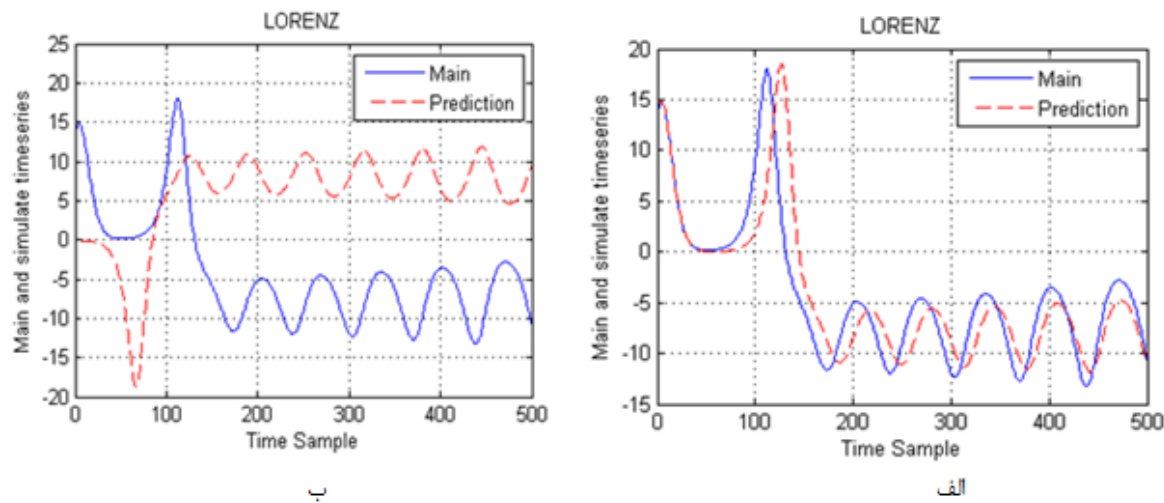


شکل ۹-۳ : پیش بینی بلند مدت سری زمانی لورنزو در شرایطی که تعداد نقاط جاذب بسیار کم انتخاب شده باشد. الف - پیش بینی سری به روش نزدیکترین همسایه اصلاح شده. ب- پیش بینی توسط روش استاندارد.

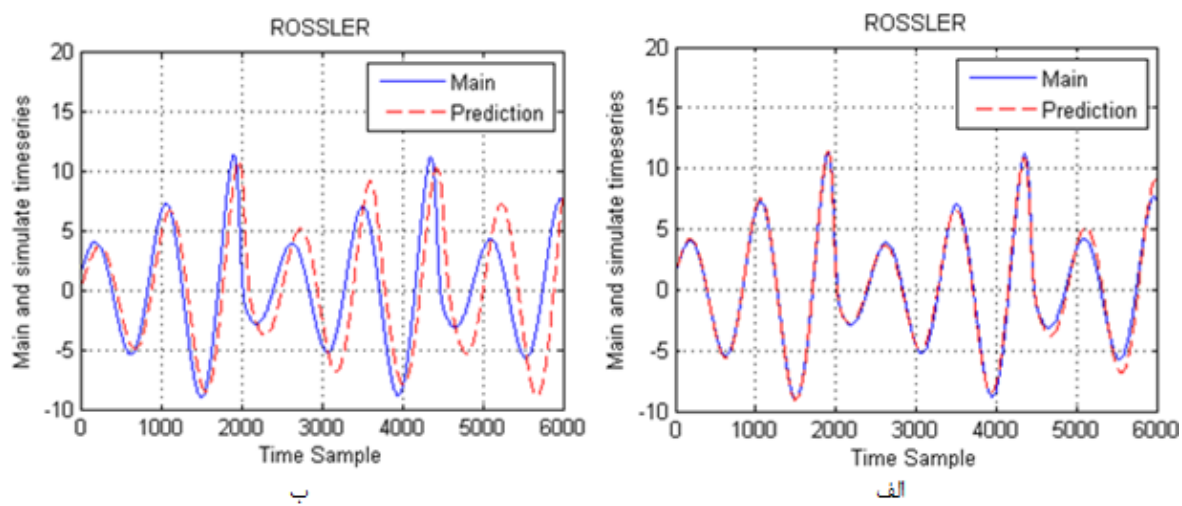


شکل ۱۰-۳ : پیش بینی بلند مدت سری زمانی روسلر در شرایطی که تعداد نقاط جاذب بسیار کم انتخاب شده باشد. الف - پیش بینی سری به روش نزدیکترین همسایه اصلاح شده. ب- پیش بینی توسط روش استاندارد.

همانطور که قبلاً نیز به آن اشاره شد حساسیت کمتر به تعداد نقاط جاذب و تعیین دقیق پارامتر های بازسازی را می توان دو نمونه از ویژگی های مهم این روش بر شمرد. ویژگی اول این روش در اشکال ۹-۳ و ۱۰-۳ نشان داده شد. در ادامه وابستگی کمتر روش مذکور را نسبت به تعیین دقیق پارامتر های بازسازی نشان داده خواهد شد. به منظور حصول به شرایط بازسازی غلظ فضای فاز، بعد جاسازی برای هر دو سری زمانی آشوبی روسلر و لورنزو به غلط برابر ۲ در نظر گرفته شده است.



شکل ۱۱-۳ : پیش بینی بلند مدت سری زمانی آشوبی لورنز در شرایط بازسازی غلط فضای فاز. الف- روش نزدیکترین همسایه اصلاح شده. ب- روش استاندارد.



شکل ۱۲-۳: پیش بینی بلند مدت سری زمانی آشوبی روسلر در شرایط بازسازی غلط فضای فاز. الف- روش نزدیکترین همسایه اصلاح شده. ب- روش استاندارد.

همانطور در شکل ۱۱-۳ و ۱۲-۳ مشاهده شد روش متداول در شرایط بازسازی غلط فضای فاز دچار اشتباہ شده و مسیری غیر از مسیر اصلی را پیش بینی خواهد نمود. بنابراین بعد از انجام آزمایشات متعدد، چنین به نظر می رسد که روش نزدیکترین همسایه ای اصلاح شده در مقایسه ای با روش نزدیکترین همسایه ای معمولی دارای توانایی بیشتری در مهار دینامیک غیرخطی حاکم بر معادلات آشوبی و انجام پیش بینی موفق، حتی در صورت تعیین غلط پارامتر های بازسازی، است.

### -۲-۳-۳ روش نزدیکترین همسایه اصلاح شده با کمک روش عصبی:

تحقیقات انجام شده در سال‌های اخیر، شبکه‌ی عصبی را به عنوان ابزاری قدرتمند در مدل‌سازی و پیش‌بینی سیستم‌های غیرخطی پیچیده مطرح کرده است. هر چند استفاده از ابزار شبکه‌ی عصبی در پیش‌بینی سری‌های زمانی مؤثر و کارا است، اما در پیش‌بینی بلند مدت، به تنها‌یی، قادر به پیش‌بینی و مدل‌سازی سری زمانی نمی‌باشد. یکی از مهم‌ترین دلایل این عدم موفقیت، همان‌طور که در مورد سیستم فازی نیز عنوان گردید، افزایش خطأ در هر مرحله از انجام پیش‌بینی است. بعبارت دیگر اگر پیش‌بینی انجام شده توسط شبکه‌ی عصبی به سیستم فیدبک شده و ملاک انجام پیش‌بینی در لحظه‌ی بعد قرار گیرد (یعنی سیستم بصورت وابسته به خود عمل کرده و مستقل از سیستم اصلی باشد)، خطای پیش‌بینی در هر گام افزایش پیدا می‌کند بطوریکه بعد از چند گام خروجی شبکه رفتاری کاملاً متفاوت از خروجی سیستم اصلی را از خود نشان می‌دهد. لذا استفاده از ایده‌ی ترکیب روش نزدیکترین همسایه‌ی اصلاح شده و شبکه‌ی عصبی، نسبت به استفاده‌ی تنها از روش‌های عصبی و فازی منطقی‌تر به نظر می‌رسد.

مشخصات شبکه عصبی بکار رفته در این بخش عبارتند از: پرسپترون چند لایه با ۱۵ نرون در لایه مخفی، سه ورودی و یک خروجی، توابع  $tansig$  در لایه مخفی و تابع  $purelin$  در لایه‌ی خروجی، الگوریتم آموزش لونیرگ-مارکوارد [۴۲]، و تعداد تکرار ۱۵۰۰ برای آموزش هر الگو. رابطه بهنگام سازی پارامترها نیز در روابط ۳-۳ الی ۶-۳ آمده است.

$$w_{K+1} = w_K - (J_K^T J_K - \mu I)^{-1} J_K \quad (3-3)$$

$$J_K = \begin{bmatrix} \frac{\partial e_{11}}{\partial w_1} & \frac{\partial e_{11}}{\partial w_2} & \frac{\partial e_{11}}{\partial w_N} \\ \frac{\partial e_{12}}{\partial w_1} & \frac{\partial e_{12}}{\partial w_2} & \frac{\partial e_{12}}{\partial w_N} \\ \vdots & \vdots & \vdots \\ \frac{\partial e_{1M}}{\partial w_1} & \frac{\partial e_{1M}}{\partial w_2} & \frac{\partial e_{1M}}{\partial w_N} \\ \vdots & \vdots & \vdots \\ \frac{\partial e_{P1}}{\partial w_1} & \frac{\partial e_{P1}}{\partial w_2} & \frac{\partial e_{P1}}{\partial w_N} \\ \frac{\partial e_{P2}}{\partial w_1} & \frac{\partial e_{P2}}{\partial w_2} & \frac{\partial e_{P2}}{\partial w_N} \\ \vdots & \vdots & \vdots \\ \frac{\partial e_{PM}}{\partial w_1} & \frac{\partial e_{PM}}{\partial w_2} & \frac{\partial e_{PM}}{\partial w_N} \end{bmatrix} \quad (4-3)$$

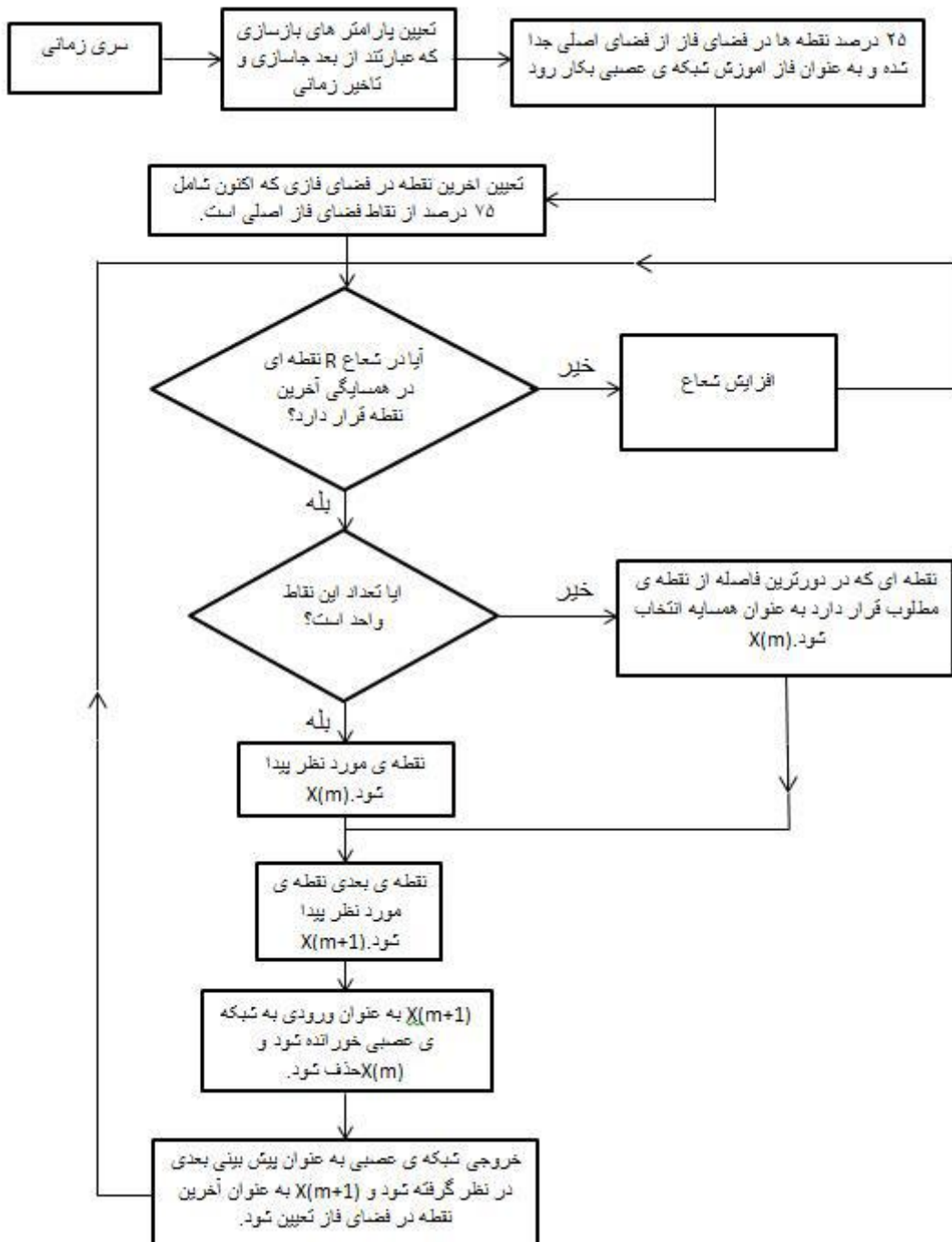
$$e_K = \begin{bmatrix} e_{11} \\ e_{12} \\ \vdots \\ e_{1M} \\ \vdots \\ e_{P1} \\ e_{P2} \\ \vdots \\ e_{PM} \end{bmatrix} \quad (\Delta-۳)$$

$$e_{PM} = d_{PM} - O_{PM} \quad (\varepsilon-۳)$$

حروف و اندیس‌ها در روابط فوق عبارتند از :

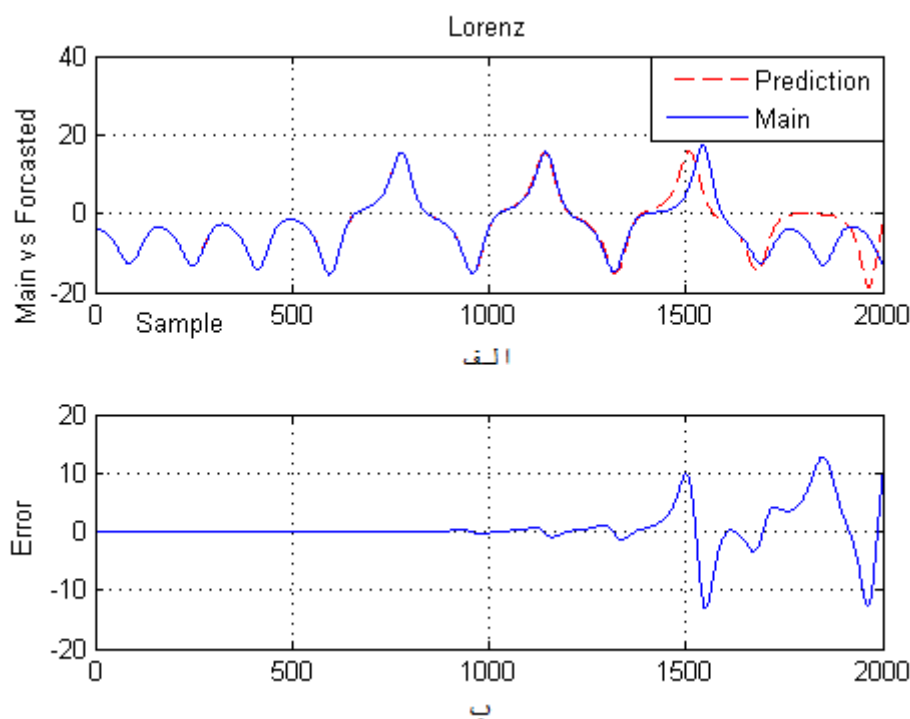
$P$	شماره الگو
$M$	تعداد خروجی ها
$K$	تعداد تکرار های آموزش
$N$	تعداد وزن‌ها
$\mu$	یک عدد بسیار کوچک و نزدیک صفر
$I$	ماتریس همانی
$d_{PM}$	خروجی مطلوب
$O_{PM}$	خروجی شبکه
$e_{PM}$	خطای آموزش نسبت به خروجی $M$ هنگامی که الگوی $P$ استفاده می‌شود.
$J_K$	ماتریس ژاکوبین

الگوریتم روش پیشنهادی به صورت زیر است:

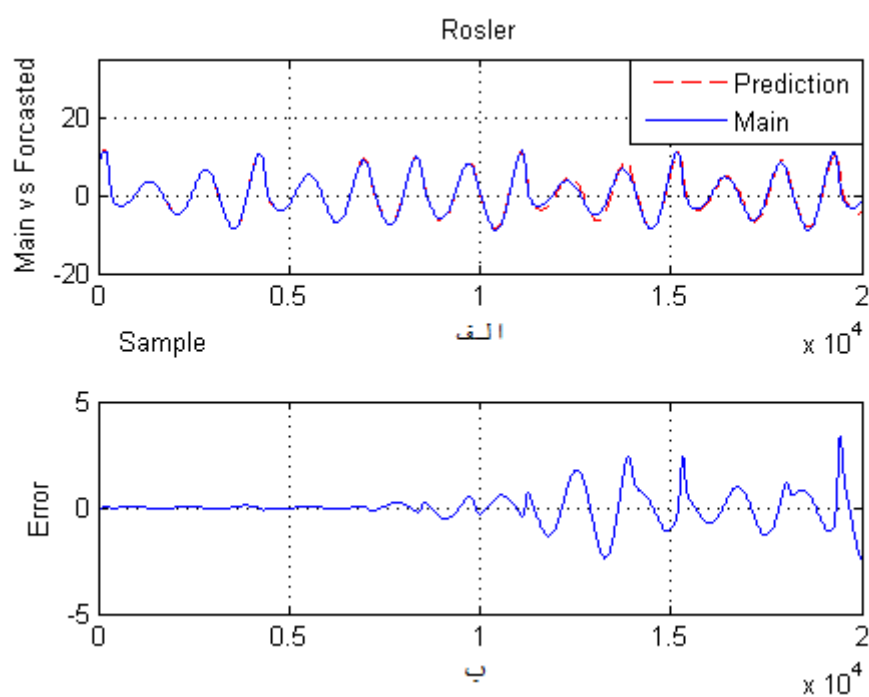


شکل ۱۳-۳: الگوریتم روش نزدیکترین همسایه و روش عصبی

نتایج حاصل از شبیه‌سازی‌ها:



شکل ۱۴-۳: پیش بینی بلند مدت سری زمانی آشوبی لورنزو توسط روش نزدیکترین همسایه ای اصلاح شده به همراه شبکه‌ی عصبی-الف: سری زمانی اصلی و پیش بینی شده ب: خطا



شکل ۱۵-۳: پیش بینی بلند مدت سری زمانی آشوبی روسلر که توسط روش نزدیکترین همسایه ای اصلاح شده به همراه روش شبکه‌ی عصبی-الف: سری زمانی اصلی و پیش بینی شده ب: خطا

نتایج حاصل از شبیه سازی ها نشان دهنده توانایی روش پیشنهادی در مدل سازی دینامیک مولد سری زمانی آشوبی است.

جدول ۳-۳ مقایسه میان خطای پیش‌بینی بلند مدت (۷۰۰ نقطه) سری زمانی روسler توسط دو روش تقریب خطی و نزدیکترین همسایه اصلاح شده به کمک شبکه عصبی

Method	MSE	RMSE	NMSE
Proposed method	.02	.15	1E-3
Linear Approximation	12.7	3.56	6.6E-1

یکی از مهمترین مزیت‌های روش پیش‌بینی استفاده از دو روش توانمند بازسازی فضای فاز و شبکه‌ی عصبی بمنظور مدلسازی غیرخطی حرکت سیستم می‌باشد در حالیکه در روش تقریب خطی عملکرد آینده‌ی سیستم با توجه به نحوی حرکت همسایه‌های مجاور، بصورت خطی تقریب زده شده است. استفاده از تکنیک بازسازی فضای فاز و همچنین عملکرد غیرخطی شبکه‌ی عصبی، مدل غیرخطی بهتر و کامل تری از سیستم مولد سری زمانی پیش‌بینی کند. نتایج ارائه شده در جدول ۳-۳ نیز موید برتری روش پیش‌بینی نسبت به روش تقریب خطی می‌باشد. شبیه سازی مشابهی همانند شبیه سازی فوق بر روی سری زمانی لورنز نیز انجام گرفت که نتایج آن نیز موید این ادعا است. لذا بنابر خلاصه گویی از ارائه‌ی نتایج آن خودداری نموده و فقط به ارائه‌ی نتایج پیش‌بینی روسler اکتفا نمودیم.

### - ۳-۳-۳ - روش تقریب غیرخطی

یکی از روش‌های ارایه شده در فصل اول تقریب خطی نام داشت که عمل تقریب یکتابع غیرخطی را توسط یکتابع خطی به‌طور محلی در فضای فاز بازسازی شده انجام می‌داد. در برخی از مراجع مثال‌هایی عنوان شده‌است که روش مذکور حتی در مقابل ساده‌ترین روش پیش‌بینی بلند مدت، یعنی روش نزدیکترین همسایه که لورنز در سال ۱۹۶۳ ارائه نمود، عملکرد ضعیفتری دارد [۴]. شاید یکی از مهمترین دلایل این عدم موفقیت را بتوان در ایده‌ی اصلی این روش یعنی، تقریب یکتابع غیرخطی موضعی توسط یکتابع خطی موضعی، دانست. لذا یک روش بهتر قرار دادن یکتابع غیرخطی به جای تابع خطی در الگوریتم فوق است. روال فوق به‌طور خلاصه در قالب مراحل زیر عنوان می‌شود:

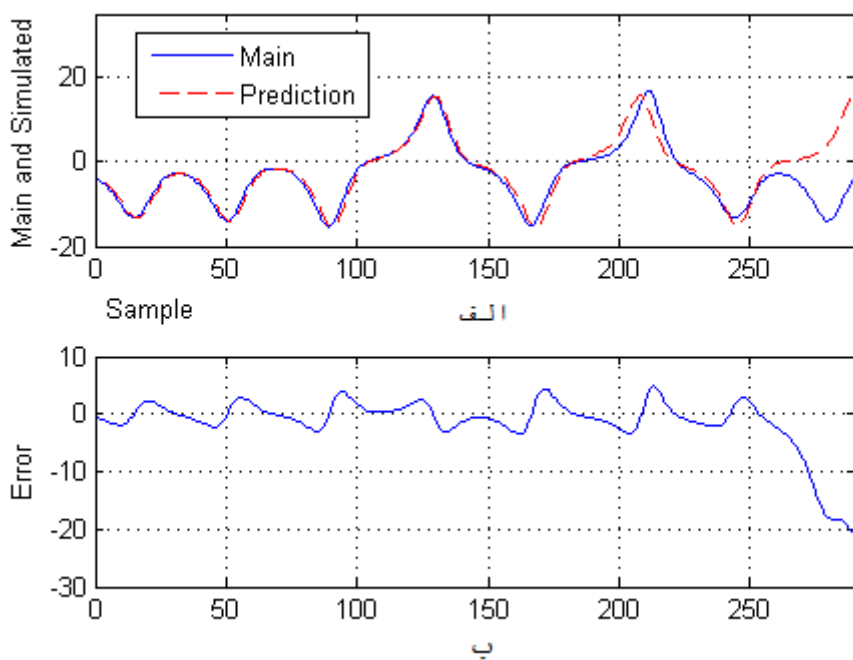
۱- تعیین پارامترهای بازسازی سری زمانی و همچنین بازسازی فضای فاز

۲- تعیین آخرین نقطه در فضای فاز

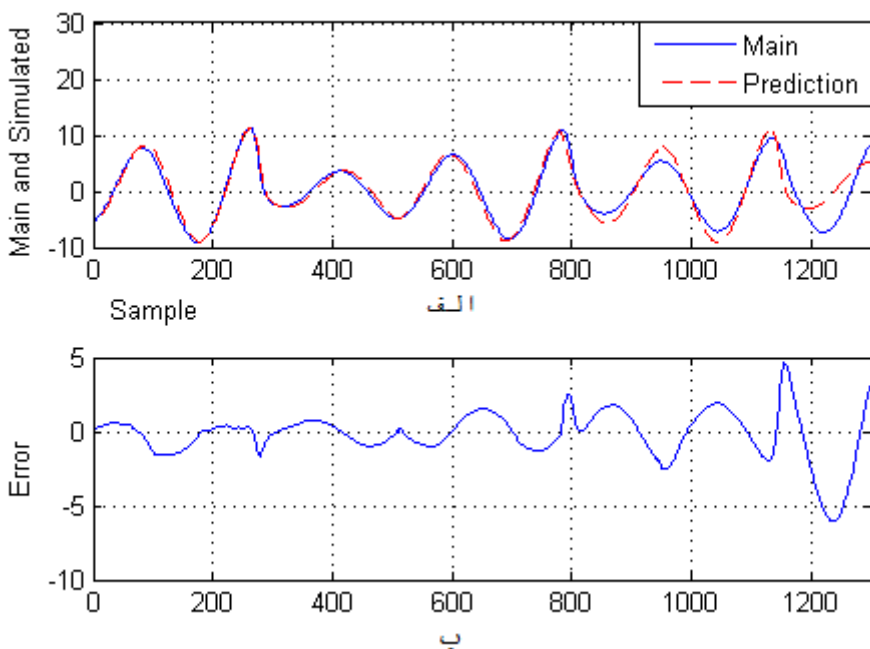
- ۳- تعیین ۲ همسایگی نزدیک آخرین نقطه  $x(m)$
- ۴- تعیین نقاط بعدی ۲ همسایگی مرحله‌ی ۳  $x(m+1)$
- ۵- آموزش این نقاط به شبکه‌ی عصبی، بردار ورودی متشکل از  $x(m)$  ها به عنوان ورودی و  $x(m+1)$  ها به عنوان خروجی
- ۶- با استفاده از آخرین نقطه و شبکه‌ی عصبی آموزش دیده در مرحله‌ی ۵، نقطه‌ی بعدی پیش‌بینی شود.
- ۷- قرار دادن نقطه‌ی جدید به عنوان آخرین نقطه در فضای فاز
- ۸- بازگشت به مرحله‌ی ۲

مشخصات شبکه عصبی بکار رفته عبارتند از : پرسپترون چند لایه با ۹ نرون در لایه مخفی، سه روردی و سه خروجی، توابع purelin در لایه مخفی و تابع purelin در لایه خروجی ، الگوریتم آموزش لونیرگ- مارکوارد ، و تعداد تکرار ۱۱۰ برای آموزش هر الگو در هر مرحله . روابط بکار رفته به منظور بهنگام سازی پارامترها همانند روابط ۳-۳ و ۶-۳ بوده که بنا بر خلاصه گویی از ذکر مجدد آنها پرهیز شده است.

الگوریتم ارائه شده برای پیش‌بینی سری زمانی روسسلر و لورنز بکار گرفته شد که نتایج آن در شکل های ۱۶-۳ و ۱۷-۳ آورده شده است.



شکل ۱۶-۳: پیش‌بینی بلند مدت سری زمانی آشوبی روسسلر به روش تقریب غیرخطی- الف: سری زمانی اصلی و پیش‌بینی شده ب: خطای



شکل ۴-۳: پیش‌بینی بلند مدت سری زمانی آشوبی روسler به روش تقریب غیرخطی- الف: سری زمانی اصلی و پیش‌بینی شده ب: خطای پیش‌بینی

جدول ۴-۳ مقایسه میان خطای پیش‌بینی بلند مدت (۷۰۰ نقطه) سری زمانی روسler توسط دو روش تقریب خطی و تقریب غیرخطی

Method	MSE	RMSE	NMSE
Nonlinear Approximation	.84	.92	3.13E-2
Linear Approximation	12.7	3.56	6.6E-1

مهمترین مزیت روش پیشنهادی نسبت به روش تقریب خطی استفاده از شبکه‌ی عصبی به منظور ارائه‌ی مدل غیرخطی از حرکت لحظه‌ی بعد سیستم است. در حالیکه در روش تقریب خطی عملکرد آینده‌ی سیستم با توجه به نحوی حرکت همسایه‌های مجاور بصورت خطی تقریب زده می‌شود حال آنکه سیستم مولد سری زمانی ذاتا یک سیستم غیرخطی است. بعبارت دیگر روش تقریب غیرخطی با ارائه‌ی یک مدل غیرخطی محلی، منجر به انجام پیش‌بینی بهتر و دقیق تری نسبت به روش تقریب خطی می‌شود. نتایج ارائه شده در جدول ۴-۳ نیز موید برتری روش پیشنهادی نسبت به روش تقریب خطی می‌باشد. همچنین شبیه سازی مشابهی بر روی سری زمانی لورنز انجام گرفت که نتایج آن نیز موید این ادعا است. لذا بنابر خلاصه‌گویی از ارائه‌ی نتایج آن خودداری نموده و فقط به ارائه‌ی نتایج پیش‌بینی روسler اکتفا نمودیم.

### -۴-۳-۳ روش نزدیکترین همسایه اصلاح شده با کمک تبدیل موجک

همان طور که در فصل اول بیان شد، یکی از ویژگی های سری های زمانی آشوبی ، داشتن طیف فرکانسی گستره و شبیه نویز است. لذا استفاده از روش های مبتنی بر تحلیل فرکانسی در مورد چنین سیستم هایی محکوم به شکست می باشد. بنابراین استفاده از ایده ای تبدیل موجک که مبتنی بر ویژگی های زمان - فرکانسی است، معقول تر به نظر می رسد. لازم به ذکر است که از تبدیل موجک تاکنون برای پیش بینی کوتاه مدت استفاده می شده است که البته نتایج حاصل از آن نیز چندان رضایت بخش نبوده است. لذا در این قسمت برآن شدیم که با استفاده از ترکیب روش نزدیکترین همسایه و تبدیل موجک، به پیش بینی بلند مدت سری زمانی آشوبی بپردازیم. روال کار بدین شرح است:

در ابتدا از سری زمانی مورد بررسی تبدیل موجک گرفته و ضرایب را به دست می آوریم. عمل بازسازی فضای فاز را برای ضرایب به دست آمده انجام داده و توسط روش نزدیکترین همسایه اصلاح شده به پیش بینی ضرایب موجک در فضای فاز بازسازی شده خواهیم پرداخت. سپس ضرایب پیش بینی شده به ضرایب اصلی اضافه شده و از کل<sup>۱</sup> ضرایب (شامل پیش بینی شده و ضرایب اوّلیه) عکس تبدیل موجک گرفته خواهد شد. از آن جا که طول ماتریس ضرایب افزایش پیدا کرده است بدیهی است که با عکس تبدیل موجک گرفتن از ضرایب جدید، به افق های زمانی طولانی تری نسبت به سری زمانی اوّلیه دست خواهیم یافت.

لازم به ذکر است که برای انجام شبیه سازی های این بخش از جعبه ابزار<sup>۲</sup> موجک برنامه متلب<sup>۳</sup> استفاده شده است. بمنظور نشان دادن توانایی روش پیشنهادی، مدل موجک بکار گرفته شده در این تحقیق از نوع موجک هار<sup>۴</sup> انتخاب شده که ساده ترین مدل موجک می باشد.

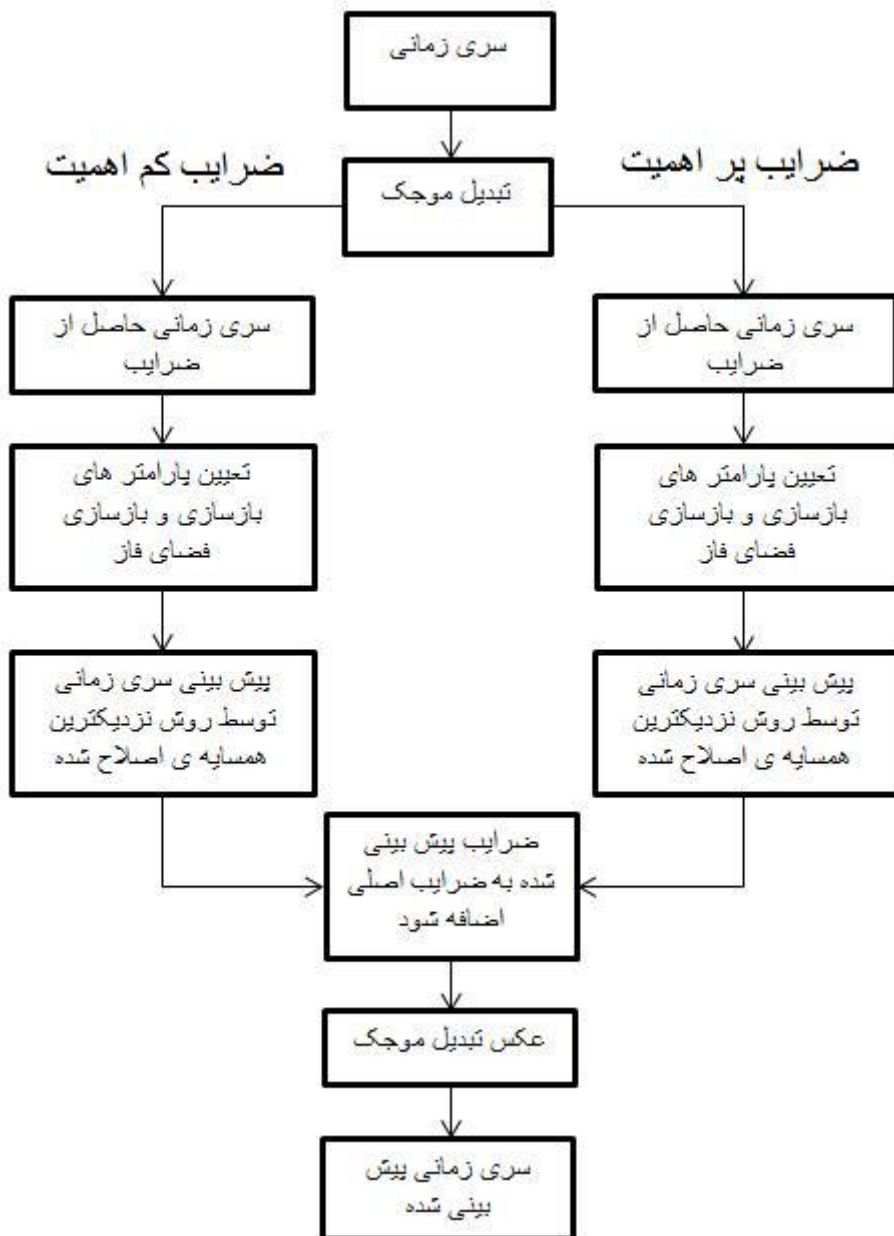
الگوریتم روش پیشنهادی در شکل زیر نشان داده شده است.

---

<sup>1</sup> Toolbox

<sup>2</sup> Matlab 2010 a

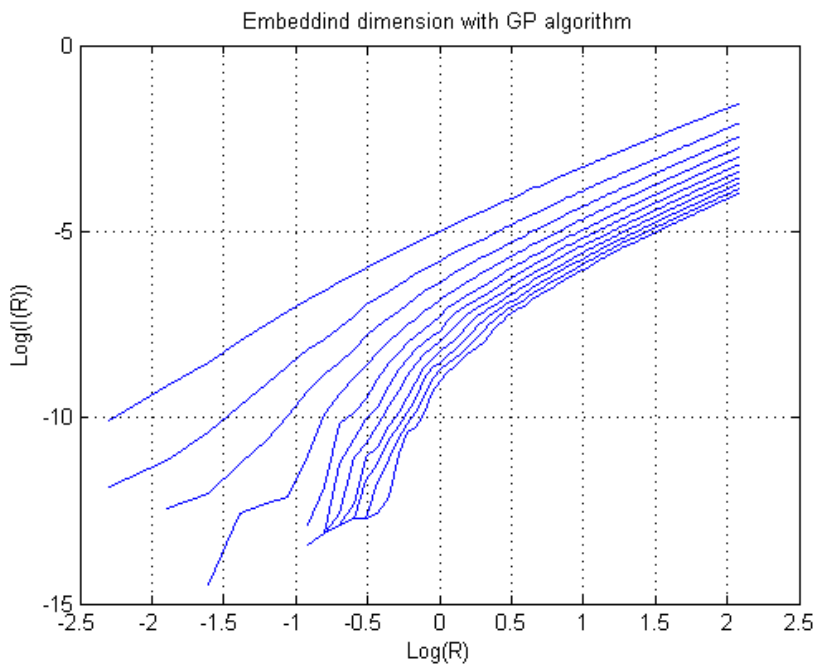
<sup>3</sup> Haar



شکل ۱۸-۳: الگوریتم روش نزدیکترین همسایه اصلاح شده به کمک تبدیل موجک

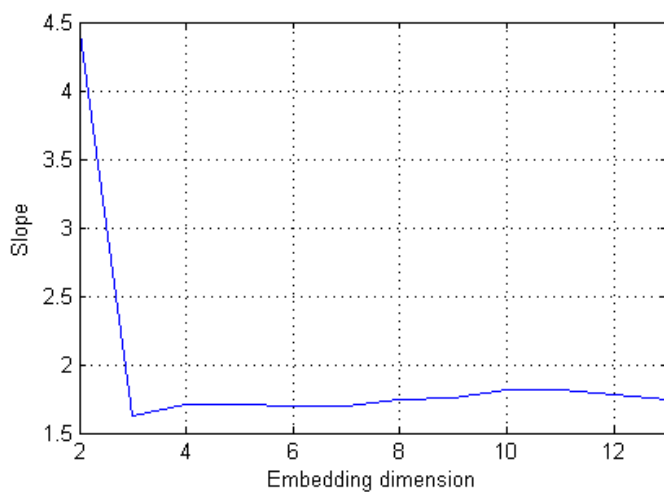
از آنجا که تعیین بعد جاسازی ضرایب ناشی از تبدیل موجک و بازسازی صحیح آن نقش اساسی را در انجام پیش‌بینی مطلوب دارد، لذا روال تعیین بعد جاسازی را که بر اساس الگوریتم گرسبرگر و پروکاسیا<sup>۱</sup> برای سری زمانی ناشی از ضرایب موجک سیستم لورنز انجام شده است به عنوان نمونه آورده شده است.

<sup>۱</sup> به فصل اول مراجعه شود



شکل ۱۹-۳: محاسبه‌ی بعد ناشی از ضرایب موجک سری زمانی لورنز توسط الگوریتم گرسبرگ و پروکاسیا

در شکل فوق نمودار تغییرات لگاریتمی بعد همبستگی بر اساس تغییرات شعاع همسایگی نشان داده شده است که از آن برای تعیین بعد جاسازی، برای بازسازی فضای فاز استفاده می‌شود. نمودار تغییرات شیب بخش انتهایی شکل ۲۰-۳، بمنظور تعیین بعد جاسازی در شکل زیر نشان داده شده است.



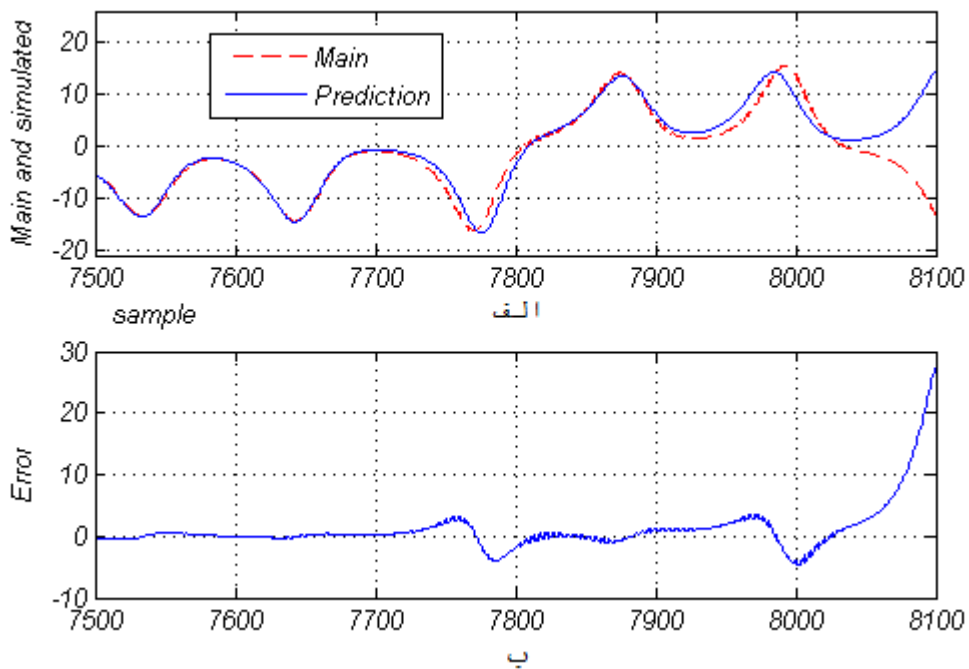
شکل ۲۰-۳: نمودار تغییرات شیب شکل ۱۹-۳ نسبت به تغییرات بعد جاسازی

همانطور که در شکل ۲۰-۳ مشاهده می‌شود، با توجه به اینکه از بعد ۴ به بعد تغییرات نمودار بسیار کم می‌شود، لذا می‌توان بعد جاسازی مطلوب را برابر ۴ در نظر گرفت. مقدار تاخیر زمانی و بعد جاسازی برای سری‌های زمانی آشوبی روسler و لورنز در جدول زیر آمده است.

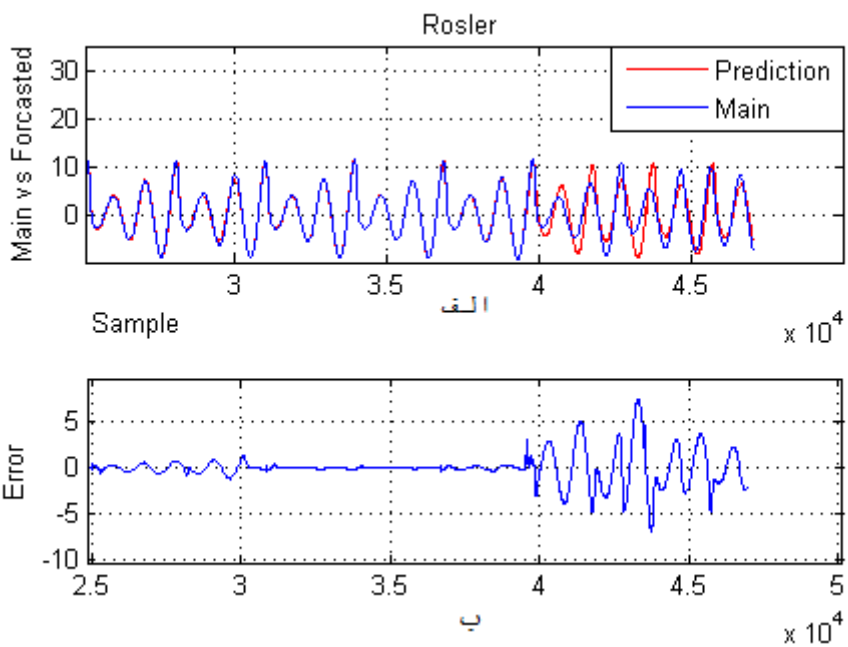
جدول ۵-۳: مقدار بعد جاسازی و تاخیر زمانی محاسبه شده برای سری زمانی ناشی از ضرایب موجک

Time Series	Lorenz		Rossler	
	ضرایب کم اهمیت	ضرایب پر اهمیت	ضرایب کم اهمیت	ضرایب پر اهمیت
	بعد جاسازی	3	4	3
تاخیر زمانی	7	8	6	6

نتایج پیش‌بینی سری زمانی لورنزو و روسلر توسط روش پیشنهادی :



شکل ۲۱-۳: پیش‌بینی بلند مدت سری زمانی آشوبی لورنزو که توسط روش نزدیکترین همسایه اصلاح شده به کمک تبدیل موجک-الف: سری زمانی اصلی و پیش‌بینی شده ب: خطا



شکل ۲۲-۳: پیش‌بینی بلند مدت سری زمانی آشوبی روسler که توسط روش نزدیکترین همسایه روش نزدیکترین همسایه اصلاح شده به کمک تبدیل موجک-الف: سری زمانی اصلی و پیش‌بینی شده ب: خطا

جدول ۶-۳ مقایسه میان خطای پیش‌بینی بلند مدت سری زمانی روسler توسط دو روش تقریب خطی و نزدیکترین همسایه اصلاح شده به کمک تبدیل موجک

Method	MSE	RMSE	NMSE
Wavelet & Modified Nearest Neighbor	.17	.41	7.5E-3
Linear Approximation	12.7	3.56	6.6E-1

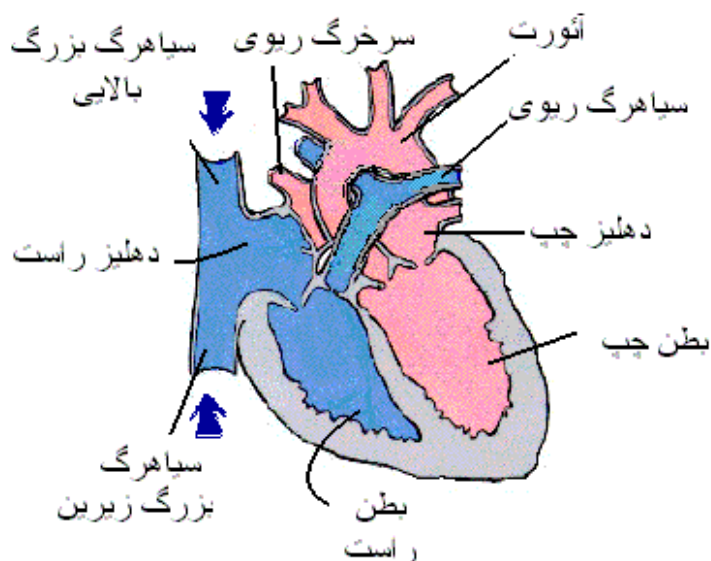
پیش‌بینی سری زمانی آشوبی لورن و روسler توسط روش نزدیکترین همسایه اصلاح شده به کمک تبدیل موجک انجام شد که نتایج حاصل از آن در شکل‌های ۲۱-۳ و ۲۲-۳ نشان داده شد. همچنین به منظور ارزیابی بیشتر، نتایج حاصل از پیش‌بینی، با روش تقریب خطی مقایسه گردید که نتایج آن در جدول ۶-۳ ارائه شده است. نتایج حاصل از پیش‌بینی‌های مکرر انجام شده و نتایج ارائه شده در این تحقیق، بیانگر توانایی روش نزدیکترین همسایه اصلاح شده به کمک تبدیل موجک، نسبت به سایر به روش تقریب خطی و نزدیکترین همسایه است. البته به دلیل آنکه در سری زمانی حاصل از ضرایب موجک، ویژگی‌های آشوبی مشاهده شده لذا این احتمال نیز وجود دارد که با انتخاب بهتر پارامترهای بازسازی برای سری زمانی حاصل از ضرایب موجک و یا و یا تغییر مدل موجک، افق و دقت پیش‌بینی بهبود یابد.

# فصل ٤ - تفکیک آریتمی و پیش‌بینی سری زمانی قلب

## فصل ۴ - تفکیک آریتمی و پیش‌بینی سری زمانی قلب

### ۱-۴ - قلب

قلب که در شکل ۱-۴ نشان داده شده است در واقع دو پمپ جداگانه محسوب می‌شود. یک قلب راست که خون را بداخل ریه‌ها پمپ می‌کند و دیگری قلب چپ که خون را در اندام‌های محیطی می‌فرستد. هریک از این دو قلب نیز بنوبه‌ی خود یک پمپ دو محفظه‌ای ضربان دار متشكل از یک دهلیز و یک بطن دارند. دهلیز عمدتاً به عنوان منبع ذخیره‌ی خون و به عنوان یک مجرای ورودی برای بطن عمل می‌کند. همچنین دهلیزها پمپاژ ضعیفی برای کمک به حرکت خون داخل بطن‌ها دارند. بطن به نوبه خود تامین کننده‌ی عمدۀ‌ی نیرو برای جلو راندن خون در گردش محیطی است.



شکل ۱-۴ : ساختار قلب

### ۲-۴ - مروری بر الکتروفیزیولوژی قلب

#### ۱-۲-۴ - جریانات الکتریکی قلب

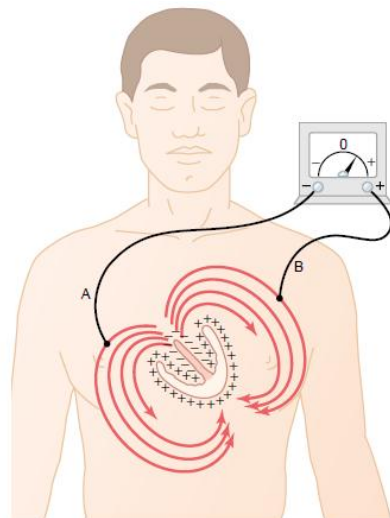
انقباض تمام ماهیچه‌های بدن در اثر یک تغییر الکتریکی به نام دپولاریزاسیون<sup>۱</sup> ایجاد می‌شود. اگر الکترودهایی را بر روی سطح پوست بچسبانیم، این جریانات قبل دریافت هستند. قلب نیز یک ماهیچه است؛ پس از این قانون مستثنی نمی‌باشد. جریانات الکتریکی قلب، به شرط شل بودن سایر ماهیچه‌های بدن، توسط دستگاه الکتروکاردیوگرافی<sup>۲</sup> قابل دریافت و ثبت هستند.

<sup>1</sup> Depolarization

<sup>2</sup> Electrocardiogram

#### ۲-۲-۴ انتشار جریان های الکتریکی در اطراف قلب

شکل زیر توده‌ی عضله‌ی بطنی را در داخل سینه نشان می‌دهد. ایمپالس‌های قلبی در بطن‌ها ابتدا به جدار بین دو بطن و اندکی بعد به سطوح آندوکارڈی<sup>۱</sup> باقیمانده بطن‌ها می‌رسد. این موضوع سبب پیدایش بارهای منفی در داخل بطن‌ها و بارهای مثبت بر روی جدار خارجی بطنها می‌شود و الکتریسیته همانطور که در شکل نشان داده شده است در طول مسیرهای بیضی شکل در مایعات احاطه کننده بطنها جریان می‌یابد. حتی ریه‌ها که بطور عمده از هوا پر شده‌اند، الکتریسیته را تا حدود زیادی هدایت می‌کند و مایعات سایر بافت‌های قلب، الکتریسته را با سهولت بیشتری هدایت می‌کنند. از این رو قلب عملاً در یک محیط هادی آویخته شده است. هنگامی که قسمتی از بطن‌ها نسبت به باقی مانده آنها دپولاریزه می‌شوند، جریان الکتریکی در مسیرهای مداری بزرگ از ناحیه‌ی دپولاریزه به ناحیه‌ی غیر دپولاریزه انتشار می‌یابد.



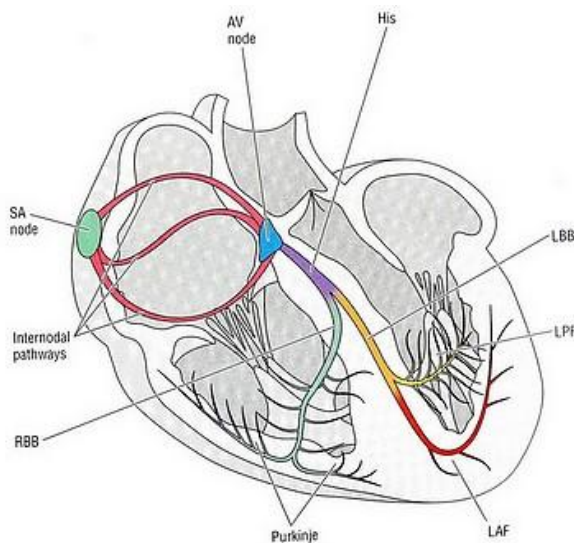
شکل ۲-۴ : انتشار جریان الکتریکی در قلب و قفسه سینه

#### ۳-۲-۴ سیستم تولید و انتقال ایمپالیس در داخل قلب

جرقهی هر چرخه‌ی قلبی در نقطه‌ای از دهلیز راست قلب به نام گره سینوسی-دهلیزی<sup>۲</sup> زده می‌شود. جریان الکتریکی تولید شده، سبب دپولاریزاسیون سلول‌های قلب می‌گردد. دپولاریزاسیون انقباض سلول‌ها را به دنبال دارد. جریان الکتریکی از طریق مسیرهای هدایتی در نقاط مختلف قلب توزیع می‌شوند. این مسیرها را در شکل زیر نشان داده شده است.

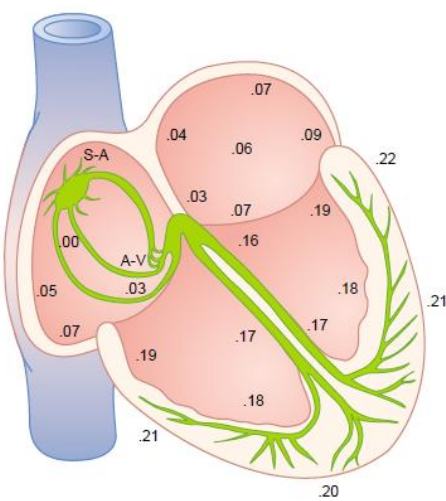
<sup>1</sup> Endocardium

<sup>2</sup> senatorial node



شکل ۳-۴ : سیستم انتقال پالس الکتریکی در عضله قلب

جريان الکتریکی پس از خروج از گره سینوسی- دهليزی توسط مسیرهای بین گره‌های<sup>۱</sup> در دو دهليز راست و چپ توزيع می‌شوند. سپس جريان برای عبور از دهليزها و رسیدن به مناطق پایین‌تر (بطن‌ها) می‌بايست از ساختاری به نام گره دهليزی- بطئی<sup>۲</sup> عبور کند. جريان الکتریکی در اين نقطه مقداری توقف می‌کند و سپس وارد شاهراهی به نام شاخه هیس<sup>۳</sup> می‌شود. در ادامه اين شاهراه به دو مسیر به نام‌های شاخه‌های دسته‌ای راست و چپ<sup>۴</sup> تقسيم می‌شود که جريان را در بطنهای راست و چپ توزيع می‌کنند. مسیرها، نهايیاً به الياfhای بسيار باريکی به نام الياf پورکينژ<sup>۵</sup> می‌رسند که اين الياf امواج الکتریکی را به سلول‌های ميوکارد منتقل می‌کنند. شکل زير الگوي زمانی را برای اين انتقال نشان می‌دهد که در آن، اعداد نشان داده شده در روی شکل بر حسب صدم ثانیه می‌باشند.



شکل ۴-۴ : تاخیر زمانی انتقالی ايمپالس در عضله قلب بر حسب صدم ثانیه

<sup>1</sup> Internodal pathway

<sup>2</sup> AV node

<sup>3</sup> bundle of His

<sup>4</sup> Left bundle branch and right bundle branch

<sup>5</sup> Purkinje fibers

#### ۴-۲-۴ اختلال در تولید ایمپالس در قلب

هر کدام از قسمت‌های نام برد شده در قسمت ۳-۲-۳، علاوه بر توانایی انتقال جریانات الکتریکی، خود نیز توانایی تولید ایمپالس‌های الکتریکی دارند. اما سرعت تولید ضربان در قسمت‌های مختلف این سیستم متفاوت است. سرعت‌های ذاتی تولید ایمپالس در بخش‌های مختلف سیستم هدایتی قلب به شرح زیر است:

جدول ۱-۴ سرعت تولید ضربان در بخش‌های مختلف بر حسب ضربان بر دقیقه

۶۰-۱۰۰	گره سینوسی
۶۰-۸۰	سلول‌های دهلیزی
۴۰-۶۰	پیوندگاه
۲۰-۴۰	سلول‌های بطني

بر اساس یک خصوصیت فیزیولوژیک، هر کدام از این قسمت‌ها که با سرعت بیشتری ضربان تولید کند، سایر کانون‌ها را تحت کنترل خود درآورده و اجازه‌ی فعالیت به سایر مراکز ضربان‌سازی را نمی‌دهد. به این خاصیت سرکوب سرعتی<sup>۱</sup> گفته می‌شود. به این ترتیب در حالت عادی گره سینوسی پیس‌میکر<sup>۲</sup> طبیعی قلب می‌باشد و در صورت ایجاد اشکال در این گره، به ترتیب سلول‌های دهلیزی، سلول‌های پیوندگاه و سلول‌های بطئی مراکز پشتیبانی بعدی را تشکیل داده که منجر به بروز آریتمی‌ها می‌گردد. همانطور که در ادامه خواهید دید، گاهی اوقات شروع جرقه‌ی الکتریکی از نقطه‌ی ایجاد آریتمی غیر از گره SA اتفاق می‌افتد. واژه ریتم عموماً برای توصیف منطقه‌ی ضربان ساز قلب استفاده می‌شود. از آنجا که ریتم طبیعی قلب از گره سینوسی منشاء می‌گیرد، ریتم نرمال سینوسی نامیده می‌شود.

#### ۳-۴ الکتروکاردیوگرافی

#### ۱-۳-۴ معرفی

ECG مخفف واژه‌ی ECG است. این لغت در بعضی کشورها Electrocardiogram نامیده می‌شود. الکتروکاردیوگراف دستگاهی است که جریانات الکتریکی قلب را از طریق الکترودهایی که روی مناطق مختلف پوست بدن قرار داده می‌شوند دریافت کرده و آن‌ها را به شکل یک نمودار ترسیم می‌کند. این نمودار الکتروکاردیوگرام نامیده می‌شود. الکتروکاردیوگرام از سال ۱۹۰۱ تا کنون به عنوان مهمترین ابزار تشخیصی پزشکی باقی مانده و تشخیص بسیاری از بیماری‌های قلبی را آسان کرده است.

<sup>1</sup> overdrive suppression

<sup>2</sup> Pacemaker

الکتروکاردیوگرام برای تشخیص بسیاری از اختلالات قلبی از قبیل ریتم‌های غیر طبیعی قلب، گرفتگی رگ‌های کرونر<sup>۱</sup>، سکته‌های قلبی، هیپرتروفی<sup>۲</sup> عضلات قلب، علل تنگی نفس، اختلالات الکتروولیتی، اثرات داروها و ... کاربرد دارد.

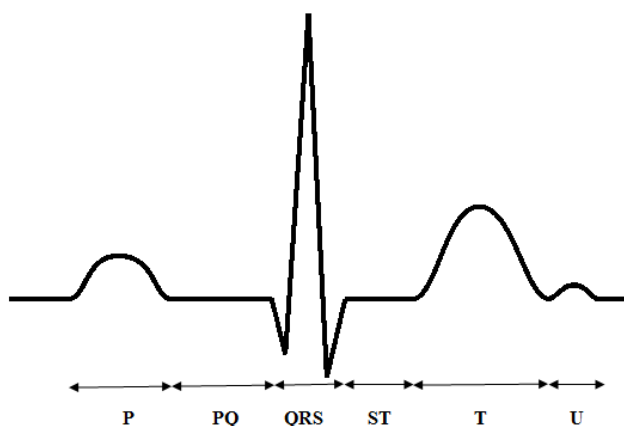
### ۴-۳-۴ - شکل ECG و نام‌گذاری اجزای آن

الکتروکاردیوگرام یک فرد سالم به شکل زیر بر روی کاغذ الکتروکاردیوگرام نقش می‌بندد:



شکل ۵-۴ : شکل ECG نرمال

هر کدام از اجزای مشاهده شده بر روی شکل زیر، نشان دهنده‌ی بخشی از فعالیت الکتریکی سلول‌های قلب می‌باشد. این اجزا به صورت قراردادی نام‌گذاری شده‌اند و در تمام دنیا به همین نام‌ها معروف خوانده می‌شوند.



شکل ۶-۴ : شکل ECG به همراه نام‌گذاری اجزای آن

**موج P:** عبور جریان الکتریکی از دهلیزها، اولین موج ECG را ایجاد می‌کند. این موج P نامدارد. موج P در حالت طبیعی گرد، صاف و قرینه بوده و نشان دهنده‌ی دپولاریزاسیون دهلیزهاست.

**فاصله‌ی PR:** از ابتدای موج P تا شروع کمپلکس QRS به این نام خوانده می‌شود. این فاصله نشان دهنده‌ی زمان سپری شده برای رسیدن موج دپولاریزاسیون از دهلیزها به بطن‌ها است. قسمت عمده‌ی این فاصله به علت وقفه‌ی ایمپالس در گرهی AV شکل می‌گیرد.

**کمپلکس QRS:** از مجموع سه موج تشکیل شده است و مجموعاً نشان دهنده‌ی دپولاریزاسیون بطن‌ها است. اولین موج منفی بعد از P، موج Q نام دارد. اولین موج مثبت بعد از Q را موج R، و اولین موج

<sup>1</sup> Coronary Artery

<sup>2</sup> Hypertrophy

منفی بعد از S را R می‌نامند. چون هر سه موج ممکن است با هم دیده نشوند، مجموع این سه موج را با هم یک کمپلکس QRS می‌نامند.

قطعه‌ی ST: از انتهای کمپلکس QRS تا ابتدای موج T را قطعه‌ی ST نام‌گذاری کرده‌اند. این قطعه نشان‌دهنده‌ی مراحل ابتدایی رپولاریزاسیون بطن‌ها است.

موج T: موجی گرد و مثبت می‌باشد که بعد از QRS ظاهر می‌شود. این موج نشان دهنده‌ی مراحل انتهایی رپولاریزاسیون بطن‌ها است.

فاصله‌ی QT: از ابتدای کمپلکس QRS تا انتهای موج P می‌باشد و نشان دهنده‌ی زمان لازم برای مجموع فعالیت بطن‌ها در طی یک چرخه قلبی است.

موج U: موجی گرد و کوچک می‌باشد که بعد از T ظاهر می‌شود. این موج همیشه دیده نمی‌شود. همچنین با توجه به مطالب گفته شده هر گونه انحراف از خط ایزوالکتریک<sup>۱</sup> را یک موج می‌نامند. بخشی از خط ایزوالکتریک که بین دو موج قرار می‌گیرد، قطعه<sup>۲</sup> و به مجموع یک قطعه و حداقل یک موج فاصله<sup>۳</sup> گفته می‌شود.

#### ۴-۴- آریتمی

آریتمی<sup>۴</sup>، ضربان نامنظم قلبی است که بدلیل بیماریهای مختلف قلب رخ داده و یکی از شایع ترین علل مرگ و میر در جهان بشمار می‌رود. آریتمی‌ها در بیشتر موارد فاقد هرگونه علامتی و اغلب بشکل یک مکث موقت بوده که تعداد کلی ضربان قلب را تحت تاثیر قرار می‌دهند.

#### ۱-۴- چند نمونه از آریتمی‌ها

در این تحقیق آریتمی‌های بررسی شده عبارتند از : بلوک شاخه‌ای راست(RBBB<sup>۵</sup>) که در آن ابتدا بطن چپ از طریق شاخه چپ ، دپولاریزه می‌شود ، سپس بطن راست با تأخیر نسبت به بطن چپ دپولاریزه می‌شود. از آن جا که شاخه راست ایمپالس را هدایت نمی‌کند ، پس ایمپالس از طریق الیاف میوکارد بطن چپ به الیاف میوکارد بطن راست می‌رسد و در نتیجه بطن راست با تأخیر و از طریق غیر شاخه‌ای دپولاریزه می‌شود. بلوک شاخه‌ای چپ<sup>۶</sup>(LBBB) که در آن بطن چپ به طور غیر مستقیم و از طریق میوفیبریل‌های بطن راست دپولاریزه می‌شود. انقباض زودرس بطنی(PVC<sup>۷</sup>) که بیشتر در حالت های بوجود می‌آید که بیماری‌هایی، تحریک ناپذیری سلول‌های بطنی را فزایش دهند. پس ریتم(PB<sup>۸</sup>) در این بی‌نظمی، دیگر گره سینوسی ضربان‌ساز غالب قلب نیست، بلکه چند کانون که با سرعت‌های

<sup>1</sup> Isoelectric

<sup>2</sup> Segment

<sup>3</sup> Interval

<sup>4</sup> Arrhythmia

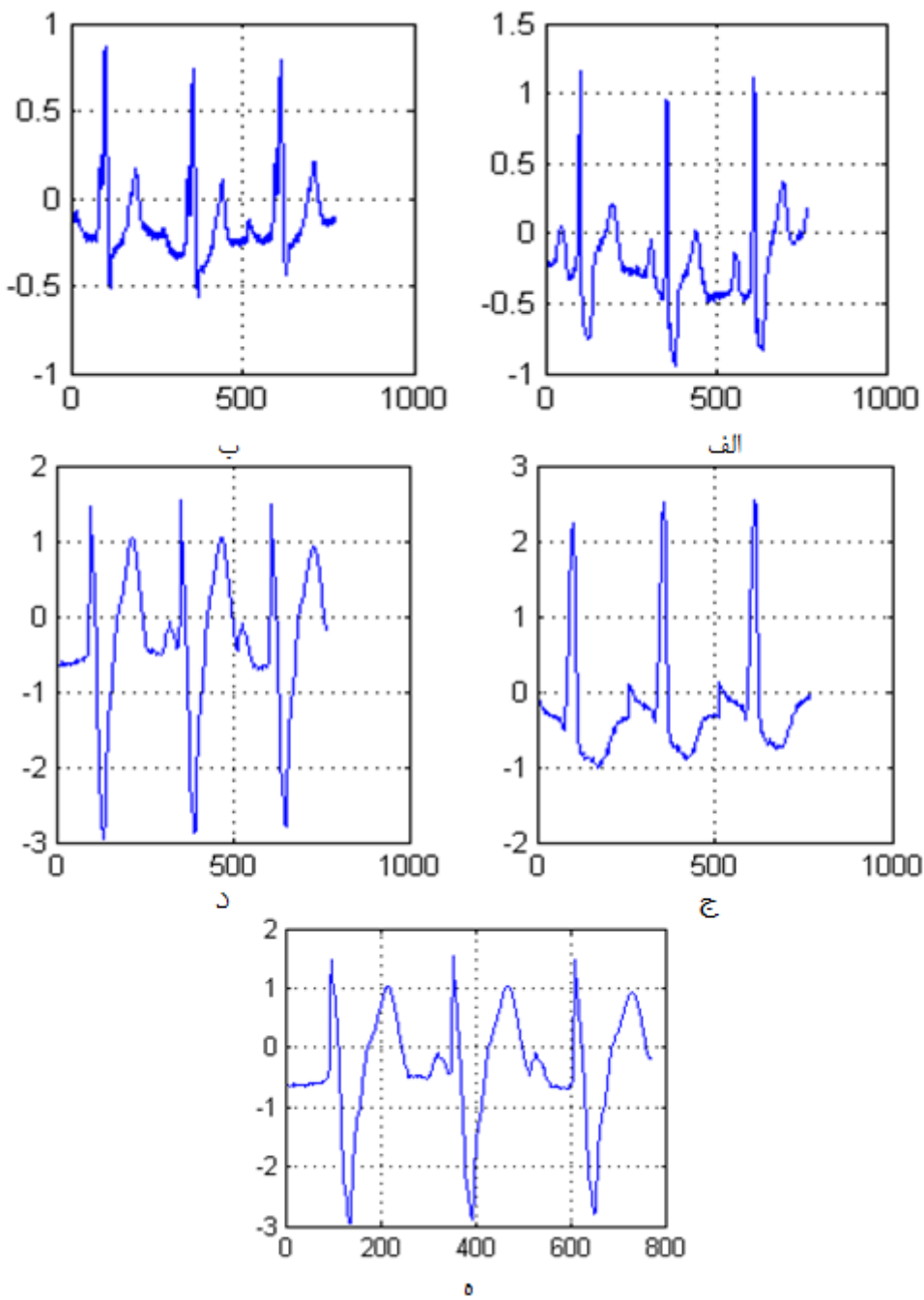
<sup>5</sup> Right Bandel Branch Block

<sup>6</sup> Left Bandel Branch Block

<sup>7</sup> Premature Ventricular Contraction

<sup>8</sup>

متفاوتی ضربان تولید می‌کنند. هر کدام از این کانون‌ها که زودتر ایمپالس خود را تولید کند، باعث سرکوب شدن لحظه‌ای سایر کانون‌ها می‌شود.

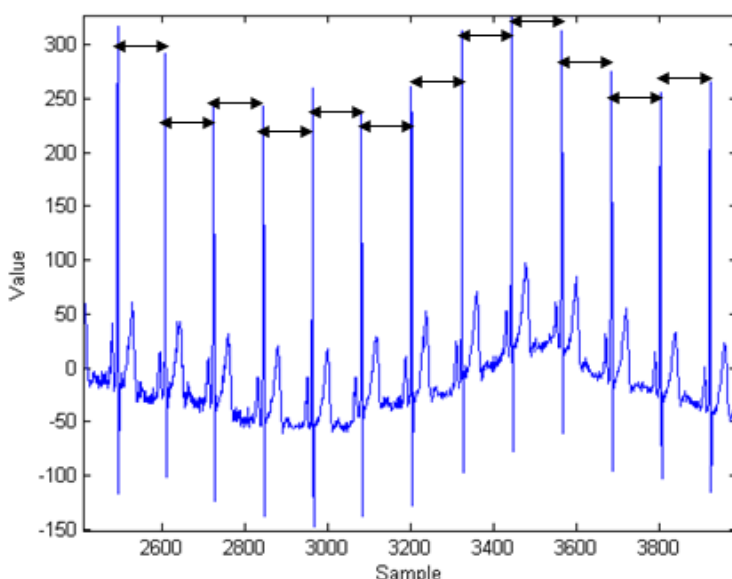


شکل ۷-۴: یک نمونه از الکترکاردیوگرافی آریتمی‌های بررسی شده در این تحقیق. الف – بلوک شاخه‌ای راست. ب- بلوک شاخه‌ای چپ. ج- ضربان زودرس بطئی. د- پس ریتم. ه- ضربان سینوسی نرمال

#### ۴-۵- پیش‌بینی سری‌های زمانی زیستی

در این بخش به منظور ازربیابی و اعتبارسنجی روش‌های مذکور در پیش‌بینی سری‌های زمانی، از آنها برای پیش‌بینی سری‌های زمانی زیستی قلب و  $^1\text{HRV}$  استفاده می‌شود. در برخی از مراجع سری‌های مذکور را جز سری‌های آشوبی دسته بندی نموده‌اند [۴۳ و ۴۴].

لازم به ذکر است که  $\text{HRV}$  به فاصله‌ی میان حداکثر قله‌های سیگنال قلب (Q) اطلاق می‌شود که منبع مفیدی برای تشخیص بسیاری از بیماری‌های قلبی بشمار می‌رود. سری زمانی قلب یک انسان و همچنین فاصله‌ی R-R ها ( $\text{HRV}$ ) در شکل زیر با فلش‌های دوطرفه نشان داده شده است.



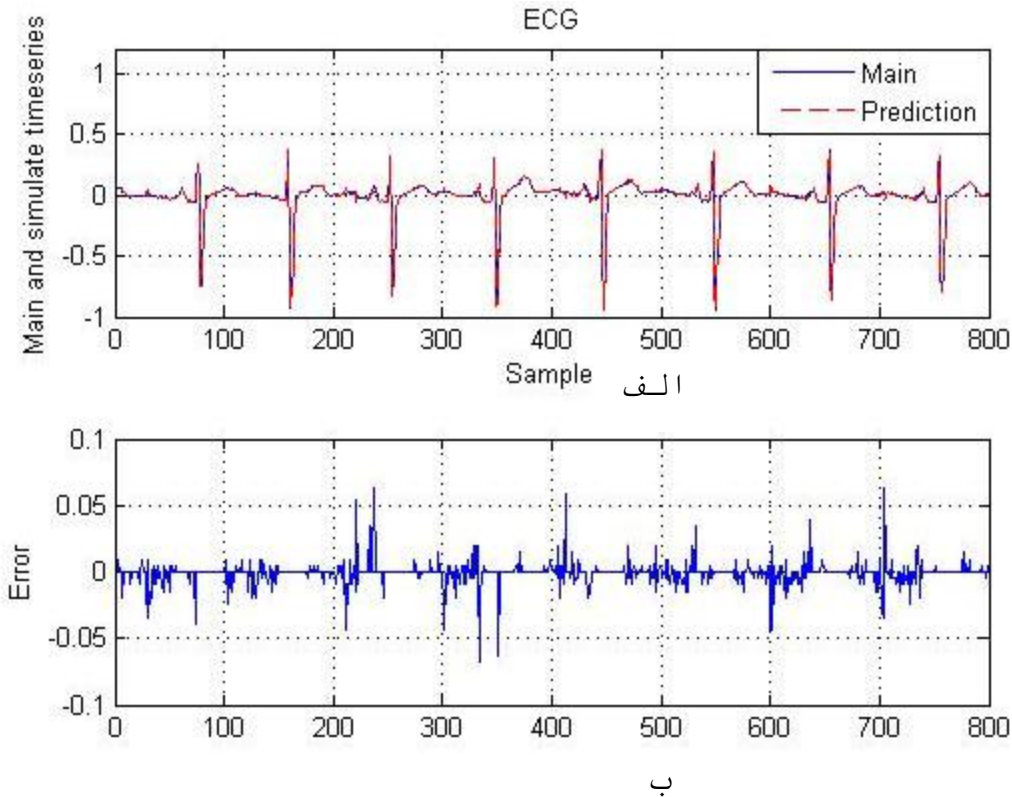
شکل ۴-۸: سری زمانی ناشی از قلب یک انسان که در آن فاصله‌ی R-R نشان داده شده است.

طبق روال فصل‌های گذشته، پیش‌بینی‌ها به دو بخش کلی پیش‌بینی کوتاه مدت و بلندمدت تقسیم بندی شده‌اند. در پیش‌بینی کوتاه مدت از دو روش فازی که در فصل قبل به آن اشاره شد استفاده می‌شود. در پیش‌بینی بلند مدت نیز از روش‌های مبتنی بر موجک، نزدیکترین همسایه‌ی اصلاح شده و نزدیکترین همسایه اصلاح شده به کمک شبکه‌ی عصبی استفاده شده است. از آنجا که در تمامی روش‌های مطرح شده در این پایان نامه از روش گسترش به فضای فاز استفاده شده است لذا در ابتدا نیاز است که عمل بازسازی فضای فاز با تعیین پارامتر‌های بازسازی صورت پذیرد [۴۳ و ۴۴].

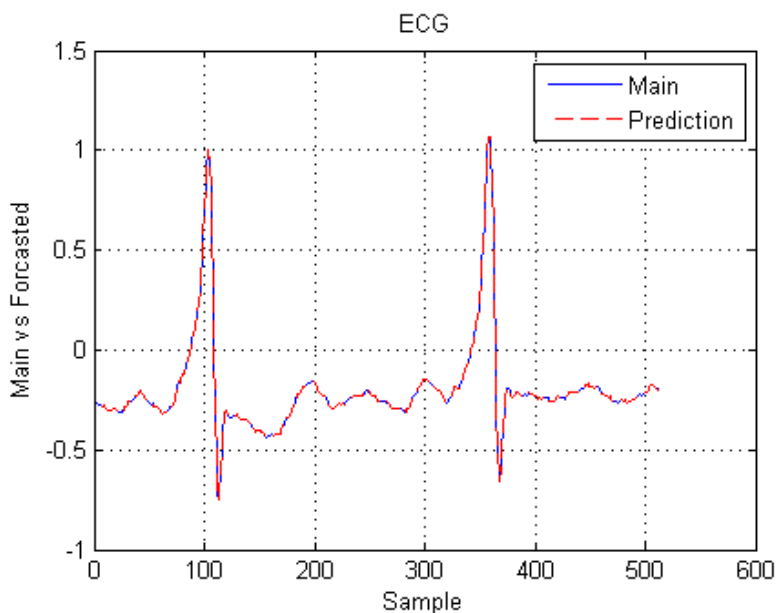
<sup>1</sup> Heart Rate Variability

### پیش‌بینی کوتاه مدت سری زمانی ECG

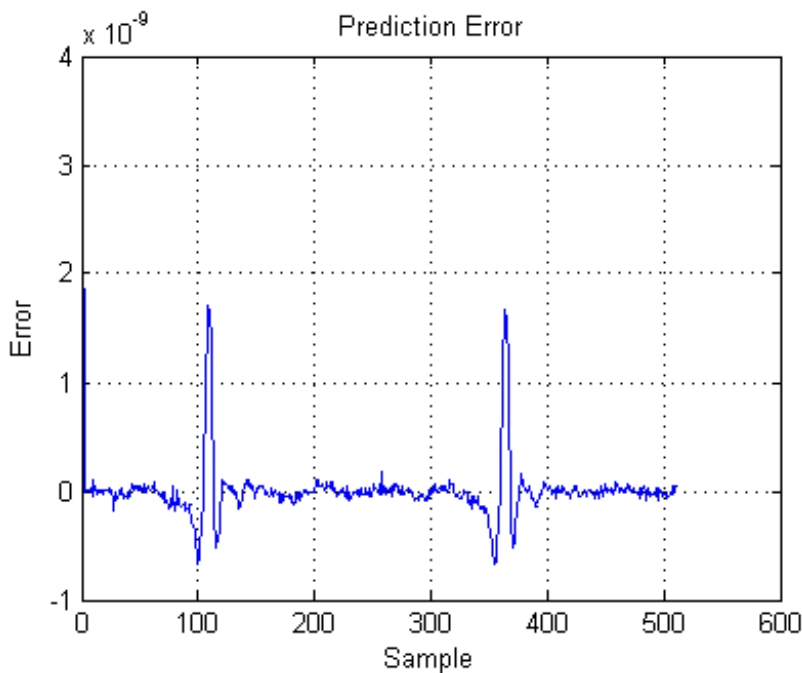
-۱-۵-۴



شکل ۹-۴ : پیش‌بینی تک گام سری زمانی قلب توسط روش فازی حافظه دار- الف: سری زمانی اصلی و پیش‌بینی شده  
ب: خطا



شکل ۱۰-۴: پیش‌بینی تک گام سری زمانی قلب توسط روش فازی برخط



شکل ۱۱-۴: خطای حاصل از پیش‌بینی تک گام سری زمانی قلب توسط روش فازی برخط

شکل های فوق نشان دهنده‌ی پیش‌بینی بسیار خوب توسط روش فازی برخط و همچنین پیش‌بینی خوب توسط روش فازی حافظه دار است. از آنجا پیش‌بینی سری زمانی توسط روش‌های فازی به خوبی انجام شده و نتایج حاصل از پیش‌بینی تک گام به خوبی بر سری زمانی اصلی منطبق شده‌اند، لذا بمنظور ارزیابی بیشتر نمودار خطای حاصل از پیش‌بینی نیز برای هر دو روش آورده شده است. مقایسه‌ی نتایج حاصل از پیش‌بینی سری زمانی قلب و سری زمانی روسler و لورنر ممکن است که این سوال را در ذهن تداعی کند که "چگونه ممکن است که خطای پیش‌بینی روش فازی حافظه دار در مورد سیستم قطعی روسler و لورنر بیشتر از سیستم قلب باشد؟" پاسخ سوال را باید در تعداد نقاط آموزش داده شده به سیستم جستجو کرد. در مورد سری زمانی روسler و لورنر که در بخش‌های گذشته مورد بررسی قرار گرفت تعداد نقاط آموزش داده شده به سیستم در حدود ۴۵۰۰ نقطه بوده است در حالیکه در مورد سری زمانی قلب تعداد نقاط گرفته شده از پایگاه داده MIT-BIH [۴۵] در مجموع دارای ۳۸۱۶۴ نقطه بود که نیمی از آن برای آموزش به سیستم مورد استفاده قرار گرفته است. لذا غنای مجموعه آموزشی در این حالت افزایش یافته و همانطور که انتظار داشتیم نتایج پیش‌بینی بهبود یافته است. یکی دیگر از عوامل برتری نتایج پیش‌بینی سری زمانی قلب نسبت به سری زمانی‌های روسler و لورنر را می‌توان در نرمال‌سازی داده‌ها دانست که سبب متتمرکز و در نتیجه چگالتر شده جاذب می‌گردد. و در نهایت عامل فرکانس نمونه برداری را نیز می‌توان یکی از عوامل بسیار مهم در افزایش دقیقت پیش‌بینی تک‌گام دانست. بدیهی است که با افزایش فرکانس نمونه

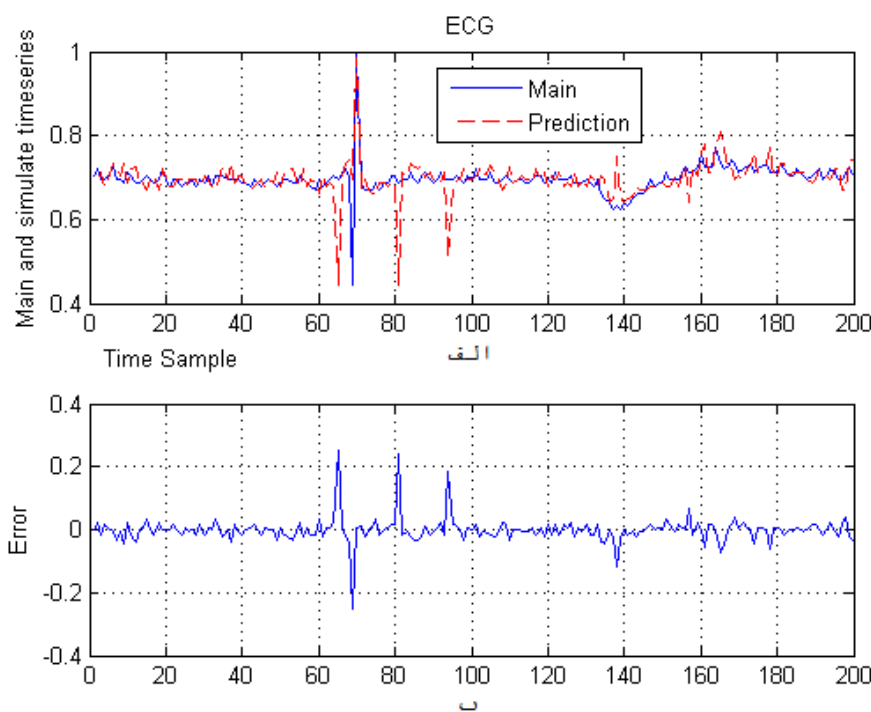
برداری دقت پیش‌بینی افزایش پیدا می‌کند. فرض‌های مذکور هم در مورد افزایش تعداد نقاط جاذب، نرمال سازی و عامل فرکانس نمونه برداری در مورد سری زمانی لورنز مورد بررسی قرار گرفت که نتایج آن در زیر آمده است.

جدول ۲-۴ بررسی عوامل تاثیر گذار در دقت پیش‌بینی سری زمانی لورنز توسط روش فازی حافظه دار

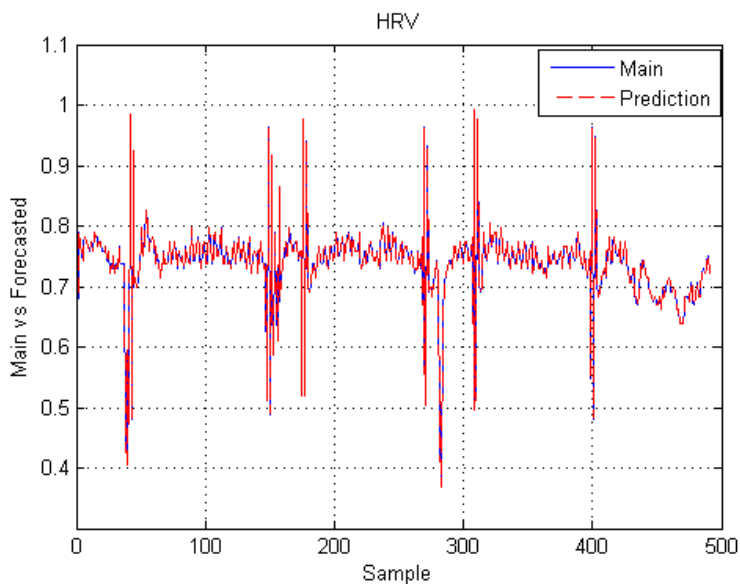
Number of attractor point	Sampling frequency	Normalization	MSE	RMSE	NMSE
7500	50	NO	4.4E-2	2.09E-1	9.38E-4
7500	50	YES	2.23E-5	4.7E-3	1.45E-4
7500	100	NO	1.79E-2	1.3E-1	3.22E-4
2000	50	NO	1.44E-1	3.79E-1	2.50E-3

همانطور که در جدول فوق مشاهده می‌گردد با افزایش تعداد نقاط جاذب دقت پیش‌بینی افزایش پیدا می‌کند. همچنین افزایش فرکانس نمونه برداری و نیز نرمال سازی اطلاعات، نیز سبب افزایش دقت پیش‌بینی می‌گردد.

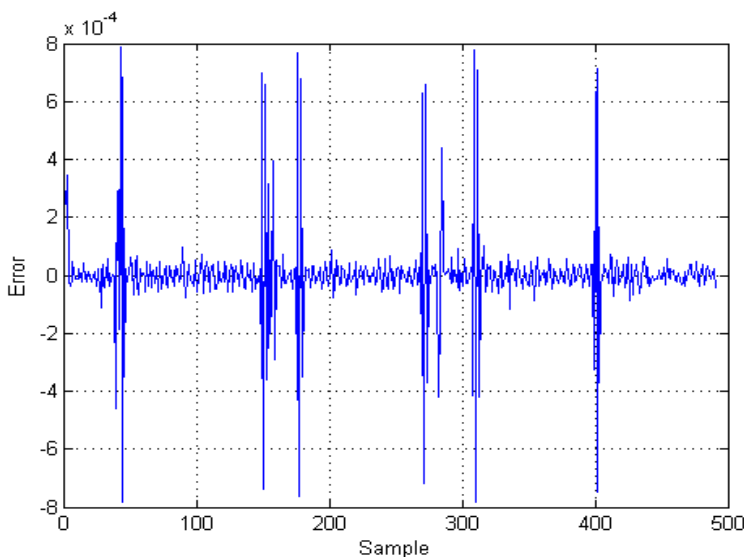
-۲-۵-۴ پیش‌بینی کوتاه مدت سری زمانی HRV



شکل ۱۲-۴ : پیش‌بینی تک گام سری زمانی HRV توسط روش فازی حافظه دار- الف: سری زمانی اصلی و پیش‌بینی شده ب: خطای



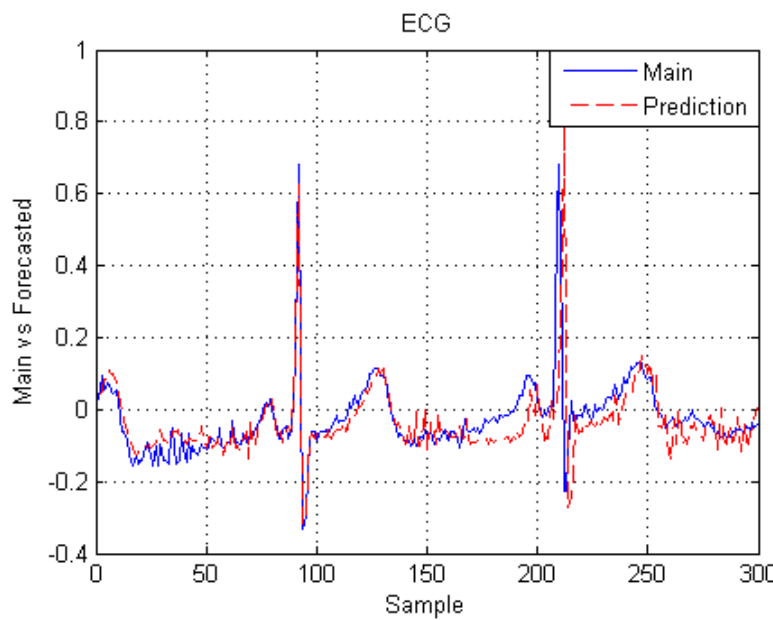
شکل ۱۳-۴: پیش‌بینی تک گام سری زمانی HRV توسط روش فازی برخط



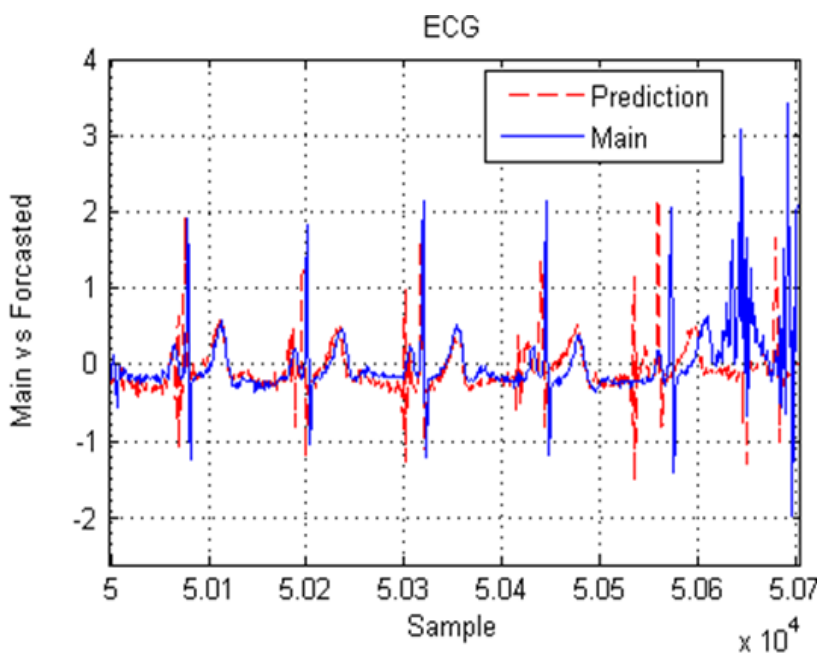
شکل ۱۴-۴: خطای حاصل از پیش‌بینی تک گام سری زمانی HRV توسط روش فازی برخط

نتایج ارائه شده در شکل‌های ۱۳-۴ و ۱۴-۴ بیانگر پیش‌بینی بهتر روش فازی برخط نسبت به روش فازی حافظه دار است. البته با توجه به بعد بسیار بالای فضای فاز سیگنال HRV و تغییرات ناگهانی آن و نیز متوقف شدن آموزش شبکه در روش فازی حافظه دار، از قبل انتظار چنین نتیجه‌های را داشته‌ایم.

## پیش‌بینی بلند مدت سری زمانی ECG



شکل ۱۵-۴: پیش‌بینی بلندمدت سری زمانی ECG توسط روش نزدیکترین همسایه اصلاح شده



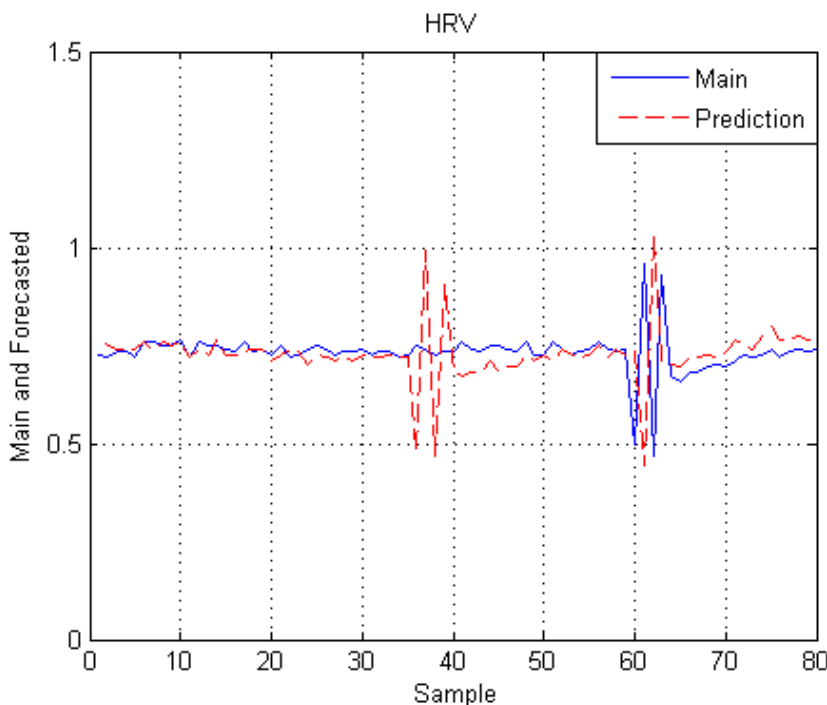
شکل ۱۶-۴: پیش‌بینی بلندمدت سری زمانی ECG توسط روش نزدیکترین همسایه اصلاح شده به کمک تبدیل موجک

نتایج حاصل از پیش‌بینی بلند مدت سری زمانی قلب یک انسان، در اشکال ۱۵-۴ و ۱۶-۴ نشان داده شده است. مشاهده می‌شود که پیش‌بینی انجام شده توسط روش بازسازی فضای فاز توسعه یافته برای پیش‌بینی سری زمانی قلب تا حدود دو ضربان (۳۰۰ نقطه) و در مورد روش تبدیل ویولت تا حدود چهار ضربان (۵۰۰ نقطه) تقریباً مناسب و قابل اعتماد است. همچنین پیش‌بینی مذکور توسط روش‌های نزدیکترین همسایه توسعه یافته به کمک شبکه عصبی و

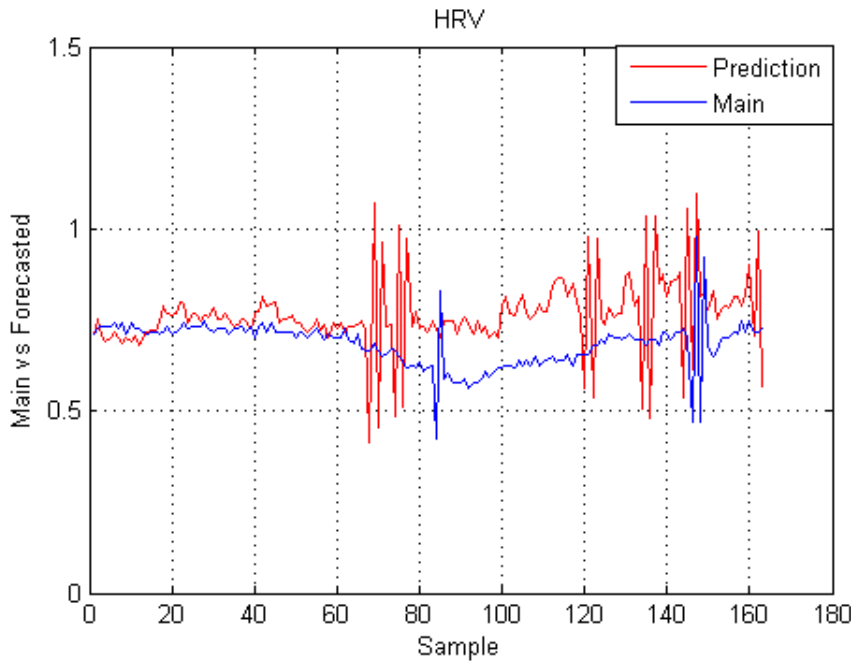
تقریب غیرخطی هم انجام شده که نتایج حاصل از آنها حاکی از پیش‌بینی مناسب برای بیست نقطه‌ی اول سری زمانی می‌باشد. لازم به ذکر است که عدم توانایی روش‌های نزدیکترین همسایه توسعه یافته به کمک روش عصبی و تقریب غیرخطی در پیش‌بینی سیگنال قلب، نباید موجب تصور عدم کارایی روش‌های مذکور در پیش‌بینی سری‌های زمانی گردد. زیرا روش‌های مذکور عملاً کارایی خود را در پیش‌بینی سری‌های زمانی معیار به اثبات رسانیده‌اند. لذا امید است با نرمال‌سازی داده‌ها که موجب چگالتیر شدن جاذب در فضای فاز بازسازی شده، استفاده از متدهای کاهش نویز (در روش‌های معرفی شده برای پیش‌بینی هیچ اقدامی برای حذف نویز از سیگنال مورد بررسی انجام نشده است) و همچنین تعیین مقادیر صحیح برای بعد جاسازی و تاخیر زمانی، دقت و افق پیش‌بینی به میزان قابل توجهی بهبود یابد.

#### -۴-۵-۴

##### پیش‌بینی بلند مدت سری زمانی HRV



شکل ۱۷-۴: پیش‌بینی بلند مدت سری زمانی HRV توسط روش نزدیکترین همسایه توسعه یافته



شکل ۱۸-۴: پیش‌بینی بلندمدت سری زمانی HRV توسط روش نزدیکترین همسایه توسعه یافته به کمک تبدیل موجک

نتایج حاصل از پیش‌بینی بلند مدت سری زمانی HRV در اشکال ۱۷-۴ و ۱۸-۴ نشان داده شده است. همانطور که قبلاً عنوان شده پیش‌بینی‌ها توسط روش‌های نزدیکترین همسایه اصلاح شده به کمک شبکه عصبی و تقریب غیرخطی نیز انجام شد ولی از آنجا که افق پیش‌بینی در آنها نسبت به روش‌های نزدیکترین همسایه‌ی توسعه یافته و روش تبدیل ویولت کمتر بود، لذا از ذکر نتایج حاصل از آنها خودداری شده است.

در پیش‌بینی سری زمانی HRV از آنجا که بعد فضای فاز آن در مقایسه با سیگنال قلب بالاتر بوده، لذا همانطور که انتظار می‌رفت افق پیش‌بینی سیگنال قلب بشدت کاهش پیدا کرده است بطوریکه برای روش نزدیکترین همسایه‌ی توسعه یافته به ۳۰ گام و در روش نزدیکترین همسایه اصلاح شده به کمک تبدیل موجک به ۶۰ گام محدود شده که البته نتایج آن نیز چندان رضایت‌بخش نمی‌باشد. شاید یکی از مهمترین دلایل این عدم موفقیت را بتوان در تعیین نا مناسب پارامترهای بازسازی دانست. از آنجا که روش دقیق و مدونی به منظور یافتن بهترین بعد و مناسب‌ترین تاخیر وجود ندارد لذا امید است که با تعیین دقیق‌تر بعد جاسازی و تاخیر زمانی افق و دقت پیش‌بینی بازهم افزایش پیدا کند.

## ۴-۶- روش پیش‌بینی تک گام در تفکیک آریتمی‌های قلبی

آریتمی ضربانات نامنظم قلبی است که در بیشتر موارد فاقد هرگونه علامتی و اغلب بشکل یک مکث موقت بوده که تعداد کلی ضربان قلب را تحت تاثیر قرار می‌دهند. انواع و مبدأ پیدایش چنین ضرباناتی در بخش‌های قبل به تفصیل مورد بحث و بررسی قرار گرفت.<sup>۱</sup> از آنجا که برای درمان، پژوهش باید بداند که آریتمی چگونه شروع می‌شود و آیا طبیعی یا غیر طبیعی است، بررسی سیگنال ECG در مدت ۲۴ یا ۴۸ ساعت ضروری به نظر می‌رسد. این کار شرح حال بیمار را افزایش داده و منجر به تشخیص مطمئن‌تر بیماری قلبی می‌گردد. بنابراین بررسی سیگنال ECG و تفسیر آن توسط پزشکان برای تعیین بیماری قلبی یکی از اهداف نظارتی بیماران در واحد‌های مراقبت‌های ویژه بوده که بطور پیوسته به مانیتور‌های قلب متصل هستند. این کار مستلزم صرف وقت بسیار زیاد از سوی پزشکان می‌باشد. از آنجا که در واحد‌های بیمارستانی نیاز به حضور پزشکان در بخش‌های مختلف جهت رسیدگی به وضعیت بیماران یک ضرورت انکار ناپذیر است لذا روش‌های اتوماتیک برای تشخیص آریتمی، جهت صرفه جویی در وقت و نیروی انسانی و اجتناب از خطای انسانی، در چند دهه‌ی گذشته توسعه پیداکرده است [۳۷]. بنابراین در این قسمت از پایان‌نامه بر آن شدیم به منظور نشان دادن یکی دیگر از کاربردهای عملی روش‌ها و الگوریتم‌های معرفی شده، به ارائه‌ی روش جدیدی بر مبنای الگوریتم پیش‌بینی فازی حافظه دار، برای تفکیک هوشمند آریتمی‌های قلبی بپردازیم.

## ۴-۶-۱- روش پیش‌نهادی

همانطور که اشاره شد، در این تحقیق یک ساختار جدید نیز بر مبنای روش پیش‌بینی کوتاه مدت فازی حافظه دار برای طبقه‌بندی ۵ دسته از ضربان‌های قلبی ارائه شده است. همانند روش فازی حافظه<sup>۲</sup> دار ابتدا سیگنال ECG به صورت مستقیم و بدون حذف نویز به سیستم اعمال شده و گروه‌های عضویت خروجی توسط روش فازی، به منظور کمینه‌سازی خطای پیش‌بینی تنظیم می‌شوند. بعد از رسیدن خطا به مقدار مطلوب، مراکز گروه‌های عضویت خروجی بعنوان ویژگی فازی<sup>۳</sup> در نظر گرفته شده و در یک حافظه‌ی جانبی ذخیره می‌شود. بلوک حافظه به عنوان ویژگی‌های فازی در نظر گرفته شده و برخی ویژگی‌آماری ضربان قلب نیز به آن اضافه می‌شود. بردار ویژگی در این حالت دارای ۷۰ درایه بوده که متشکل از ۶۴ ویژگی فازی و ۶ ویژگی آماری<sup>۴</sup> است. سپس ویژگی‌های فازی به همراه ویژگی‌های آماری سیگنال قلب جهت

<sup>1</sup> به بخش ۴-۴ مراجعه شود

<sup>2</sup> به بخش ۲-۲ مراجعه شود

<sup>3</sup> Fuzzy Feature

<sup>4</sup> Statistical Feature

کاهش ابعاد فضای ویژگی و حذف همپوشانی ها به<sup>۱</sup> PCA (در این مرحله تعداد درایه های ماتریس ویژگی به ۱۱ درایه کاهش می یابد) و در نهایت جهت طبقه بندی به ماشین بردار پشتیبان اعمال می شوند. سادگی ، دقت بالا ، سرعت مناسب و مقاوم بودن در برابر نویز از ویژگی های این روش می باشد.

#### -۲-۶-۴ نتایج حاصل از شبیه سازی ها

نتایج حاصل از تفکیک آریتمی ها توسط روش پیشنهادی در جدول ۳-۴ ارائه شده است. همانطور که در جدول ۳-۴ مشاهده می شود روش پیشنهادی به خوبی توانایی تفکیک موفق آریتمی های قلبی را دارا می باشد.

جدول ۳-۴ صحت روش پیشنهادی برای هر پنج نوع آریتمی ها با ویژگی های فازی

صحت N <sup>۱</sup>	صحت LB <sup>۲</sup>	صحت RB <sup>۳</sup>	صحت PVC <sup>۴</sup>	صحت PB <sup>۵</sup>	میانگین
۹۹/۱۸	۹۸/۹۷	۹۷/۰۱	۱۰۰	۱۰۰	۹۹/۰۳

جدول ۴-۴ میزان اختصاصی<sup>۷</sup> بودن روش پیشنهادی برای هر پنج نوع آریتمی ها با ویژگی های فازی

N	LB	RB	PVC	PB	میانگین
۹۳/۸۸	۹۹/۷۲	۹۷/۷۷	۹۹/۷۲	۱۰۰	۹۸/۲۲

جدول ۵-۴ میزان حساسیت<sup>۸</sup> روش پیشنهادی برای هر پنج نوع آریتمی ها با ویژگی های فازی

N	LB	RB	PVC	PB	میانگین
۹۸/۲۹	۹۹/۳۵	۹۹/۵۵	۹۹/۰۸	۱۰۰	۹۹/۲۵

حساسیت نشان می دهد که تا چه اندازه آریتمی ها درست تشخیص داده شده اند و اختصاصی بودن نشان می دهد که تا چه اندازه ضربان های سالم به درستی تشخیص داده شده اند و صحت بیانگر میزان تشخیص صحیح کلیه ضربان های موجود است .

<sup>۱</sup> Principle Component Analysis

<sup>۲</sup> Pace Rhythm

<sup>۳</sup> Premature Ventricular Contraction

<sup>۴</sup> Right Bundle Branch Block

<sup>۵</sup> Left Bundle Branch Block

<sup>۶</sup> Normal

<sup>۷</sup> Specificity

<sup>۸</sup> Sensitivity

برای بررسی میزان توانمندی روش پیشنهادی در مقایسه با سایر روش های موجود در تفکیک آریتمی ها نتایج حاصله با سایر روش های استخراج ویژگی و طبقه بندی که در سال های اخیر در مراجع آمده است، مقایسه شده است.

جدول ۶-۴ مقایسه روش انجام شده در این تحقیق با سایر مقالات

روش	تعداد آریتمی های مورد بررسی در هر روش	صحت رده بندی متوسط
پیشنهادی	۵	۹۹/۰۳
۴۶ مرجع	۳	۹۵/۱
۴۷ مرجع	۱۰	۹۰/۳ ، ۹۱/۳
۴۸ مرجع	۳	۹۰/۳ ، ۹۱/۳
۴۹ مرجع	۳	۹۸/۰۹
۵۰ مرجع	۷	۹۶/۰۶
۵۱ مرجع	۵	۹۸/۷۸
۵۲ مرجع	۴	۹۸/۰۰
۵۳ مرجع	۴	۹۲/۲
۵۴ مرجع	۳	۹۸/۰۰
۵۵ مرجع	۱۰	۹۷/۰۰
۵۶ مرجع	۴	۷۴/۲
۵۷ مرجع	۱۰	۹۶

نتایج ارائه شده در جدول ۶-۴ بیانگر کارایی ویژگی های فازی استخراجی توسط روش پیش‌بینی تک‌گام فازی حافظه دار، در تفکیک هوشمند ضربانات قلبی است.

## فصل ۵- نتیجه گیری و ارائه

پیشنهادات

## فصل ۵ - نتیجه گیری و ارایه پیشنهادات

### ۱-۵ نتیجه گیری:

همان‌طور که مشاهده شد در این پایان‌نامه شش روش جدید در پیش‌بینی کوتاه مدت و بلند مدت سوی های زمانی آشوبناک بر مبنای ترکیب روش‌های عصبی و فازی و روش‌های مبتنی بر نظریه‌ی آشوب ارائه گردید. در زمینه‌ی پیش‌بینی کوتاه مدت روش‌های تحت عنوان فازی برخط و فازی حافظه دار ارائه گردید که روش اول مبتنی بر پیش‌بینی بر خط بمنظور غلبه بر خاصیت ناایستایی سیگنال‌های آشوبی بوده و روش دوم نیز با استفاده‌ی الگوریتم آموزشی فازی و روش نزدیکترین همسایه‌ی اصلاح شده به پیش‌بینی سری‌های زمانی می‌پردازد. در فاز آموزش روش مذکور، بعد از هر مرحله انجام پیش‌بینی، ضرایب خروجی بهمنظور کاهش خطای پیش‌بینی مجدد تغییر داده شده و ضرایب نهایی هر مرحله در یک حافظه‌ی جانبی ذخیره می‌شوند. اما در مرحله‌ی آزمون با استفاده از داده‌های ورودی به سیستم، الگوریتم نزدیکترین همسایه اصلاح شده نزدیکترین حالت به ورودی را از فضای حافظه یافته و وزن‌های متناظر را پس از استخراج، به عنوان وزن‌های شبکه قرار میدهد. سپس توسّط ورودی جدید و وزن‌های حاصل از حافظه‌ی همراه، پیش‌بینی انجام خواهد شد. بدیهی است که روش فازی-نزدیکترین همسایه در مقایسه‌ی با روش فازی برخط از دقّت کمتری در پیش‌بینی برخوردار است. چرا که روال آموزشی در روش فازی-نزدیکترین همسایه قطع متوقف می‌گردد. اما روش فازی برخط، آموزش بی‌وقفه پیوسته ادامه می‌یابد. لذا همانگونه که انتظار می‌رفت، روش فازی برخط نسبت به روش فازی - حافظه دار در مهار دینامیک غیرخطی و انجام پیش‌بینی موفق، توانایی بیشتری دارد. اما اگر مقوله‌ی سرعت پیش‌بینی نیز جزء اولویت‌های پیش‌بینی در نظر گرفته شود، چنانکه فضای فاز سیگنال مورد بررسی دارای ابعاد بالایی باشد، آنگاه روش فازی- نزدیکترین همسایه نسبت به روش بر خط گزینه بهتری محسوب می‌شود.

علاوه بر روش‌های مطرح شده برای پیش‌بینی کوتاه مدت در این پایان‌نامه چهار روش جدید نیز برای پیش‌بینی بلند مدت مطرح گردیده است. همان‌طور که در فصل‌های گذشته عنوان گردید یکی از قدیمی- ترین و موفق‌ترین روش‌های زمانی سری‌های آشوبناک، روش لورنژ بوده که در سال ۱۹۶۳ ارائه گردید. روش مذکور معايبی همچون وابستگی شدید به نقطه‌ای که پیش‌بینی از آن شروع می‌شود، داشتن بعد پایین برای انجام پیش‌بینی موفق و وابستگی به تعداد نقاط موجود در جاذب، دارد. مشکلات مذکور با انجام اصلاحاتی در روش نزدیکترین همسایه تحت عنوان روش نزدیکترین همسایه اصلاح شده، به مقدار قابل توجهی مرتفع گردیده است.

در مراحل بعد با استفاده از روش نزدیکترین همسایه توسعه یافته و ترکیب آن با روش‌هایی همچون فازی، عصبی و ویولت به ارایه‌ی سه روش جدید در پیش‌بینی بلند مدت سری‌های زمانی پرداختیم. در روش اول ابتدا شبکه‌ی عصبی بمنظور یادگیری بخشی از فضای جاذب، مورد آموزش قرار می‌گیرد. سپس توسّط روش نزدیکترین همسایه اصلاح شده و شبکه‌ی عصبی آموزش دیده پیش‌بینی انجام خواهد شد.

استفاده از خاصیت تقریبگری روش عصبی و بازسازی فضای فاز (به عنوان مرجع اصلی در پیش‌بینی بلند مدت) را می‌توان از مزایای این روش دانست.

یکی دیگر از روش‌های پیش‌بینی بلند مدت روش تقریب خطی نام دارد که به تقریب یک تابع غیر خطی توسط تعدادی تابع خطی- محلی می‌پردازد. در برخی از مراجع عنوان شده است که روش مذکور در شرایطی عملکرد ضعیف تر نسبت به روش نزدیکترین همسایه متداول دارد. دلیل این امر را می‌توان در تقریب یک تابع غیرخطی توسط تعداد زیادی تابع خطی جستجو کرد. در روش دوم پیشنهادی این عیب با قرار دادن یک تابع غیرخطی به جای تابع خطی به مقدار قابل ملاحظه‌ای جبران شده است.

روش چهارم نیز بر اساس روش نزدیکترین همسایه‌ی اصلاح شده و روش تبدیل موجک پیشنهاد شده است. در این روش با استفاده از روش نزدیکترین همسایه ابتدا ضرایب ویولت و در نهایت کل سری زمانی پیش‌بینی می‌شود. روش‌های مذکور پس از انجام آزمایشات متعدد در مورد سری‌های زمانی معیار و موفقیت در پیش‌بینی کوتاه و بلندمدت، برای پیش‌بینی سری‌های زمانی زیستی قلب و HRV نیز مورد بررسی قرار گرفتند. نتایج حاصل از شبیه‌سازی‌ها حاکی از توانمندی غالب روش‌های معرفی شده در انجام پیش‌بینی موقّق و دقیق است (البته نتایج حاصل از پیش‌بینی سری زمانی HRV به دلیل بعد بالای آن، چندان مناسب نبوده است).

در پیش‌بینی سری‌های زمانی زیستی، بعضی از روش‌های پیشنهادی همچون روش نزدیکترین همسایه به کمک روش عصبی و تقریب غیرخطی در مقایسه با روش‌های نزدیکترین همسایه‌ی اصلاح شده و یا تبدیل ویولت، قادر به پیش‌بینی قابل مقایسه‌ای نشدنند. با این حال توجه به این نکته ضروری است که عدم توانایی روش‌های مذکور در مهار دینامیک غیرخطی سیستم مولد سری زمانی قلب و HRV نباید سبب القای تصور عدم کارایی روش‌های مذکور گردد. زیرا روش‌های یاد شده با پیش‌بینی موفق سری‌های زمانی معیار عملاً امتحان خود را در این زمینه پس داده‌اند. لیکن می‌توان یکی از دلایل عدم موفقیت چنین روش‌هایی را در وابستگی آن‌ها به تعداد دقیق پارامترها (پارامترهای خود روش از جمله تعداد نرون‌ها و ... و پارامترهای بازسازی) دانست.

شاید بتوان با استفاده از الگوریتم‌های بهینه سازی همچون پرندگان و کلونی موچه‌ها و ... به تعیین دقیق و بهینه‌ی پارامترهای شبکه بمنظور انجام پیش‌بینی بهتر و دقیق‌تر پرداخت. روشن است که روش‌های نزدیکترین همسایه‌ی اصلاح شده و تبدیل ویولت از جهت مقاوم بودن نسبت به تعیین دقیق پارامترها در برابر روش‌های تقریب غیرخطی و شبکه‌های عصبی - نزدیکترین همسایه دارای برتری می‌باشند.

## ۲-۵- پیشنهادات

در این پایان‌نامه روش جدیدی برای پیش‌بینی سری زمانی آشوبی بر مبنای روش تبدیل موجک ارائه شده است. شاید با استفاده از تبدیلات دیگری همچون تبدیل والش و تبدیل بسل بتوان به پیش‌بینی قابل اعتمادتری نسبت به پیش‌بینی مبتنی بر تبدیل موجک دست یافت. همچنین همان‌طور که در پایان‌نامه اشاره شد یکی از کاربردهای روش‌های ارائه شده، پیش‌بینی سری زمانی قلب می‌باشد که در این زمینه حصول به افق پیش‌بینی طولانی‌تر در عین دقّت مناسب مدقّ نظر می‌باشد. ترکیب روش پیش-

بینی سری زمانی قلب و پیش‌بینی HRV به منظور پیش‌بینی طولانی مدت سری زمانی قلب می‌تواند به عنوان افق آینده تحقیق بعدی مورد بررسی قرار گیرد. بدیهی است که پیش‌بینی درست و طولانی سری زمانی قلب می‌تواند نقش مهمی را در سلامت بیماران و پیشگیری از حملات قلبی ایفا کند.

به امید روزی که شعله‌ی زندگی پیج سماری به دلیل تشخیص غلط و دیر، سخاهم خاموش

نکردد.

به امید روزی که با پیش‌بینی حوادث طبیعی قبل از وقوع آن پیج کودکی از کانون

گرم خانواده محروم نکردد.

## مراجع

- [1] C. Chatfield, the Analysis of Time Series: An Introduction. Chapman & Hall/CRC, 2004.
- [2] C. Gao and J. Qian, "Evidence of Chaotic Behavior in Noise from Industrial Process," IEEE Trans. Signal Processing, vol. 55, no. 6, Part 2, pp. 2877-2884, June 2007.
- [3] S.H.Strogatz, Nonlinear Dynamics and Chaos, Perseus Books Publishing Press 1994, L.L.C.
- [4] G.L.Baker, J.P.Gollub, Chaotic Dynamics: An Introduction, Second edition, Cambridge Univ. Press, 1996.
- [5] J.C. Sprott, in: Chaos and Time Series Analysis, Oxford University Press, Oxford, 2003.
- [6] T.Kapitaniak, Chaotic Oscillations in Mechanical System, Manchester University Press, 1991
- [7] T.parker, L.O.Chua, Practical Numerical Algorithms for Chaotic Systems, Springer , New York, 1989
- [۸] حمید خالووزاده، علی خاکی صدیق ، ارزیابی روش های پیش‌بینی پذیری قیمت سهام و تعیین میزان قابلیت پیش‌بینی در بازار بورس تهران، مجله علمی پژوهشی مدرس دوره ۷ شماره ۳ ، صفحه ۶۱-۸۷ ، پاییز ۱۳۸۲
- [۹] کیومرث آقایی ، بهروز پور سیدی ، پیش بینی قیمت فولاد با استفاده از شبکه های عصبی مصنوعی ANN و مقایسه ای نتایج آن با روش ARMIA، فصلنامه بررسی های اقتصادی ، دوره ۳ شماره ۱ صفحه ۱۶۲-۱۳۳ ، بهار ۸۵
- [10] Z. Ye and L. Gu, "A Fuzzy System for Trading the Shanghai Stock Market," Trading on the Edge, Neural, Genetic, and Fuzzy Systems for Chaotic Financial Markets, G.J. Deboeck, ed., pp. 207-214, Wiley, 1994.
- [11] A. Weigend and N. Gershenfeld, Time Series Prediction: Forecasting the Future and Understanding the Past. Addison-Wesley, 1994.
- [12] N.H.Pakard, J.P.Crutchfield, J.D.Farmer, R.S.Shaw, Geometry from Time Series, Physics Review Letter 45, pp. 712-716, 1980
- [13] F.Taken, Detecting Strange Attractors in Turbulance, Lecture Note in Mathematics, Vol.898, pp. 366-381,1981
- [14] R.Mane, On the Dimension of the Compact Invareant sets of Certain Nonlinear Maps, Lecture Note in Mathematics, Vol.898, pp.230-242, 1981
- [15] A.M.Fraser, Information and Entropy in Strange Attractors, IEEE Transaction on Information Theory, 35, pp. 245-262, 1989
- [16] W.H.Press, B.P.Flannery, S.A.Teukolsky, W.T.Vetterling, The Art of Scientific Computing, Cambridge Univ Press, 1986
- [17] A.M.Fraser, H.Swinney, Independent Coordinates for Strange Attractors from Mutual Information, Physics Review, Vol 33, pp.1134-1140, 1986
- [18] H.D.Abarbanel, R.Brown, J.J.Sidorowich, L.S.Tsimring, The Analysis of Observed Chaotic Data in Physical Systems, Review of Modern Physics, Vol 65, Issue 4, pp. 1331-1392, October 1993
- [19] R.Brown, Using Near Neighbour to Determine Embedding Dimension for Phase Space Reconstruction, 1<sup>st</sup> Experimental Chaos Conference, pp.24-30, Singapore 1992
- [20] P.Grassberger, I.Procaccia, Characterization of Strange Attractors, Physics Review Letter, Vol 50, pp.346-349, 1983

[۲۱] مرتضی رحمانی، فهیمه صائی، نرجس علی بخشی، کاربرد نظریه آشوب و فراکتال در پیش بینی سری های زمانی، انتشارات جهاد دانشگاهی واحد صنعتی شریف، ۱۳۹۰

- [22] A.M.Albano, J.Muench, C.Schwartz, A.I.Mees, P.E.Rapp, Singular Value Decomposition and the Grassberger-Procaccia Algorithm, Physics Review A, Vol 38, 00. 3017-3026, 1988
- [23] M.Casdagli, D.D.Jardins, S.Eubank, J.D.Farmer, J.Gibson, N.Hunter, J.Theiler, Nonlinear Modeling of Chaotic Time Series: Theory and Applications, Electric Power Research Institute Workshop on Applications of Chaos, San Francisco, December 1990
- [24] B. Qian, K. Rasheed, Stock market prediction with multiple classifiers, Applied Intelligence, Vol.26,pp. 25–33, 2007
- [25] C. Chatfield, the Analysis of Time Series: An Introduction. Chapman & Hall/CRC, 2004.
- [26] R.C.Garcia, J.Contreras, M.Akkeren, “A GARCH Forecasting Model to Predict day-ahead Electricity Prices,” IEEE Trans on Power Systems, pp. 867-874, 2005.
- [27] C. Lee, A. Liu, and W. Chen, “Pattern Discovery of Fuzzy Time Series for Financial Prediction,” IEEE Trans. Knowledge and Data Eng., vol. 18, no. 5, pp. 613-625, May 2006
- [28] Y.R. Park, T.J. Murray, C. Chen, Predicting sun spots using a layered perceptron neural network, IEEE Transactions on Neural Networks, pp.501–505, 1996
- [29] H. Leung, T. Lo, and S. Wang, “Prediction of Noisy Chaotic Time Series Using an Optimal Radial Basis Function Neural Network,” IEEE Trans. Neural Networks, vol. 12, no. 5, pp. 1163-1172, Sept. 2001.
- [30] M.Assaad,R.Bone', H.Cardot, Predicting chaotic time series by boosted recurrent neural networks ,in: Proceeding softhe International Conference on Neural InformationProcessing,vol.4233,pp.831–840, 2006.
- [31] E.S. Garcia-Trevino and V. Alarcon-Aquino, “Single-Step Prediction of Chaotic Time Series Using Wavelet-Networks,” Proc. Electronics, Robotics and Automotive Mechanics Conf. (CERMA ’06), vol. 1, pp. 243-248, Sept. 2006.
- [32] N. Sapankevych, R. Sankar, Time series prediction using support vector machines: a survey, IEEE Computational Intelligence Magazine 4 (2) 24–38, 2009
- [33] X. Wang, H. Zhang, C. Zhang, X. Cai, J. Wang, Prediction of chaotic time series using LS-SVM with automatic parameter selection, in: Proceedings of the Sixth International Conference on Parallel and Distributed Computing – Applications and Technologies, pp. 962–965, 2005
- [34] P.Liu, J.Yao, Application of Least Square Support Vector Machine based on Particle Swarm Optimization to Chaotic Time Series Prediction, IEEE, 458-462, 2009
- [35] W. Liu, Z. Dong, N. Chen, Neural Network Model Coupled with Phase Space Reconstruction and Its Application,IEEE Third International Conference on Natural Computation , 2007
- [36] W. Ibrahim and M. Morcos, “An Adaptive Fuzzy Self-Learning Technique for Prediction of Abnormal Operation of Electrical Systems,” IEEE Trans. Power Delivery, vol. 21, no. 4, pp. 1770-1777, Oct, 2006

[۳۷] محمد رضا شفیعی چافی، حسین قلی زاده نرم، نگرشی نو در تفکیک هوشمند آریتمی های قلبی، بیستمین کنفرانس مهندسی برق ایران، تهران، اردیبهشت ۱۳۹۱

- [38] M. Ardalani-Farsa, S.Zolfaghari, Chaotic time series prediction with residual analysis method using hybrid Elman–NARX neural networks , Neurocomputing 73, 2540–2553, 2010
- [39] D. Tao, X.Hongfei, Chaotic Time Series Prediction Based on Radial Basis Function Network, Eighth ACIS International Conference on Software Engineering, Artificial Intelligence, Networking, and Parallel/Distributed Computing, 595-599, 2007
- [40] H. Tao, X.P. Ma, M.Y. Qiao, Selection of reconstruction variables and parameters in the phase space reconstruction on genetic algorithm, Fourth International Workshop on Chaos-Fractals Theories and Applications, 332-336, 2011
- [41] E.J.Kostelich, D.P.Lathrop, Time Series Prediction by Using the Method of Analogous, Time Series Prediction: Forecasting Future and Understanding the Past, pp.283-295, 1993
- [42] M. T .Hagan and M. B. Menhaj, “Training feed forward network with the Marquardt algorithm,” IEEE Trans. on Neural Net., vol. 5, no. 6, pp.989-993, 1994.
- [43] J.E. Skinner, A.L. Goldberger, G. Mayer-Kress and R.E. Ideker, Chaos in the heart: Implications of clinical cardiology, Bio/Technology 8 , 1990
- [44] J. K. Kanters, N. H. Holstein-Rathlou, and E. Agner, Lack of evidence for low-dimensional chaos in heart rate variability, J. Cardiovasc. Electrophysiol. 5, 591–601, 1994.
- [45] Physiobank Archive Index, MIT-BIH Arrhythmia Database <http://www.physionet.org/physiobank/database>
- [46] B.Karlik, Y.Ozbey, a New Approach for Arrhythmias Classification, Proc. Of Annual International Conference of IEEE of Medicine and Biology Society, 1996.
- [47] G.E.Oien, N.A.Bertelsen, T.Eftestol, J.H.Husoy, ECG Rhythm Classification Using Artificial Neural Networks, In IEEE Digital Signal Processing Workshop, pp. 514– 517, 1996.
- [48] Y.H.Hu, Customization of ECG Beat Classifiers Developed Using SOM&LVQ, Engineering in Medicine and Biology Society, 1997.
- [49] Z.Dokur, T. Olmez, E.Yazgan, Comparison of discrete wavelet and Fourier transforms for ECG beat classification, IEEE Electronic Letters, 35(18): 1502-1504, September 1999.
- [50] K.Minami, H.Nakajima, T.Toyoshima, Real-Time Discrimination of Ventricular Tachyarrhythmia with Fourier-Transform Neural Network, IEEE Trans, on Biomedical Engineering, Vol. 46, No. 2, pp.179 – 185, 1999.
- [51] P.D.Chazal, B.G.Celler, R.B.Reilly, Using Wavelet Coefficients for the Classification of the Electrocardiogram, Engineering in Medicine and Biology Society, Proceedings of the 22nd Annual International Conference of the IEEE, 2000.
- [52] Z.Dokur, T.Olmez, ECG beat classification by a novel hybrid neural network, Elsevier Computer Methods and Programs in Biomedicine, 23(66): 167–181, 2001.
- [53] S. Osowski, T.H.Linh, ECG Beat Recognition Using Fuzzy Hybrid Neural Network, IEEE Trans. on Biomed. Eng., Vol 48, No. 11, pp. 1265 – 1271, 2001.
- [54] M.Engin, ECG Beat Classification Using Neuro-Fuzzy Network, Pattern Recognition Letters, Vol. 25, No. 15, pp. 1715 – 1722, 2004.
- [55] I.Guler, E.D. Ubeyli, “A Modified Mixture of Experts Network Structure for ECG Beats Classification with Diverse Features”, Eng. Appl. on Artificial Intell., Vol. 18, No. 7,pp. 845 – 856, 2005.

- [56] F.Melgani, Classification of Electrocardiogram Signals With Support Vector Machines and Particle Swarm Optimization, IEEE Tran on Information Technology in Biomedicine, Vol. 12, No. 5, September 2008.
- [57] A.R.Sahab, Y.M.Gilmalek, an Automatic Diagnostic Machine for ECG Arrhythmias Classification Based on Wavelet Transformation and Neural Networks, International Journal of Circuits, Systems and Signal Processing, 2011.

## واژه نامه فارسی به انگلیسی

Arrhythmia	ضریان نامنظم قلبی	Purkinje fibers	الیاف پورکینز
Normal	طبیعی	Butterfly effect	اثر پروانه‌ای
Coronary Artrey	عروق کرونر	Specificity	اختصاصی بودن
Interval	فاصله	Mutual information	اطلاعات دو جانبه
Deterministic	قطعی	Moving average	انتقال میانگین
Stretching	کشیدگی	Left bundle branch block	انسداد شاخه‌ای چپ
AV node	گره بین شاخه ای	Right bundle branch block	انسداد شاخه‌ای راست
Senatorial node	گره سینوسی - دهلیزی	Premature ventricular contraction	انقباض زودرس بطئی
PSO	الگوریتم پرنده‌گان	Chaotic	آشوبی
Support vector machine	ماشین بردار پشتیبان	Principle Component Analysis	آنالیز مولفه‌های اساسی
Bounded	محدود	Reconstructed phase space	بازسازی فضای فاز
Internodal pathway	مسیر بین گره‌های	Recurrent	بازگشتی
Depolarization	ناقطبی شدن	Segment	بخش قطعه
Aperiodic	نامنظم	Hypertrophy	بزرگ شدن عضوی بیش از حد لزوم
Heart rate variability	نرخ ضربان قلبی	Largest lyapunov exponent	بزرگترین نمای لیاپانوف
Statistical Learning Theory	نظریه یادگیری آماری	Update	بهنجام سازی
Pace rhythm	نوعی ضربان قلب	Endocardium	پرده درونی قلب
Statistical Feature	ویژگی آماری	Predictor	پیش بین
Fuzzy feature	ویژگی فازی	Folding	تاخورده‌گی
Isoelectric	هم توان	Electrocardiogram	ثبت ضربان قلب بوسیله برق
		Sensitivity	حساسیت
		Autoregressive	خودبازگشتی
		Pacemaker	دستگاه تنظیم کننده ضربان قلب
		Strange Attractor	رباینده شگفت
		Overdrive suppression	سرکوب سرعتی
		Bundle of His	شاخه هیس
		RBF	شبکه توابه بنیادی شعاعی
		Multi layer perceptron	شبکه عصبی چند لایه

## واژه نامه انگلیسی به فارسی

Aperiodic	نامنظم	Overdrive suppression	سرکوب سرعتی
Arrhythmia	ضربان نامنظم قلبی	Pace rhythm	نوعی ضربان قلب
Autoregressive	خودبازگشتی	Pacemaker	دستگاه تنظیم کننده ضربان قلب
AV node	گره بین شاخه ای	Predictor	پیش بین
Bounded	محدود	Premature ventricular contraction	انقباض زودرس بطئی
Bundle of His	شاخه هیس	Principle Component Analysis	آنالیز مولفه های اساسی
Butterfly effect	اثر پروانه‌ای	PSO	الگوریتم پرندگان
Chaotic	آشوبی	Purkinje fibers	الیاف پورکینز
Coronary Artrey	عروق کرونر	RBF	شبکه توابه بنیادی شعاعی
Depolarization	ناقطبی شدن	Reconstructed phase space	بازسازی فضای فاز
Deterministic	قطعی	Recurrent	بازگشتی
Electrocardiogram	ثبت ضربان قلب بوسیله برق	Right bandel branch block	انسداد شاخه‌ای راست
Endocardium	پرده درونی قلب	Segment	بخش - قطعه
Folding	تاخوردگی	Senatorial node	گره سینوسی - دهلیزی
Fuzzy feature	ویژگی فازی	Sensitivity	حساسیت
Heart rate variablity	نرخ ضربان قلبی	Specificity	اختصاصی بودن
Hypertrophy	بزرگ شدن عضوی بیش از حد لزوم	Statistical Feature	ویژگی آماری
Internodal pathway	مسیرین گره‌ای	Statistical Learning Theory	نظریه یادگیری آماری
Interval	فاصله	Strange Attractor	رباینده شگفت
Isoelectric	هم توان	Stretching	کشیدگی
Largest lyapunov exponent	بزرگترین نمای لیاپانوف	Support vector machine	ماشین بردار پشتیبان
Left bondle branch block	انسداد شاخه‌ای چپ	Update	بهنگام سازی
Moving average	انتقال میانگین		
Multi layer perceptron	شبکه عصبی چند لایه		
Mutual information	اطلاعات دو جانبه		
Normal	طبیعی		

## **Abstract**

Time series are regularly sampled quantities which are obtained from the output of observed system. Among various types of time series, chaotic time series are often found in natural phenomena. Executive sensitive to initial condition which is found in chaotic systems causes a lot of problems in prediction such as prediction horizon in long term forecasting and accuracy of prediction in short term forecasting. So increasing both prediction horizon in long term forecasting and accuracy in short term forecasting, is considered as a main activities carried on in this thesis. Research carried out during this thesis resulted in two methods in short term forecasting and four methods in long term forecasting of chaotic time series. To further evaluation, the proposed methods are used to predict biomedical signals such as ECG and HRV. In ordet to indicate the practical application of proposed methods in medical field, they have been used to classify five groups of cardial arrhythmia. The results illustrate the ability of fuzzy feature in heart bit classification.

**Keywords:** Chaos – Time series – Prediction – Phase space reconstruction



Shahrood  
University of  
Technology

## **Predicting chaotic time series in reconstructed phase space using nonlinear methods**

Thesis

Submitted in Partial Fulfillment of the  
Requirements for the Degree of Master of Science (M.Sc.)  
In Electrical Engineering, Control Systems

Department of Electrical Engineering  
School of Engineering  
Shahrood University of Technology

By:  
**Mohammad reza Shafiee Chafi**

Supervisor:  
**Dr.Hossein Gholizade Narm**

January 2013

